



การศึกษาสมรรถนะทางความร้อนของตัวเก็บรังสีอาทิตย์แบบร่างพาราโบลิก
ที่ใช้ของไอลนาโนเป็นสารทำงาน



วิทยานิพนธ์นี้เป็นส่วนหนึ่งของความสมบูรณ์ของการศึกษาตามหลักสูตร
ปริญญาวิศวกรรมศาสตรมหาบัณฑิต
สาขาวิชาชีวกรรมพลังงานทดแทน
บัณฑิตวิทยาลัย มหาวิทยาลัยแม่โจ้

พ.ศ. 2562

ลิขสิทธิ์ของมหาวิทยาลัยแม่โจ้

การศึกษาสมรรถนะทางความร้อนของตัวเก็บรังสีอาทิตย์แบบรางพาราโบลิก
ที่ใช้ของเหลว nano เป็นสารทำงาน

ณัฐรุจña ลือชาติเมธิกุล

วิทยานิพนธ์นี้ได้รับการพิจารณาอนุมัติให้เป็นส่วนหนึ่งของความสมบูรณ์ของการศึกษา^๑
ตามหลักสูตรปริญญาวิศวกรรมศาสตรมหาบัณฑิต
สาขาวิชาพลังงานทดแทน

พิจารณาเห็นชอบโดย

อาจารย์ที่ปรึกษาหลัก
ดร. มนต์ พัฒนา

(ผู้ช่วยศาสตราจารย์ ดร.ปริญ คงกระพันธ์)
วันที่ ๑๖ เดือน พฤษภาคม พ.ศ. ๒๕๖๒

อาจารย์ที่ปรึกษาร่วม
ดร. สราวุธ พลวงศ์ศรี

(ผู้ช่วยศาสตราจารย์ ดร.สราวุธ พลวงศ์ศรี)
วันที่ ๒๓ เดือน พฤษภาคม พ.ศ. ๒๕๖๒

อาจารย์ที่ปรึกษาร่วม
ดร. อัครินทร์ อินทนิเวศน์

(ผู้ช่วยศาสตราจารย์ ดร.อัครินทร์ อินทนิเวศน์)
วันที่ ๒๓ เดือน พฤษภาคม พ.ศ. ๒๕๖๒

ประธานอาจารย์ประจำหลักสูตร
ดร. ธนากร ไชยชนะ

(ผู้ช่วยศาสตราจารย์ ดร.ธนากร ไชยชนะ)
วันที่ ๒๔ เดือน พฤษภาคม พ.ศ. ๒๕๖๒

บัณฑิตวิทยาลัยรับรองแล้ว

(รองศาสตราจารย์ ดร.เกรียงศักดิ์ เม่งอามพัน)
คณบดีบัณฑิตวิทยาลัย

วันที่ ๒๗ เดือน พฤษภาคม พ.ศ. ๒๕๖๒

ชื่อเรื่อง	การศึกษาสมรรถนะทางความร้อนของตัวเก็บรังสีอาทิตย์แบบบางพาราโบลิกที่ใช้ของเหลว nano เป็นสารทำงาน
ชื่อผู้เขียน	นางสาวณัฐรดา ลือชาติเมธิกุล
ชื่อปริญญา	วิศวกรรมศาสตรมหาบัณฑิต สาขาวิชาวิศวกรรมพลังงานทดแทน
อาจารย์ที่ปรึกษาหลัก	ผู้ช่วยศาสตราจารย์ ดร.ปริญ คงกระพันธ์

บทคัดย่อ

งานวิจัยนี้มีจุดประสงค์เพื่อศึกษาสมรรถนะทางความร้อนของตัวเก็บรังสีอาทิตย์แบบบางพาราโบลิกที่ใช้ของเหลว nano เป็นสารทำงาน โดยทำการทดสอบ ณ วิทยาลัยพลังงานทดแทน มหาวิทยาลัยแม่โจ้ จังหวัดเชียงใหม่ ตัวเก็บรังสีอาทิตย์แบบบางพาราโบลิกที่ใช้ในงานวิจัยนี้ มีขนาด พื้นที่รับรังสีอาทิตย์โดยประมาณ 2 m^2 ทำการทดสอบโดยใช้สารทำงาน nano กรณีที่มีน้ำเป็นของเหลวพื้นฐาน (Graphene Nano-platelets; GNP/H₂O) ที่ค่าความเข้มข้นเท่ากับ 0.050 %wt 0.075 %wt และ 0.100 %wt และอัตราการให้ของสารทำงานที่ 1.0 LPM 1.5 LPM และ 2.0 LPM ตามลำดับ ทำการทดสอบระบบที่ค่าความเข้มรังสีอาทิตย์เฉลี่ยในช่วง 300 – 900 W/m² ผลจากการทดสอบอนุภาค nano กรณีที่มีน้ำเป็นของเหลวพื้นฐานเท่ากับ 0.062 % 4.67 % และ 4.67 % ตามลำดับ แต่ในทางกลับกันค่าความจุความร้อนจำเพาะของสารทำงาน nano ที่ได้มีค่าต่ำกว่าน้ำเท่ากับ 0.031 % ผลการทดสอบพบว่าระบบผลิตน้ำร้อนตันแบบที่ใช้สารทำงาน nano มีค่าประสิทธิภาพของระบบ ค่าประสิทธิภาพและสมรรถนะของตัวเก็บรังสีอาทิตย์สูงกว่าระบบที่ใช้น้ำเป็นสารทำงานในทุกกรณีทดสอบ โดยสภาวะทดสอบที่ให้ผลดีที่สุดคือกรณีใช้สารทำงาน nano ความเข้มข้น 0.100 %wt ที่อัตราการให้เหลวเชิงมวลเท่ากับ 2.0 LPM ตัวเก็บรังสีอาทิตย์มีประสิทธิภาพสูงสุดเท่ากับ 55.16 % สูงกว่ากรณีใช้น้ำเท่ากับ 3.36 % โดยมีค่าประสิทธิภาพเฉลี่ยตลอดวันที่ทำการทดสอบเท่ากับ 43.59 % สูงกว่าระบบที่ใช้น้ำเท่ากับ 3.88 % ตัวเก็บรังสีอาทิตย์มีค่า $F_R(\tau\alpha)_e$ เท่ากับ 0.5795 สูงกว่ากรณีใช้น้ำในสภาวะทดสอบเดียวกันเท่ากับ 12.70 % และมีค่า $F_R U_L$ เท่ากับ 8.1408 ต่ำกว่ากรณีใช้น้ำในสภาวะทดสอบเดียวกันเท่ากับ 33.01 % และการใช้สารทำงาน nano ที่มีค่าความเข้มข้นและอัตราการให้เหลวต่างๆ ทำให้ค่าประสิทธิภาพของระบบผลิตน้ำร้อนมีค่าสูงสุดเท่ากับ 68.14 % โดยมีค่าประสิทธิภาพเฉลี่ยตลอดวันเท่ากับ 44.08 % ซึ่งค่าตังกล่าวสูงกว่าระบบที่ใช้น้ำเป็นสารทำงานในสภาวะการทดสอบเดียวกันเท่ากับ 16.29 % และ 7.07 % ตามลำดับ โดยระบบตันแบบที่ใช้สารทำงาน nano สามารถผลิตน้ำร้อนที่มีอุณหภูมิสูงสุดเท่ากับ 46 °C สูงกว่าระบบที่ใช้น้ำเป็นสารทำงาน 7.78 %

Title	THERMAL PERFORMANCE STUDY OF SOLAR PARABOLIC TROUGH COLLECTOR USING NANOFLUID AS A WORKING FLUID
Author	Miss Nattha Luechatmatikul
Degree	Master of Engineering in Renewable Energy
Advisor Committee Chairperson	Assist. Prof. Parin Khongkapan, Ph.D.

ABSTRACT

This research aims to study thermal performance of solar parabolic trough collector using nanofluid as a working fluid, held at School of Renewable Energy, Maejo University, Chiang Mai, Thailand. The experiment studied using reflector area of solar parabolic trough collector at 2 m² with Graphene nanofluid using water as a base fluid (Graphene Nano-platelets; GNP/H₂O). Concentration at 0.050 %wt, 0.075 %wt, and 0.100 %wt used in this experiment, with flow rate at 1.0 LPM, 1.5 LPM and 2.0 LPM, respectively. The average solar radiation investigated around 300 – 900 W/m². By adding graphene nanoparticles into water, called graphene nanofluid, fluid properties show higher density, heat conduction coefficient and heat convection coefficient than water by 0.062% 4.67% and 4.67%, respectively. On the other hand, nanofluid heat capacity is less than water by 0.031%. By using nanofluid, result shows higher system efficiency, collector efficiency and performance than water. The highest efficiency is 55.16%, using nanofluid concentration 0.100%wt flow rate 2.0 LPM, which is 3.36% higher than using water. The average efficiency at the test day using nanofluid is 43.59%, which is 3.88% higher than using water. Collector using nanofluid in the same conditions shows $F_R(\tau\alpha)_e$ 0.5795 which is 12.70% higher than using water, and $F_R U_L$ 8.1408 which is 33.01% lower than using water. Hot water system efficiency is 68.14% and average efficiency is 44.08% which is higher than using water 16.29% and 7.07%, respectively. Moreover, system using 0.100%wt nanofluid at 2.0 LPM shows highest hot water temperature at 46 °C which is 7.78% higher than using water.

กิตติกรรมประกาศ

ผู้วิจัยขอขอบพระคุณ ผู้ช่วยศาสตราจารย์ ดร.ปริญ คงกระพันธ์ อาจารย์ที่ปรึกษาหลัก ผู้ช่วยศาสตราจารย์ ดร.สราเวช พลงษ์ศรี และ ผู้ช่วยศาสตราจารย์ ดร.อัครินทร์ อินทนิเวศน์ อาจารย์ที่ปรึกษาร่วมทั้งสองท่าน สำหรับความช่วยเหลือและคำปรึกษาต่างๆที่มอบให้กับผู้วิจัยเป็นผลให้ วิทยานิพนธ์นี้สำเร็จลุล่วงไปได้ด้วยดี ขอขอบพระคุณคณาจารย์ทุกท่านในวิทยาลัยพลังงานทดแทน มหาวิทยาลัยแม่โจ้ สำหรับความรู้ทางด้านพลังงานทดแทนที่มอบให้กับผู้วิจัย รวมถึงบุคลากรภายใน วิทยาลัยพลังงานทดแทน ที่เคยให้ความช่วยเหลือให้เรื่องต่างๆ ขอขอบพระคุณ อาจารย์ ดร.สุรศักดิ์ กุยมาลี อาจารย์ประจำภาควิชาเคมี คณะวิทยาศาสตร์ มหาวิทยาลัยแม่โจ้ สำหรับความช่วยเหลือ ทางด้านอนุภาค nano ที่ใช้ในงานวิจัยนี้ และขอขอบพระคุณอาจารย์ ดร.ธรนิศวร์ ดีทยาท อาจารย์ประจำภาควิชาเครื่องกล คณะวิศวกรรมศาสตร์ มหาวิทยาลัยเชียงใหม่ ที่สละเวลามาเป็นประธาน สอบป้องกันวิทยานิพนธ์

ขอขอบพระคุณ วิทยาลัยพลังงานทดแทน มหาวิทยาลัยแม่โจ้ สำหรับทุนอุดหนุนการทำ วิทยานิพนธ์นี้ใน “โครงการผลิตและพัฒนาศักยภาพบัณฑิตทางด้านพลังงานทดแทน ในกลุ่ม ประเทศไทยเชื่อมในระดับบัณฑิตศึกษา”

ขอขอบคุณ นายพงศ์สสิตย์ ศรภักดี สำหรับความช่วยเหลือในการสร้างตัวเก็บรังสีอาทิตย์ที่ใช้ ในการวิจัยนี้ และขอขอบคุณ นางสาวรัชฎาภรณ์ อินเกิด ที่เคยให้คำปรึกษาด้านเอกสารต่าง ๆ

ท้ายที่สุดนี้ ผู้วิจัยขอขอบพระคุณพระเจ้าและกราบขอบพระคุณครอบครัว และมิตรสนหายทุก ท่าน ที่เคยสนับสนุน ช่วยเหลือ และเป็นกำลังใจ รวมถึงความอดทนที่ทุกท่านมีต่อผู้วิจัยมาจนสุดทาง

ณัฐรัตน์ ลือชาติเมธิกุล

พฤษภาคม 2562

สารบัญ

	หน้า
บทคัดย่อ	(3)
ABSTRACT	(4)
กิตติกรรมประกาศ	(5)
สารบัญ	(6)
สารบัญตาราง	(8)
สารบัญภาพ	(9)
สารบัญตารางผนวก	(12)
สารบัญภาพผนวก	(13)
อักษรย่อและสัญลักษณ์	(14)
บทที่ 1 บทนำ	1
ความสำคัญและที่มาของงานวิจัย	1
วัตถุประสงค์ของงานวิจัย	3
ขอบเขตของงานวิจัย	4
ประโยชน์ที่คาดว่าจะได้รับ	4
บทที่ 2 ทฤษฎีและการตรวจสอบสาร	5
ตัวเก็บรังสีอาธิตย์แบบratingparraiblelik	5
ของไหหลานใน	8
การถ่ายเทความร้อน	11
สมรรถนะของตัวเก็บรังสีอาธิตย์	13
ระบบทำน้ำร้อนพลังงานแสงอาทิตย์	15
งานวิจัยที่เกี่ยวข้อง	16
บทที่ 3 อุปกรณ์และวิธีการวิจัย	26
วัสดุอุปกรณ์ในการวิจัย	26
เครื่องมือวัด	31
วิธีดำเนินงานวิจัย	34

	หน้า
บทที่ 4 ผลการทดลองและวิจารณ์	38
ผลการออกแบบและสร้างตัวเก็บรังสีอาทิตย์แบบบางพาราโบลิกสำหรับ ผลิตน้ำร้อนตันแบบ	38
ผลของการทดสอบน้ำร้อนในกราฟไฟฟ์ต่อสมบัติของสารทำงาน	40
ประสิทธิภาพของตัวเก็บรังสีอาทิตย์	45
สมรรถนะของตัวเก็บรังสีอาทิตย์	52
ประสิทธิภาพของระบบผลิตน้ำร้อน	61
วิจารณ์ผลการทดลอง	62
บทที่ 5 สรุปผลการวิจัยและข้อเสนอแนะ	64
สรุปผลการทดลอง	64
ข้อเสนอแนะ	66
บรรณานุกรม	67
ภาคผนวก	71
ภาคผนวก ก ตัวอย่างการคำนวณ	72
ภาคผนวก ข ข้อมูลที่เกี่ยวข้องกับงานวิจัย	82
ภาคผนวก ค งานวิจัยที่เผยแพร่	101
ภาคผนวก ง ประวัติผู้วิจัย	115

สารบัญตาราง

ตารางที่		หน้า
1	ประสิทธิภาพที่อัตราการไหลดและความเข้มข้นต่าง ๆ	18
2	คุณสมบัติทางความร้อนของอลูมิเนียม Al_2O_3 ที่อุณหภูมิ 300, 400 และ 500 K	19
3	ค่า zero-loss และค่าสัมประสิทธิ์การสูญเสียความร้อนของสารทำงานที่อัตราการไหลดต่าง ๆ	25
4	แสดงคุณสมบัติของสารนานาโน้กับน้ำ	35
5	ผลของการสมอนุภาคนาโนต่อสมบัติด้านค่าความหนาแน่น (ρ) และค่าความจุความร้อนจำเพาะ (c_p) ของสารทำงาน	41
6	ความสัมพันธ์ระหว่างสมบัติด้านค่าความหนาแน่น (ρ) ต่อค่าอัตราการไหลดเชิงมวล (g) ของสารทำงาน	42
7	ค่าสัมประสิทธิ์การพากความร้อน (h) ของไอลูมิเนียมกราฟีนในงานวิจัยนี้	44
8	ค่าประสิทธิภาพของตัวเก็บรังสีอาทิตย์ต้นแบบ	51
9	ค่าสมรรถนะของของตัวเก็บรังสีอาทิตย์ต้นแบบ	60

สารบัญภาพ

ภาพที่		หน้า
1	แผนที่ศักยภาพพลังงานแสงอาทิตย์ของประเทศไทย (พ.ศ. 2542)	1
2	ໄດ້ອະແກຣມແສດງລັກຊັນຂອງຕົວເກີບຮັງສືອາທິດີແບບຮາງພາຣາໂບລິກແລກຮັບຮັງສືອາທິດີ	5
3	ຕົວເກີບຮັງສືອາທິດີແບບຮາງພາຣາໂບລິກ	6
4	ກາຮຽບຖໍາແໜ່ງຕ່າງໆ ຂອງຮູປພາຣາໂບລາ	7
5	ເສັ້ນແສດງສົມຮອນຂອງຕົວເກີບຮັງສືອາທິດີ	15
6	ປະສິທິວິພາຫາງຄວາມຮ້ອນຂອງຕົວເກີບຮັງສືອາທິດີແບບແຜ່ນຮາບທີ່ໃຊ້ນໍາປາສຈາກໄອອຸນແລະຂອງໄຫລນາໂນກາຟືັນທີ່ປ່ຽນມານອນຸກາຕ່າງໆ	16
7	ສມຮອນທາງຄວາມຮ້ອນຂອງຕົວເກີບຮັງສືອາທິດີແບບທ່ອສຸລູງຢາກສໂດຍໃຊ້ຂອງໄຫລນາໂນກາຟືັນ	17
8	ຄ່າສມຮອນຂອງກາຮຽບສອບທ່ອຮັບຮັງສືທີ່ 4 ແບບ ເນື້ອໃຊ້ສາທຳການເປັນຂອງໄຫລນາໂນ MCNT-oil	20
9	ຄ່າເນັ້ນປະສິທິວິພາຂອງຕົວເກີບຮັງສືອາທິດີແບບຮາງພາຣາໂບລິກທີ່ໃຊ້ຂອງໄຫລນາໂນ Al_2O_3 ແລະ Fe_2O_3	21
10	ສມຮອນຂອງຕົວເກີບຮັງສືອາທິດີເນື້ອໃຊ້ຂອງໄຫລນາໂນແລະນໍ້າ	22
11	ກາຮ່າໄລວິຍິນຂອງສາທຳການພາຍໃນຮະບບຜລິຕິນໍ້າຮ້ອນ 1) ແຜ່ນສະຫຼຸບຮັງສືແບບພາຣາໂບລິກ 2) ທ່ອຮັບຮັງສືອາທິດີ 3) ຮະບບທ່ອລຳເລື່ອງສາທຳການ 4) ປັ້ງກັກເກີບນໍ້າຮ້ອນ 5) ເຄື່ອງແລກເປົ້າຄວາມຮ້ອນ ແລະ 6) ປຶ້ມນໍ້າ	27
12	ປຶ້ມສາທຳການ	28
13	ອິນເວຼັບເຕັກ	28
14	ວາລົວນໍ້າ	29
15	ອນຸກາຄາໂນກາຟືັນ	30
16	ເຄື່ອງອັລຕຣາໂອົນິກ	30
17	ເຄື່ອງວັດຄວາມເຂັ້ມຮັງສືອາທິດີ	31
18	ສາຍວັດອຸນຫຼຸມ	32
19	ເຄື່ອງບັນທຶກຂໍ້ມູນ	32
20	ຕ້ວັດອຸນຫຼຸມແວດລ້ອມ	33
21	ເຄື່ອງວັດອັຕຣາກາໄຫລ	33

ภาพที่		หน้า
22	แผนผังการดำเนินงาน	34
23	สารนาโนกราฟีนที่ผสมในเครื่องอัลตราโซนิก	36
24	ตำแหน่งการเก็บข้อมูลอุณหภูมิ ณ จุดต่างๆ ภายในระบบผลิตน้ำร้อนต้นแบบ	37
25	ระบบผลิตน้ำร้อนพัลส์งานแสงอาทิตย์แบบบางพาราโบลิกต้นแบบ	38
26	โครงเหล็กรูปทรงพาราโบลาที่ทำการออกแบบด้วยโปรแกรมคอมพิวเตอร์	39
27	ผลการทดสอบเมื่อใช้ค่าความเข้มข้นของสารทำงานนานาใน 0.050 %wt อัตราการไหล 1.0 LPM	46
28	ผลการทดสอบเมื่อใช้ค่าความเข้มข้นของสารทำงานนานาใน 0.050 %wt อัตราการไหล 1.5 LPM	46
29	ผลการทดสอบเมื่อใช้ค่าความเข้มข้นของสารทำงานนานาใน 0.050 %wt อัตราการไหล 2.0 LPM	47
30	ผลการทดสอบเมื่อใช้ค่าความเข้มข้นของสารทำงานนานาใน 0.075 %wt อัตราการไหล 1.0 LPM	47
31	ผลการทดสอบเมื่อใช้ค่าความเข้มข้นของสารทำงานนานาใน 0.075 %wt อัตราการไหล 1.5 LPM	48
32	ผลการทดสอบเมื่อใช้ค่าความเข้มข้นของสารทำงานนานาใน 0.075 %wt อัตราการไหล 2.0 LPM	48
33	ผลการทดสอบเมื่อใช้ค่าความเข้มข้นของสารทำงานนานาใน 0.100 %wt อัตราการไหล 1.0 LPM	49
34	ผลการทดสอบเมื่อใช้ค่าความเข้มข้นของสารทำงานนานาใน 0.100 %wt อัตราการไหล 1.5 LPM	49
35	ผลการทดสอบเมื่อใช้ค่าความเข้มข้นของสารทำงานนานาใน 0.100 %wt อัตราการไหล 2.0 LPM	50
36	สมรรถนะของตัวเก็บรังสีอาทิตย์แบบบางพาราโบลิก กรณีใช้ของเหลว nano กราฟีน ที่ความเข้มข้น 0.050 %wt และน้ำเป็นสารทำงาน ที่อัตราการไหล 1.0 LPM	53
37	สมรรถนะของตัวเก็บรังสีอาทิตย์แบบบางพาราโบลิก กรณีใช้ของเหลว nano กราฟีน ที่ความเข้มข้น 0.050 %wt และน้ำเป็นสารทำงาน ที่อัตราการไหล 1.5 LPM	54
38	สมรรถนะของตัวเก็บรังสีอาทิตย์แบบบางพาราโบลิก กรณีใช้ของเหลว nano กราฟีน ที่ความเข้มข้น 0.050 %wt และน้ำเป็นสารทำงาน ที่อัตราการไหล 2.0 LPM	54

ภาพที่	หน้า	
39	สมรรถนะของตัวเก็บรังสีอาทิตย์แบบยางพาราโพลิค กรณีใช้ของไอลานาในกราฟีนที่ความเข้มข้น 0.075 %wt และน้ำเป็นสารทำงาน ท่ออัตราการไหล 1.0 LPM	55
40	สมรรถนะของตัวเก็บรังสีอาทิตย์แบบยางพาราโพลิค กรณีใช้ของไอลานาในกราฟีนที่ความเข้มข้น 0.075 %wt และน้ำเป็นสารทำงาน ท่ออัตราการไหล 1.5 LPM	55
41	สมรรถนะของตัวเก็บรังสีอาทิตย์แบบยางพาราโพลิค กรณีใช้ของไอลานาในกราฟีนที่ความเข้มข้น 0.075 %wt และน้ำเป็นสารทำงาน ท่ออัตราการไหล 2.0 LPM	56
42	สมรรถนะของตัวเก็บรังสีอาทิตย์แบบยางพาราโพลิค กรณีใช้ของไอลานาในกราฟีนที่ความเข้มข้น 0.100 %wt และน้ำเป็นสารทำงาน ท่ออัตราการไหล 1.0 LPM	56
43	สมรรถนะของตัวเก็บรังสีอาทิตย์แบบยางพาราโพลิค กรณีใช้ของไอลานาในกราฟีนที่ความเข้มข้น 0.100 %wt และน้ำเป็นสารทำงาน ท่ออัตราการไหล 1.5 LPM	57
44	สมรรถนะของตัวเก็บรังสีอาทิตย์แบบยางพาราโพลิค กรณีใช้ของไอลานาในกราฟีนที่ความเข้มข้น 0.100 %wt และน้ำเป็นสารทำงาน ท่ออัตราการไหล 2.0 LPM	57
45	สมรรถนะของตัวเก็บรังสีอาทิตย์แบบยางพาราโพลิค กรณีใช้ของไอลานาในกราฟีนที่ความเข้มข้น 0.050 %wt 0.075 %wt และ 0.100 %wt ท่ออัตราการไหล 1.0 LPM	58
46	สมรรถนะของตัวเก็บรังสีอาทิตย์แบบยางพาราโพลิค กรณีใช้ของไอลานาในกราฟีนที่ความเข้มข้น 0.050 %wt 0.075 %wt และ 0.100 %wt ท่ออัตราการไหล 1.5 LPM	59
47	สมรรถนะของตัวเก็บรังสีอาทิตย์แบบยางพาราโพลิค กรณีใช้ของไอลานาในกราฟีนที่ความเข้มข้น 0.050 %wt 0.075 %wt และ 0.100 %wt ท่ออัตราการไหล 2.0 LPM	59

สารบัญตารางผนวก

ตารางผนวกที่		หน้า
1	แสดงสมบัติขององค์ประกอบสารทำงานนานาในرافีน	73
2	ผลการทดสอบเมื่อใช้ค่าความเข้มข้นของสารทำงานนานาใน 0.050 %wt อัตราการไหล 1.0 LPM	83
3	ผลการทดสอบเมื่อใช้ค่าความเข้มข้นของสารทำงานนานาใน 0.050 %wt อัตราการไหล 1.5 LPM	85
4	ผลการทดสอบเมื่อใช้ค่าความเข้มข้นของสารทำงานนานาใน 0.050 %wt อัตราการไหล 2.0 LPM	87
5	ผลการทดสอบเมื่อใช้ค่าความเข้มข้นของสารทำงานนานาใน 0.075 %wt อัตราการไหล 1.0 LPM	89
6	ผลการทดสอบเมื่อใช้ค่าความเข้มข้นของสารทำงานนานาใน 0.075 %wt อัตราการไหล 1.5 LPM	91
7	ผลการทดสอบเมื่อใช้ค่าความเข้มข้นของสารทำงานนานาใน 0.075 %wt อัตราการไหล 2.0 LPM	93
8	ผลการทดสอบเมื่อใช้ค่าความเข้มข้นของสารทำงานนานาใน 0.100 %wt อัตราการไหล 1.0 LPM	95
9	ผลการทดสอบเมื่อใช้ค่าความเข้มข้นของสารทำงานนานาใน 0.100 %wt อัตราการไหล 1.5 LPM	97
10	ผลการทดสอบเมื่อใช้ค่าความเข้มข้นของสารทำงานนานาใน 0.100 %wt อัตราการไหล 2.0 LPM	99

สารบัญภาพผนวก

ภาพผนวกที่

หน้า

1

เส้นแสดงสมรรถนะของตัวเก็บรังสีอาทิตย์ กรณีใช้สารทำงาน nano ความเข้มข้น
0.100 %wt ที่อัตราการไหล 2.0 LPM

81

(14)

อักษรย่อและสัญลักษณ์

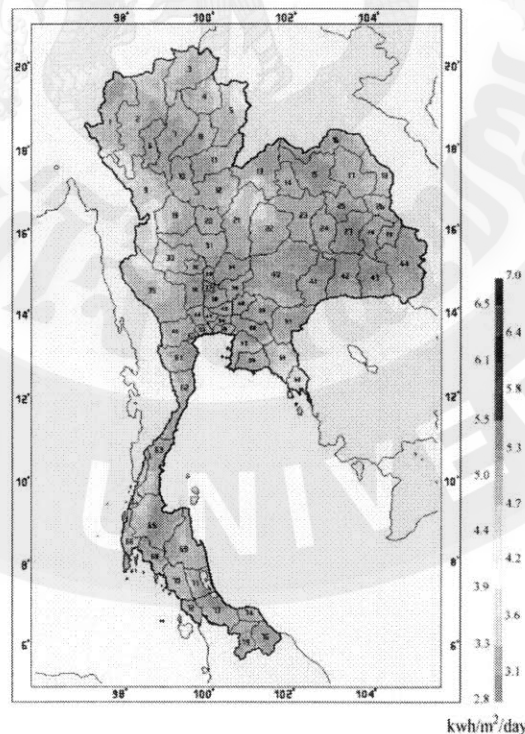
สัญลักษณ์	ความหมาย	หน่วย
A	พื้นที่	m^2
A_a	พื้นที่ของช่องรับแสง	m^2
A_r	พื้นที่ของตัวรับรังสี	m^2
C_p	ความจุความร้อนจำเพาะ	$kJ/kg \cdot K$
F_R	แฟกเตอร์การดึงความร้อนมาใช้ของตัวเก็บรังสีอาทิตย์	
I_T	ค่าความเข้มรังสีอาทิตย์	W/m^2
h	ค่าสัมประสิทธิ์การพาความร้อน	$W/m^2 \cdot K$
k	ค่าสัมประสิทธิ์การนำความร้อน	$W/m \cdot K$
\dot{m}	อัตราการไหลเชิงมวล	kg/s
S	ปริมาณรังสีอาทิตย์ที่ถูกดูดกลืน	W/m^2
T	อุณหภูมิ	$^\circ C, K$
U_L	สัมประสิทธิ์การสูญเสียความร้อนรวม	$W/m^2 \cdot K$
สัญลักษณ์กรีก	ความหมาย	หน่วย
$(\tau\alpha)_e$	ประสิทธิภาพเชิงแสงของตัวเก็บรังสีอาทิตย์	
β	มุมเอียง	
φ	ค่าความกลม	
θ	ประสิทธิภาพของตัวเก็บรังสีอาทิตย์	
μ	ความหนืด	$kg/m \cdot s$
ρ	ความหนาแน่น	kg/m^3

บทที่ 1

บทนำ

ความสำคัญและที่มาของงานวิจัย

ประเทศไทยมีการใช้พลังงานทดแทนในรูปของพลังงานความร้อน พลังงานไฟฟ้า และเชื้อเพลิงชีวภาพ ในปี 2558 ออยู่ที่ 10,077 ktoe เพิ่มขึ้น 11.7% ซึ่งการใช้ความร้อนและไฟฟ้าที่ผลิตจากพลังงานทดแทน (ประกอบด้วย พลังงานแสงอาทิตย์ พลังงานลม พลังงานน้ำ ก๊าซชีวภาพ เชื้อเพลิงชีวนิว แล้วเชื้อเพลิงขยะ) มีปริมาณ 6,579 ktoe (65.3%) และ 1,556 ktoe (15.4%) ตามลำดับ (กรมพัฒนาพลังงานทดแทนและอนุรักษ์พลังงาน กระทรวงพลังงาน, 2559) ซึ่งในส่วนของ พลังงานแสงอาทิตย์นั้น ประเทศไทยมีค่าผลรวมรังสีของดวงอาทิตย์รายวันเฉลี่ยต่อปีของพื้นที่ทั่วประเทศไทยประมาณ 18-19 MJ/m²/day แสดงให้เห็นว่าประเทศไทยมีศักยภาพพลังงานแสงอาทิตย์ ค่อนข้างสูง (การไฟฟ้าฝ่ายผลิตแห่งประเทศไทย, 2542)



ภาพที่ 1 แผนที่ศักยภาพพลังงานแสงอาทิตย์ของประเทศไทย (พ.ศ. 2542)

ที่มา: การไฟฟ้าฝ่ายผลิตแห่งประเทศไทย (2542)

เทคโนโลยีพลังงานแสงอาทิตย์ถือเป็นพลังงานทดแทนที่ยั่งยืน สามารถนำไปใช้ประโยชน์ได้ทุกพื้นที่ ทั้งยังเป็นพลังงานที่สะอาด พลังงานแสงอาทิตย์สามารถนำไปใช้ได้ 2 รูปแบบหลัก คือ การใช้เพื่อผลิตไฟฟ้า โดยการแปลงพลังงานแสงอาทิตย์ซึ่งการใช้พลังงานแสงอาทิตย์ให้เป็นพลังงานไฟฟ้า โดยใช้เซลล์แสงอาทิตย์ (Solar cell หรือ photovoltaic cell (PV)) และ การใช้เพื่อเพื่อผลิตความร้อน เป็นระบบเปลี่ยนพลังงานแสงอาทิตย์ให้เป็นพลังงานความร้อนผ่านตัวเก็บรังสีอาทิตย์ (Solar collector) สามารถนำไปใช้ประโยชน์ได้หลากหลาย เช่น การผลิตน้ำร้อน หรือการอบแห้ง ในส่วนของการผลิตน้ำร้อนนั้น ตัวเก็บรังสีอาทิตย์ มีหน้าที่สะสมพลังงานความร้อนจากแสงอาทิตย์โดยอาศัยหลักการเบื้องต้นของแสง เช่น การสะท้อนแสง (Reflection) และการดูดกลืนแสง (Absorption) แล้วถ่ายเทความร้อนไปให้ตัวกลาง หรือสารทำงาน ที่เป็นของเหลวพื้นฐาน (Base fluid) เช่น น้ำ หรือน้ำมันที่จำเลี่ยงไปตามระบบห่อ และในส่วนของระบบผลิตน้ำร้อนจากพลังงานแสงอาทิตย์นั้น มีส่วนประกอบอยู่ 2 ส่วน คือ ตัวเก็บรังสีอาทิตย์ และถังเก็บน้ำร้อนที่ถูกออกแบบเพื่อใช้งานตามความประسูติของผู้ใช้งาน ตัวเก็บรังสีอาทิตย์ที่นิยมใช้กันอยู่ในปัจจุบันแบ่งตามรูปทรงของตัวเก็บรังสี เช่น ตัวเก็บรังสีแบบแผ่นเรียบ (Flat plate) ตัวเก็บรังสีแบบห่อ (Evacuated tube) หรือตัวเก็บรังสีแบบร่างพาราโบลิก (Parabolic trough) (ทะนงศักดิ์, 2554) ซึ่งในต่างประเทศได้มีการศึกษาเกี่ยวกับตัวเก็บรังสีอาทิตย์แบบร่างพาราโบลิกอย่างหลากหลาย Conrado et al. (2017) ได้ทำการรายงานเกี่ยวกับสมรรถนะทางความร้อนของตัวเก็บรังสีอาทิตย์แบบร่างพาราโบลิกจากการจำลองทางคณิตศาสตร์ Jebasingh and Herbert (2016) ได้ทำการศึกษาประสิทธิภาพและสมรรถนะของตัวเก็บรังสีอาทิตย์แบบพาราโบลิกในประเทศไทยเดีย รวมถึงได้บททวนเกี่ยวกับการใช้ตัวเก็บรังสีอาทิตย์แบบพาราโบลิกในงานต่างๆ เช่น การผลิตความร้อนสำหรับโรงไฟฟ้า หรือการกำจัดความเค็ม สำหรับการศึกษาเกี่ยวกับตัวเก็บรังสีอาทิตย์แบบร่างพาราโบลิกในประเทศไทยนั้น ประกอบ และ ชีรภัทร (2554) ได้ทำการวิเคราะห์ขนาดในการผลิตขึ้นส่วนสำหรับตัวเก็บรังสีอาทิตย์แบบร่างพาราโบลา โดยใช้ฟังก์ชันไฮเพอร์โบลิก โดยตัวเก็บรังสีอาทิตย์แบบร่างพาราโบลิกในงานวิจัยนี้ มีระยะโฟกัสอยู่ที่ 300 mm ความยาวแผงอยู่ที่ 1.52 m อัตราการไหลที่ใช้ในการทดสอบอยู่ที่ 3 LPM ใน การศึกษาครั้งนี้ได้ทำการสร้างตัวเก็บรังสีอาทิตย์แบบร่างพาราโบลิก ซึ่งมีลักษณะของตัวสะท้อนรังสีเป็นร่างทรงพาราโบลา และมีตัวรับรังสีเป็นห่อทรงกรวยสำหรับการศึกษาวิจัย

ของแหล่งที่จำเลี่ยงไปตามระบบห่อของตัวเก็บรังสีอาทิตย์เป็นตัวกลางสำคัญในการถ่ายเทความร้อนจากพลังงานแสงอาทิตย์ไปสู่พลังงานความร้อนที่นำมาใช้งาน จากความก้าวหน้าทางเทคโนโลยีในปัจจุบัน มีนวัตกรรมที่ได้ถูกพัฒนาเพื่อเพิ่มประสิทธิภาพในการนำความร้อนของแสงไฟฟื้นฐานต่างๆ โดยการผสมอนุภาคของแข็งที่มีขนาด 1-100 nm หรืออนุภาคนาโน เข้ากับของไฟฟื้นฐาน ทำให้ของไฟฟื้นฐานสามารถนำความร้อนได้ดีขึ้น ซึ่งอนุภาคนาโนนี้ได้รับความคาดหมายว่าจะเพิ่มค่าความสามารถในการถ่ายเทความร้อนของของไฟฟ้าได้ดีกว่าของของไฟฟ้า

พื้นฐานที่่วไป (อดิเรก และวีระพันธ์, 2559) Sokhansefat et al. (2014) ได้ทำการศึกษาการเพิ่มค่าสัมประสิทธิ์การถ่ายเทความร้อนของห่อดูดกลืนรังสีของตัวเก็บรังสีอาทิตย์แบบบางพาราโบลิก โดยใช้ของไอลานาโนอลูминัมออกไซเดต์ที่มีของไอลานที่เป็นพื้นฐานเป็นนำ้มันสังเคราะห์ ในงานวิจัยนี้ได้ศึกษาผลกระทบจากความเข้มข้นของของไอลานาโนที่มีต่ออัตราการถ่ายเทความร้อนภายในห่อรับรังสี ซึ่งสัดส่วนปริมาตรความเข้มข้นที่ใช้ศึกษาในงานวิจัยนี้อยู่ที่ 1% 3% และ 5% อุณหภูมิดำเนินการทดลองที่ 300 K 400 K และ 500 K และความเร็วขาเข้าของสารทำงานเป็น 4 m/s จากการทดลองพบว่าค่าสัมประสิทธิ์การถ่ายเทความร้อนเพิ่มขึ้น เมื่อเพิ่มความเข้มข้นของของไอลานาโน แต่เมื่ออุณหภูมิดำเนินการทดลองสูงขึ้น ค่าสัมประสิทธิ์การถ่ายเทความร้อนมีค่าต่ำลง Alireza et al.(2016) ทำการศึกษาผลกระทบของของไอลกราฟีนต่อสมรรถนะทางความร้อนของตัวเก็บรังสีอาทิตย์ เป็น 18.87% การใช้ของไอลานาโนเป็นสารทำงานของตัวเก็บรังสีอาทิตย์เป็นเทคโนโลยีที่น่าสนใจ และมีการศึกษาอย่างต่อเนื่อง ทั้งนี้ เพราะของไอลานาโนมีคุณสมบัติในการเพิ่มสัมประสิทธิ์การนำความร้อน (Thermal conductivity; k) ให้กับของไอลพื้นฐาน งานวิจัยนี้จึงทำการศึกษาสมรรถนะทางความร้อนของตัวเก็บรังสีแสงอาทิตย์แบบบางพาราโบลิกที่ใช้ของไอลานาโนเป็นสารทำงาน เพื่อเป็นแนวทางในการออกแบบและประยุกต์ใช้ประโยชน์ด้านต่างๆ จากตัวเก็บรังสีอาทิตย์แบบบางพาราโบลิกที่ใช้ของไอลานาโนเป็นสารทำงานต่อไป

วัตถุประสงค์ของงานวิจัย

1. เพื่อศึกษาสมรรถนะทางความร้อนของตัวเก็บรังสีอาทิตย์แบบบางพาราโบลิกที่ใช้ของไอลานาโนเป็นสารทำงาน
2. เพื่อศึกษาความเข้มข้นของของไอลานาโนที่มีผลต่อสมรรถนะทางความร้อนของตัวเก็บรังสีอาทิตย์แบบบางพาราโบลิก

ขอบเขตของงานวิจัย

1. ใช้ตัวเก็บรังสีอัทธิศิลป์แบบพาราโบลิกตันแบบที่มีพื้นที่รับรังสีอัทธิศิลป์ไม่เกิน 3 m^2
2. ใช้ของไหลนาโนที่ค่าความเข้มข้น 3 ความเข้มข้น
3. ปรับอัตราการไฟลของสารทำงานอย่างน้อย 3 อัตราการไฟล
4. เปรียบเทียบสมรรถนะของตัวเก็บรังสีอัทธิศิลป์แบบพาราโบลิกในกรณีที่ใช้น้ำและของไหลนาโนเป็นสารทำงาน

ประโยชน์ที่คาดว่าจะได้รับ

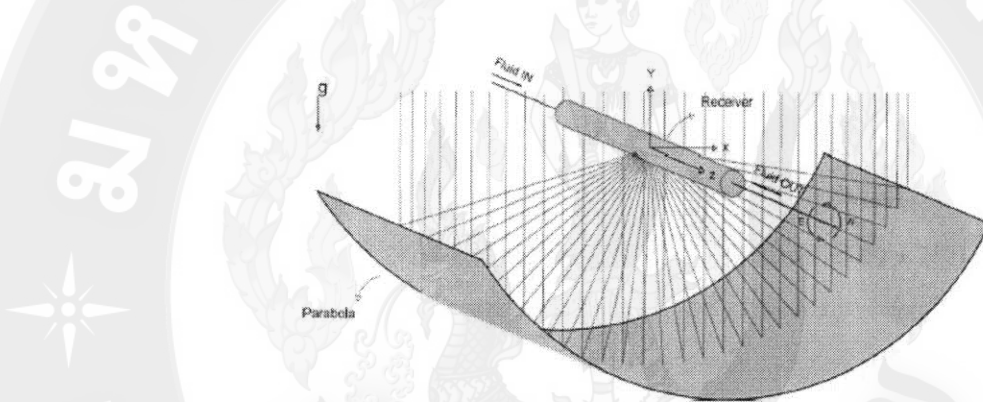
1. ทราบถึงผลกระทบต่อสมรรถนะทางความร้อนในการใช้ของไหลนาโนเป็นสารทำงานของตัวเก็บรังสีอัทธิศิลป์แบบพาราโบลิก
2. สามารถเปรียบเทียบสมรรถนะทางความร้อนของตัวเก็บรังสีอัทธิศิลป์แบบพาราโบลิกที่ใช้น้ำและใช้ของไหลนาโนเป็นสารทำงาน
3. ทราบถึงผลกระทบต่อสมรรถนะทางความร้อนของตัวเก็บรังสีอัทธิศิลป์แบบพาราโบลิกเมื่อใช้อัตราการไฟลที่แตกต่างกัน

บทที่ 2

ทฤษฎีและการตรวจเอกสาร

ตัวเก็บรังสีอาทิตย์แบบรางพาราโบลิก

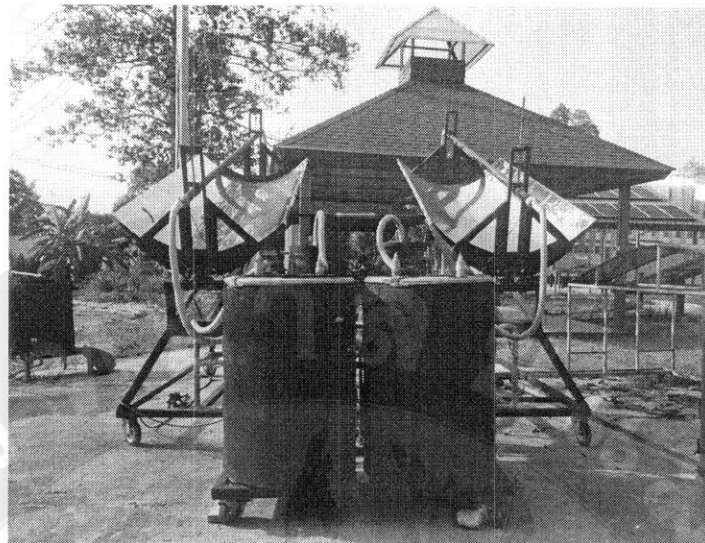
ตัวเก็บรังสีอาทิตย์แบบรางพาราโบลิก (Solar parabolic trough collector) เป็นรูปแบบหนึ่งของตัวเก็บรังสีแบบรวมรังสี ที่ประกอบด้วยตัวรวมรังสี (Concentrator) ทรงพาราโบลา ทำหน้าที่เป็นตัวสะท้อนแสงอาทิตย์ (Reflector) และตัวรับรังสี (Receiver) ลักษณะเป็นเส้นตรง (ทรงกระบอก) ดังแสดงในภาพที่ 2



ภาพที่ 2 ไดอะแกรมแสดงลักษณะของตัวเก็บรังสีอาทิตย์แบบรางพาราโบลิกและการรับรังสีอาทิตย์

ที่มา: Sokhansefat et al. (2014)

ในการสร้างตัวเก็บรังสีอาทิตย์แบบรางพาราโบลิกสามารถออกแบบให้ตัวเก็บรังสีอาทิตย์หมุนรอบแกน เหนือ-ใต้ ตะวันออก-ตะวันตก หรือเอียงและนานกับแกนของโลก ซึ่งการออกแบบให้หมุนตามแกนต่าง ๆ ส่งผลให้ปริมาณรังสีที่ตัวรับรังสีได้แตกต่างกัน โดยขึ้นกับเวลาและประสิทธิภาพในการติดตามดวงอาทิตย์ ในงานวิจัยนี้ได้ทำการวางแผนรังสีในลักษณะเอียงและนานกับแกนของโลก และตั้งตัวรับรังสีในทิศเหนือ-ใต้ แสดงในภาพที่ 3



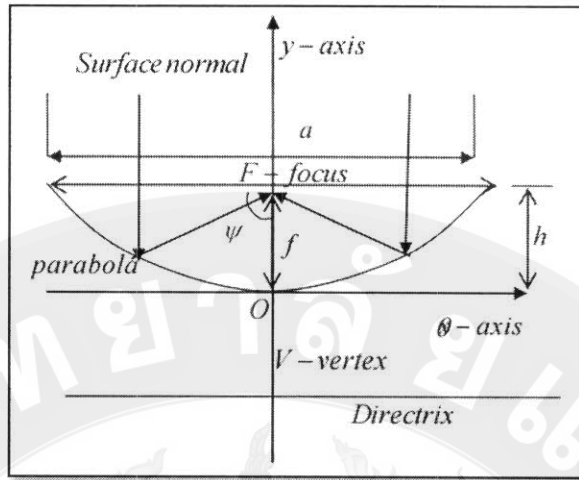
ภาพที่ 3 ตัวเก็บรังสีอาทิตย์แบบ ракพาราโบลิก

การสร้างตัวเก็บรังสีอาทิตย์ที่ใช้ในงานวิจัยนี้ ใช้การวิเคราะห์หาขนาดของตัวรวมรังสีรูปพาราโบลา ซึ่งเป็นรูปทรงที่สามารถสะท้อนแสงหรือรังสีให้ตกลงบนผิวนอกจากของพาราโบลาที่จุดโฟกัส ตัวรวมรังสีใช้แผ่นอะลูมิเนียมมีลักษณะเงา สามารถสะท้อนรังสีอาทิตย์ได้ดี ออกแบบโดยใช้สมการของพาราโบลาแบบหมายขึ้น (ประกอบ และอีรภัทร, 2554) คือ

$$y = \frac{x^2}{4f}$$

สมการที่ 1

ตำแหน่งและระยะต่างๆ ของรางพาราโบลิกสามารถระบุได้ดังแสดงในภาพที่ 4 และการคำนวณหาระยะโฟกัส (f) ของราพาราโบลิกสามารถคำนวณได้จากการที่ 2



ภาพที่ 4 การระบุตำแหน่งต่างๆ ของรูปพาราโบลา

ที่มา: Mohammad

$$f = \frac{a^2}{16h}$$

สมการที่ 2

- | | | |
|-------|-----|----------------------------------|
| เมื่อ | f | คือ ระยะไฟก์สของรูปพาราโบลิก (m) |
| | a | คือ ความกว้างของรูปพาราโบลิก (m) |
| | h | คือ ความสูงของรูปพาราโบลิก (m) |

ของไหلن่าโน

ของไหلن่าโน (Nanofluid) เป็นวัตกรรมที่นำมาใช้เพื่อพัฒนาการถ่ายเทความร้อนในของไห伦 โดยการผสมอนุภาคของแข็งจำพวกโลหะ หรือโลหะออกไซด์ที่มีขนาด 1-100 nm ในของไห伦 พื้นฐาน (Base fluid) การผสมอนุภาคของแข็งลงในของไห伦พื้นฐานนั้นมาจากการแนวคิดที่ว่าของแข็งนั้นสามารถนำความร้อนได้ดีกว่าของเหลว (Omid Mahian และคณะ, 2013) ในการเตรียมสารทำงานที่เป็นของไหلن่าโน (Nanofluid) มี 2 วิธี คือ แบบขั้นตอนเดียว (Single step method) ซึ่งสามารถเตรียมของไหلن่าโนได้ในขั้นตอนเดียว มีข้อดีคือของไห伦ที่ได้มีความเสถียรในการคงสภาพของอนุภาคโลหะที่กระจายตัวอยู่ในของเหลวที่เป็นตัวกลางสูง แต่มีข้อด้อยคือมีต้นทุนสูงและยากต่อการขยายขนาดสำหรับการประยุกต์ใช้ในโรงงานอุตสาหกรรม และแบบสองขั้นตอน (Two steps method) มีขั้นตอนแรกเป็นการเตรียมอนุภาคโลหะนาโน ขั้นตอนที่สองเป็นการกระจายตัวอนุภาคนาโนที่เป็นโลหะลงในของไห伦พื้นฐาน ซึ่งวิธีการเตรียมของไหلن่าโนแบบสองขั้นตอนนี้มีข้อดีคือสะดวกต่อการขยายขนาดการผลิตในชิ้นอุตสาหกรรม แต่ข้อด้อยคืออนุภาคโลหะนาโนมีแรงตึงผิวสูงทำให่อนุภาคโลหะนาโนที่กระจายตัวในของไห伦พื้นฐานเกิดการรวมตัวและตกตะกอนได้ง่าย

การคำนวณค่าสัมประสิทธิ์การนำความร้อนของของไหلن่าโน ขึ้นอยู่กับสัดส่วนปริมาตรของอนุภาคนาโนที่ผสมลงในของไห伦พื้นฐาน ซึ่งการคำนวณค่าการนำความร้อนของของไหلن่าโนนี้จะเป็นการทำนายด้วยการคำนวณค่าการนำความร้อนของผสม 2 สถานะ (Two-phase mixture) และสมการคุณสมบัติต่างๆ ดังต่อไปนี้

ค่าสัมประสิทธิ์การนำความร้อนของของไหلن่าโนสามารถคำนวณได้จากสมการที่ 3

$$k_{nf} = k_f \cdot \left\{ \frac{k_p + [(n-1)k_f] - [(n-1)\alpha(k_f - k_p)]}{k_p + [(n-1)k_f] + [\alpha(k_f - k_p)]} \right\} \quad \text{สมการที่ 3}$$

เมื่อ	k_{nf}	คือ ค่าค่าสัมประสิทธิ์การนำความร้อนของของไหلن่าโน ($\text{W}/(\text{m}\cdot\text{K})$)
	k_f	คือ ค่าค่าสัมประสิทธิ์การนำความร้อนของของไห伦 ($\text{W}/(\text{m}\cdot\text{K})$)
	k_p	ค่าค่าสัมประสิทธิ์การนำความร้อนของอนุภาคนาโน ($\text{W}/(\text{m}\cdot\text{K})$)
	α	ค่าสัดส่วนโดยปริมาตรของอนุภาคนาโน
	n	ค่าตัวประกอบรูปร่าง

โดยค่าสัดส่วนโดยปริมาตรของอนุภาคนาโน (α) และค่าตัวประกอบรูปร่าง (n) ในสมการที่ 3 สามารถคำนวณได้ดังสมการที่ 4 และ 5 ตามลำดับ

ค่าสัดส่วนโดยปริมาตรของอนุภาคนาโน (α) สามารถคำนวณได้จากสมการที่ 4

$$\alpha = \frac{V_p}{V_f + V_p} \quad \text{สมการที่ 4}$$

เมื่อ α คือ ค่าสัดส่วนโดยปริมาตรของอนุภาคนาโน¹
 V_p คือ ปริมาตรของอนุภาค (m^3)
 V_f คือ ปริมาตรของเหลว (m^3)

ค่าตัวประกอบบูรณาการ (n) สามารถคำนวณได้จากสมการที่ 5

$$n = \frac{3}{\varphi} \quad \text{สมการที่ 5}$$

เมื่อ n คือ ค่าตัวประกอบบูรณาการ
 φ คือ ค่าความเป็นทรงกลมของอนุภาคนาโน

โดยค่าความเป็นทรงกลมของอนุภาคนาโนในสมการที่ 5 สามารถคำนวณได้ดังสมการที่ 6

$$\varphi = \frac{\text{พื้นที่ผิวของทรงกลม}}{\text{พื้นที่ผิวจริงของอนุภาค}} \quad \text{สมการที่ 6}$$

ค่าความหนาแน่นของของเหลวนาโนสามารถคำนวณได้จากสมการที่ 7 (Pak and Cho, 1998)

$$\rho_{nf} = \alpha \rho_p + (1 - \alpha) \rho_f \quad \text{สมการที่ 7}$$

เมื่อ ρ_{nf} คือ ค่าความหนาแน่นของของเหลวนาโน (kg/m^3)
 ρ_p คือ ค่าความหนาแน่นของอนุภาค (kg/m^3)

ρ_f คือ ค่าความหนาแน่นของของเหลว (kg/m³)

α คือ ค่าสัดส่วนโดยปริมาตรของอนุภาคนาโน

ค่าความร้อนจุ่มเพาะของของเหลวในสามารถคำนวณได้จากสมการที่ 8 (Pak and Cho, 1998)

$$c_{p_{nf}} = (\alpha \cdot c_{p_p}) + [(1 - \alpha)c_{p_f}] \quad \text{สมการที่ 8}$$

เมื่อ $c_{p_{nf}}$ คือ ค่าความจุความร้อนจำเพาะของของเหลวใน (J/kg·K)

c_{p_p} คือ ค่าความจุความร้อนจำเพาะของอนุภาค (J/kg·K)

c_{p_f} คือ ค่าความจุความร้อนจำเพาะของของเหลว (J/kg·K)

ความหนึดของเหลวในสามารถคำนวณได้จากสมการที่ 23 (Pak and Cho, 1998)

$$\mu_{nf} = (1 + 7.3\alpha + 123\alpha^2)\mu_f \quad \text{สมการที่ 9}$$

เมื่อ μ_{nf} คือ ค่าความหนึดของของเหลวใน (kg/m·s)

μ_f คือ ค่าความหนึดของของเหลว (kg/m·s)

α ค่าสัดส่วนโดยปริมาตรของอนุภาคนาโน

การถ่ายเทความร้อน

งานวิจัยนี้ใช้หลักการการถ่ายเทความร้อนของสารทำงาน nano ในลักษณะของการพากความร้อนแบบบังคับประเภทการไหลภายในท่อหน้าตัดกลม โดยค่าสัมประสิทธิ์การพากความร้อน (h) ของการไหลประเภทนี้จะมีค่าเปรียบเทียบกับค่าสัมประสิทธิ์การนำความร้อน (k) ของสารทำงาน แต่จะเปรียบผันกับขนาดเส้นผ่านศูนย์กลางท่อ การไหลในท่อที่มีถูกแบ่งออกเป็น 2 ประเภท คือ 1) การไหลแบบราบเรียบ (Laminar flow) และ 2) การไหลแบบปั่นป่าน (Turbulent flow) สมการการไหลจะถูกสร้างขึ้นในรูปของสมการความสัมพันธ์ (Empirical and Practical Relation) เพื่อหาค่าสัมประสิทธิ์การพากความร้อน จากการศึกษาความสัมพันธ์ของการพากความร้อนแบบบังคับสามารถจัดให้อยู่ในรูปของความสัมพันธ์ของกลุ่มตัวแปรรرمิตได้ดังต่อไปนี้

ค่าเรย์โนลส์มเบอร์ (Re) สำหรับการไหลภายในท่อกรณีการพากความร้อนแบบบังคับสามารถคำนวณได้ดังสมการที่ 10

$$Re = \frac{\rho v D_h}{\mu}$$

สมการที่ 10

เมื่อ ρ คือ ความหนาแน่นของเหลว (kg/m^3)

v คือ ความเร็วในการไหล (m/s)

D_h คือ เส้นผ่านศูนย์กลางไฮดรอลิกส์ (Hydraulic Diameter) (m)

μ คือ ความหนืดของเหลว ($\text{kg}/\text{m}\cdot\text{s}$)

เส้นผ่านศูนย์กลางไฮดรอลิกส์ (Hydraulic Diameter, D_h) สามารถคำนวณได้จากสมการที่ 11

$$D_h = \frac{4A_c}{p}$$

สมการที่ 11

เมื่อ D_h คือ เส้นผ่านศูนย์กลางไฮดรอลิกส์ (Hydraulic Diameter) (m)

A_c คือ พื้นที่หน้าตัดท่อ (Cross Section Area) (m^2)

p คือ เส้นรอบเปียก (Wet Perimeter) (m)

ค่าสัมประสิทธิ์การพาความร้อนของของไอล

กรณีการไหลภายในท่อแบบราบเรียบ (Laminar Flow in Tubes) การไหลภายในท่อจะเป็นแบบราบเรียบก็ต่อเมื่อเลขเรย์โนลส์ (Reynolds number; Re) ของการไหลน้อยกว่า 2,300 ค่าสัมประสิทธิ์การพาความร้อน (h) ของของไอลสามารถคำนวณได้ดังสมการที่ 12

$$h = 3.66 \left(\frac{k}{D_h} \right)$$

สมการที่ 12

กรณีการไหลในท่อแบบปั่นป่วน (Turbulent Flow in Tubes) การไหลภายในท่อจะเป็นแบบปั่นป่วนก็ต่อเมื่อเลขเรย์โนลส์ (Reynolds number; Re) ของการไหลมากกว่าหรือเท่ากับ 2,300 ค่าสัมประสิทธิ์การพาความร้อน (h) ของของไอลสามารถคำนวณได้ดังสมการที่ 13 14 และ 15 ตามลำดับ

$$Nu = 1.25f \cdot Re^{1/3} \cdot Pr$$

สมการที่ 13

$$f = [0.79 \ln(Re - 1.64)]^{-2}$$

สมการที่ 14

$$h = Nu \cdot \left(\frac{k}{D_h} \right)$$

สมการที่ 15

เมื่อ h คือ ค่าสัมประสิทธิ์การพาความร้อนของของไอล ($W/m^2 \cdot K$)

k คือ ค่าสัมประสิทธิ์การนำความร้อนของของไอล ($W/m \cdot K$)

D_h คือ เส้นผ่านศูนย์กลางไฮดรอลิกส์ (Hydraulic Diameter) (m)

Nu คือ เลขนัสเซลท์ (Nusselt number)

Re คือ เลขเรย์โนลส์ (Reynolds number)

Pr คือ เลขพรันเดทิล (Prandtl number)

f คือ ค่าสัมประสิทธิ์ความเสียดทาน (Friction Factor)

สมรรถนะของตัวเก็บรังสีอาทิตย์

การทดสอบบันทึกเก็บรังสีอาทิตย์จะพิจารณาค่าประสิทธิภาพชั่วขณะกับรังสีตกกระทบป์ในแนวตั้งจากกับแผ่นสะท้อนรังสีอาทิตย์ โดยทำการวัดค่าอัตราการให้เหลืออุณหภูมิของของไหลที่ทางเข้าและทางออกท่อรับรังสีอาทิตย์ โดยค่าพารามิเตอร์ต่าง ๆ ที่ใช้ประกอบการคำนวณค่าประสิทธิภาพและสมรรถนะของตัวเก็บรังสีอาทิตย์สามารถทำได้ดังต่อไปนี้

ค่าพลังงานความร้อนที่นำไปใช้ (Output energy) สามารถคำนวณได้จากสมการที่ 16 และ 17 (Tzivanidis et al., 2015)

$$Q_u = \dot{m}_{nf} c_{p_{nf}} (T_{nf,o} - T_{nf,i}) \quad \text{สมการที่ 16}$$

เมื่อ	Q_u	คือ พลังงานความร้อนที่ของไหลนได้รับจากตัวเก็บรังสีอาทิตย์ (W)
	\dot{m}_{nf}	คือ อัตราการให้เหลือเชิงมวลของไหลน (kg/s)
	$c_{p_{nf}}$	ค่าความจุความร้อนจำเพาะของของไหลน (J/kg·K)
	$T_{nf,i}$	คือ อุณหภูมิของของไหลน ณ ทางเข้าท่อรับรังสี (°C)
	$T_{nf,o}$	คือ อุณหภูมิของของไหลน ณ ทางออกท่อรับรังสี (°C)

$$Q_u = A_C F_R [I_T (\tau \alpha) - U_L (T_i - T_a)] \quad \text{สมการที่ 17}$$

เมื่อ	Q_u	คือ พลังงานความร้อนที่ของไหลนได้รับจากตัวเก็บรังสีอาทิตย์ (W)
	A_C	คือ พื้นที่ของแผ่นสะท้อนรังสีอาทิตย์ (m^2)
	F_R	คือ แฟกเตอร์การดึงความร้อนของตัวเก็บรังสีอาทิตย์
	I_T	คือ ค่ารังสีอาทิตย์ (W/m^2)
	$(\tau \alpha)$	คือ ค่าการส่งผ่านและดูดกลืน
	U_L	คือ สัมประสิทธิ์การสูญเสียความร้อนรวมของตัวเก็บรังสีอาทิตย์ ($W/m^2 \cdot K$)
	T_i	คือ อุณหภูมิ ณ ทางเข้าของท่อรับรังสีอาทิตย์ (°C)
	T_a	คือ อุณหภูมิแวดล้อม (°C)

ค่าพลังงานความร้อนที่ตัวเก็บรังสีอาทิตย์ได้รับ (Input energy) สามารถคำนวณได้จากสมการที่ 18 (Tzivanidis et al., 2015)

$$Q_C = A_C I_T$$

สมการที่ 18

เมื่อ Q_C คือ พลังงานความร้อนที่แผ่นสะท้อนรังสีอาทิตย์ได้รับ (W)
 A_C คือ พื้นที่ของแผ่นสะท้อนรังสีอาทิตย์ (m^2)
 I_T คือ ค่ารังสีอาทิตย์ (W/m^2)

ค่าประสิทธิภาพเชิงความร้อนของตัวเก็บรังสีอาทิตย์ สามารถคำนวณได้จากสมการที่ 19 (Tzivanidis et al., 2015)

$$\eta = \frac{\text{output}}{\text{input}} = \frac{Q_U}{Q_C}$$

สมการที่ 19

จากสมการที่ 16 17 18 และ 19 สมมติฐานทางความร้อนของตัวเก็บรังสีอาทิตย์สามารถสร้างความสัมพันธ์ได้ดังสมการที่ 20 21 และ 22 ตามลำดับ

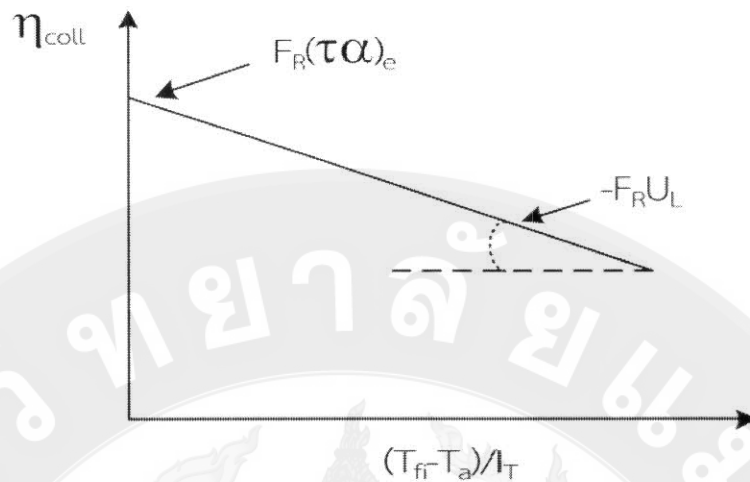
$$\eta = \frac{Q_U}{Q_C} = \frac{\dot{m}_{nf} c_{p_{nf}} (T_{nf,o} - T_{nf,i})}{A_C I_T} = \frac{A_C F_R [I_T (\tau \alpha) - U_L (T_i - T_a)]}{A_C I_T} \quad \text{สมการที่ 20}$$

$$\eta = \frac{A_C F_R I_T (\tau \alpha)}{A_C I_T} - \frac{A_C F_R U_L (T_i - T_a)}{A_C I_T} = F_R (\tau \alpha) - \frac{F_R U_L (T_i - T_a)}{I_T} \quad \text{สมการที่ 21}$$

$$\eta = -F_R U_L \left[\frac{(T_i - T_a)}{I_T} \right] + F_R (\tau \alpha) \quad \text{สมการที่ 22}$$

เมื่อนำความสัมพันธ์ของค่า η_{Coll} และ $\frac{(T_f - T_a)}{I_T}$ จะได้สมการเส้นตรงที่มีความชัน

เท่ากับค่า $F_R U_L$ และค่าบนแกน y (แกน η_{Coll}) คือค่า $F_R (\tau \alpha)_e$ ซึ่งกราฟเส้นดังกล่าวคือเส้นแสดงสมมติฐานของตัวเก็บรังสีอาทิตย์ดังภาพที่ 5



ภาพที่ 5 เส้นแสดงสมรรถนะของตัวเก็บรังสีอาทิตย์

ที่มา: ทนงเกียรติ (2537)

ระบบทำน้ำร้อนพลังงานแสงอาทิตย์

งานวิจัยนี้ได้ทำการติดตั้งถังเก็บน้ำร้อนร่วมกับตัวเก็บรังสีอาทิตย์แบบพาราโบลิกตันแบบโดยระบบประกลบด้วยปืนหมุนเวียนน้ำทำงานที่ปืนน้ำผ่านตัวเก็บรังสีอาทิตย์เพื่อรับความร้อนจากรังสีอาทิตย์เพื่อถ่ายเทความร้อนให้กับน้ำในถังเก็บน้ำร้อนซึ่งทำการหุ้มฉนวนอย่างดี ดังนั้นเวลาผ่านไปโดยตั้งสมมุติฐานว่าไม่เกิดการแยกชั้นของอุณหภูมิของน้ำร้อนภายในถังกักเก็บ การสมดุลพลังงานในถังกักเก็บน้ำร้อนกรณีไม่มีการปั๊มน้ำร้อนไปใช้ประโยชน์สามารถคำนวณได้ดังสมการที่ 23

$$Q_s = M C_p (T_s^{t+\Delta t} - T_s)$$

สมการที่ 23

เมื่อ Q_s คือ พลังงานความร้อนในถังกักเก็บน้ำร้อน (J)

$M C_p$ คือ ผลคูณของมวลและความร้อนจุគิจภาพเฉพาะของน้ำในถังกักเก็บ ($J/\cdot^\circ C$)

T_s คือ อุณหภูมิของน้ำในถังกักเก็บ ($^\circ C$)

$T_{s+\Delta t}$ คือ อุณหภูมิของน้ำในถังกักเก็บเมื่อเวลาผ่านไปเท่ากับ Δt ($^\circ C$)

โดยที่จะทำการทดสอบระบบทำน้ำร้อนตลอดทั้งวัน ดังนั้นประสิทธิภาพของระบบทำน้ำร้อนพลังงานแสงอาทิตย์จึงสามารถคำนวณได้จากสมการที่ 24

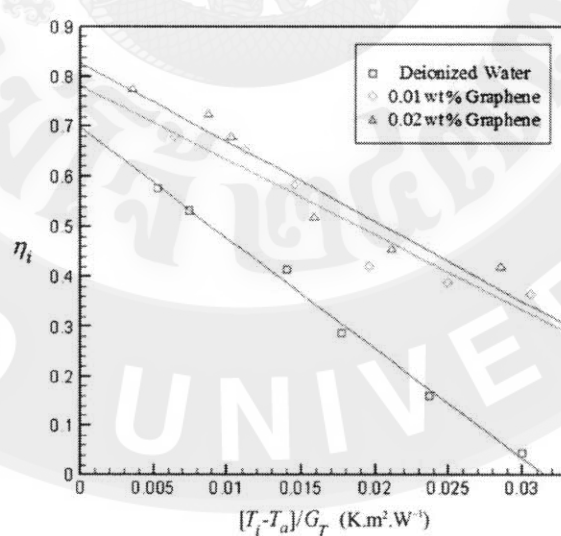
$$\eta_{\text{system}} = \frac{Q_s}{\sum_{i=1}^n I_T A_C \Delta t} \quad \text{สมการที่ 24}$$

เมื่อ Δt คือ ผลต่างช่วงระยะเวลา (S)

งานวิจัยที่เกี่ยวข้อง

จากการศึกษางานวิจัยที่เกี่ยวข้องกับการใช้ของไอลนาโนในตัวเก็บรังสีอาทิตย์ พบร่างงานวิจัย ส่วนใหญ่เป็นการใช้ของไอลนาโนในตัวเก็บรังสีอาทิตย์ชนิดแผ่นเรียบ และการใช้ของไอลนาโนนั้น สามารถเพิ่มประสิทธิภาพของตัวเก็บรังสีอาทิตย์ได้ ซึ่งการศึกษางานวิจัยที่เกี่ยวข้องมีดังนี้

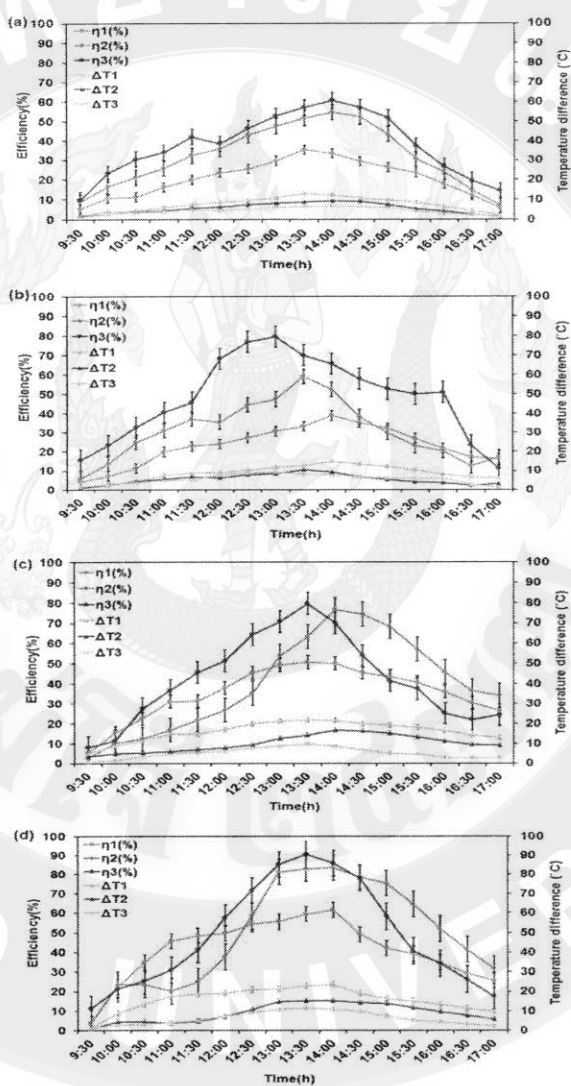
Ahmadi et al. (2016) ทำการวิเคราะห์ผลจากการใช้ของไอลนาโนกราฟีนในการเพิ่ม สมรรถนะทางความร้อนของตัวเก็บรังสีอาทิตย์แบบแผ่นราบ จากผลการทดลองพบว่าเมื่อใช้ของไอลนาโนกราฟีนที่ความเข้มข้น 0.01 wt% ประสิทธิภาพของตัวเก็บรังสีอาทิตย์เพิ่มขึ้นเป็น 12.19% และ เมื่อเพิ่มความเข้มข้นของกราฟีนเป็น 0.02 wt% ประสิทธิภาพของตัวเก็บรังสีอาทิตย์เพิ่มขึ้นเป็น 18.87%



ภาพที่ 6 ประสิทธิภาพทางความร้อนของตัวเก็บรังสีอาทิตย์แบบแผ่นราบ ที่ใช้น้ำประปาจากไอลนาโนกราฟีนที่ปริมาณอนุภาคต่างๆ

ที่มา: Ahmadi et al. (2016)

Iranmanesh et al. (2017) ทำการศึกษาผลผลกระทบจากการใช้ของไอลานาโนกราฟีนต่อสมรรถนะทางความร้อนของตัวเก็บรังสีอาทิตย์แบบ evacuated tube โดยใช้ของไอลานาโนกราฟีนที่มีน้ำเป็นของเหลวพื้นฐานที่อัตราความเข้มข้น 0.025, 0.005, 0.075 และ 0.1 wt% อัตราการไอล 0.5, 1.0 และ 1.5 LPM จากการทดลองพบว่าประสิทธิภาพของตัวเก็บรังสีอาทิตย์มีค่าสูงสุด 90.7% ที่ความเข้มข้นของของไอลานาโนกราฟีน 0.1 wt% อัตราการไอลที่ 1.5 LPM



ภาพที่ 7 สมรรถนะทางความร้อนของตัวเก็บรังสีอาทิตย์แบบท่อสูญญากาศ โดยใช้ของไอลานาโนกราฟีนที่ความเข้มข้น (a) 0.0025 wt%
 (b) 0.05 wt% (c) 0.075 wt% และ (d) 0.1 wt%

Vakili et al. (2016) ทำการทดลองตัวเก็บรังสีออาทิตย์ชนิด volumetric สำหรับผลิตระบบผลิตน้ำร้อนภายในห้องถัง ใช้ของไอลนาในการฟีนโดยมีน้ำเป็นสารทำงาน ในงานวิจัยนี้ใช้ของไอลนาในกราฟีนที่ความเข้มข้น 0.0005, 0.001 และ 0.005 wt% อัตราการไหลของสารทำงานที่ 0.075, 0.015 และ 0.225 kg/s ผลจากการทดลองพบว่า ประสิทธิภาพของตัวเก็บรังสีออาทิตย์เพิ่มขึ้น เมื่อความเข้มข้นของของไอลนาในเพิ่มขึ้น และท่ออัตราการไหล 0.015 kg/s ตัวเก็บรังสีออาทิตย์มีประสิทธิภาพสูงสุดทั้งจากการใช้น้ำและใช้ของไอลนาในการฟีนเป็นสารทำงาน

ตารางที่ 1 ประสิทธิภาพท่ออัตราการไหลและความเข้มข้นต่าง ๆ

Samples	Flow rate (kg/s)													
	0.0225			0.015			0.0075			R^2	a_1	η_0		
	R^2	a_1	η_0	R^2	a_1	η_0	R^2	a_1	η_0					
G1	0.989	28.97	0.72	0.95	29.45	0.83	0.942	26.61	0.6	$\eta = 0.72 - 28.97T_m^*$				
G2	0.974	29.29	0.78	0.981	29.54	0.89	0.989	24.61	0.64	$\eta = 0.78 - 29.29T_m^*$				
G3	0.992	27.68	0.86	0.976	28.06	0.93	0.967	30.44	0.78	$\eta = 0.86 - 27.68T_m^*$				
										$\eta = 0.93 - 28.06T_m^*$				
										$\eta = 0.78 - 30.44T_m^*$				

ที่มา: Vakili et al. (2016: 128)

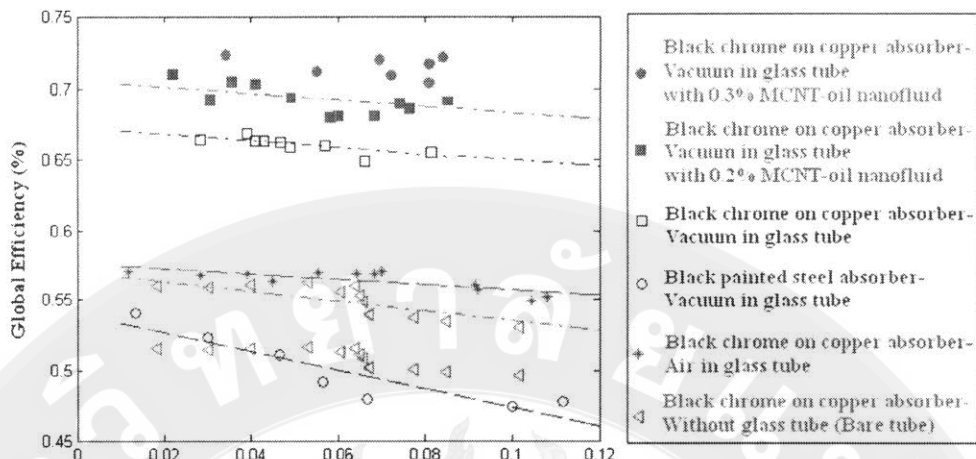
Sokhanefat et al. (2014) ได้ทำการศึกษาการเพิ่มค่าสัมประสิทธิ์การถ่ายเทความร้อนของห่อดูดกลืนรังสีของตัวเก็บรังสีออาทิตย์แบบร่างพาราโบลิก โดยใช้ของไอลนาอะลูมิնัมออกไซด์ที่มีของไอลพื้นฐานเป็นน้ำมันสังเคราะห์ ในงานวิจัยนี้ได้ศึกษาผลกระทบจากความเข้มข้นของของไอลนาในที่มีต่ออัตราการถ่ายเทความร้อนภายในห่อรับรังสี ซึ่งสัดส่วนปริมาตรความเข้มข้นที่ใช้ศึกษาในงานวิจัยนี้อยู่ที่ 1% 3% และ 5% อุณหภูมิดำเนินการทดลองที่ 300 K 400 K และ 500 K และความเร็วขาเข้าของสารทำงานเป็น 4 m/s จากการทดลองพบว่าค่าสัมประสิทธิ์การถ่ายเทความร้อนเพิ่มขึ้น เมื่อเพิ่มความเข้มข้นของของไอลนา แต่เมื่ออุณหภูมิดำเนินการทดลองสูงขึ้น ค่าสัมประสิทธิ์การถ่ายเทความร้อนมีค่าต่ำลง

ตารางที่ 2 คุณสมบัติทางความร้อนของไอลูนาโน Al_2O_3 ที่อุณหภูมิ 300, 400 และ 500 K

Property	T = 300 K				T = 400 K				T = 500 K			
	0	1%	3%	5%	0	1%	3%	5%	0	1%	3%	5%
ρ (kg/m ³)	936.5	965.6	1,023.9	1,082.1	836.6	866.7	921.0	927.3	736.7	766.9	830.1	892.4
C_p (J/kg·K)	1,620	1,612	1,595	1,578	1,791	1,782	1,765	1,748	1,962	1,952	1,934	1,915
K (W/m·K)	0.134	0.139	0.150	0.161	0.115	0.119	0.129	0.138	0.096	0.100	0.107	0.115
μ (mPas)	6.68	6.84	7.18	7.518	2.16	2.22	2.33	2.43	0.77	0.789	0.828	0.866

ที่มา: Sokhansefat et al. (2014: 643)

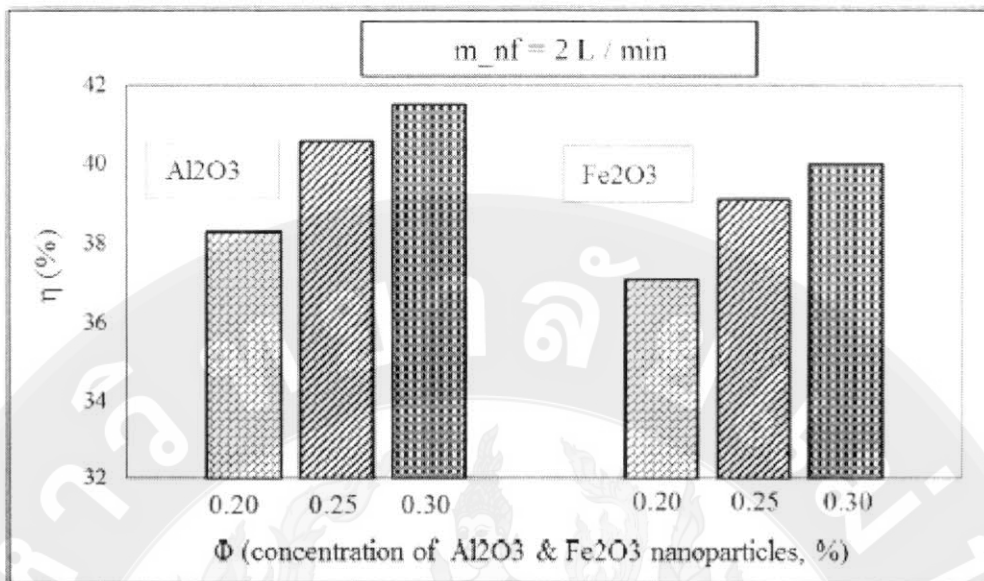
Kasaeian et al. (2015) ทำงานวิจัยเพื่อเตรียมมาตรฐานนำร่องเพื่อตรวจสอบการเพิ่มสมรรถนะของตัวเก็บรังสีอาทิตย์แบบร่างพาราโบลิก ในงานวิจัยนี้ได้ออกแบบตัวเก็บรังสีอาทิตย์แบบร่างพาราโบลิกโดยใช้ steel mirror เป็นตัวสะท้อนแสง ศึกษาโดยใช้ท่อดูดกลืน 4 ชนิด คือ black painted vacuumed steel tube, copper bare tube with black chrome coating, glass enveloped non-evacuated copper tube with black chrome coating และ vacuumed copper tube with black chrome coating ของไอลูนาโนคาร์บอนที่มีน้ำมันเป็นของเหลวพื้นฐานที่สัดส่วนปริมาตร 0.2% และ 0.3% ได้นำมาทดลองกับท่อดูดกลืนชนิด black chrome coated vacuumed copper จากการศึกษาท่อดูดกลืนทั้ง 4 ชนิด พบร่วมกับที่สัญญาณค่าประสิทธิภาพสูงกว่าท่อเบล็อยประมาณ 11% และจากการใช้ของไอลูนาโนเป็นสารทำงานที่สัดส่วนปริมาตร 0.2% ค่าประสิทธิภาพของตัวเก็บรังสีเพิ่มขึ้น 4-5% และที่สัดส่วนปริมาตร 0.3% ค่าประสิทธิภาพเพิ่มขึ้น 5-7%



ภาพที่ 8 ค่าสมรรถนะของการทดสอบท่อรับรังสีทั้ง 4 แบบ เมื่อใช้สารทำงานเป็น
ของไนโตรเจน MCNT-oil ที่ความเข้มข้น 0.2% และ 0.3%

ที่มา: Kasaian et al. (2015)

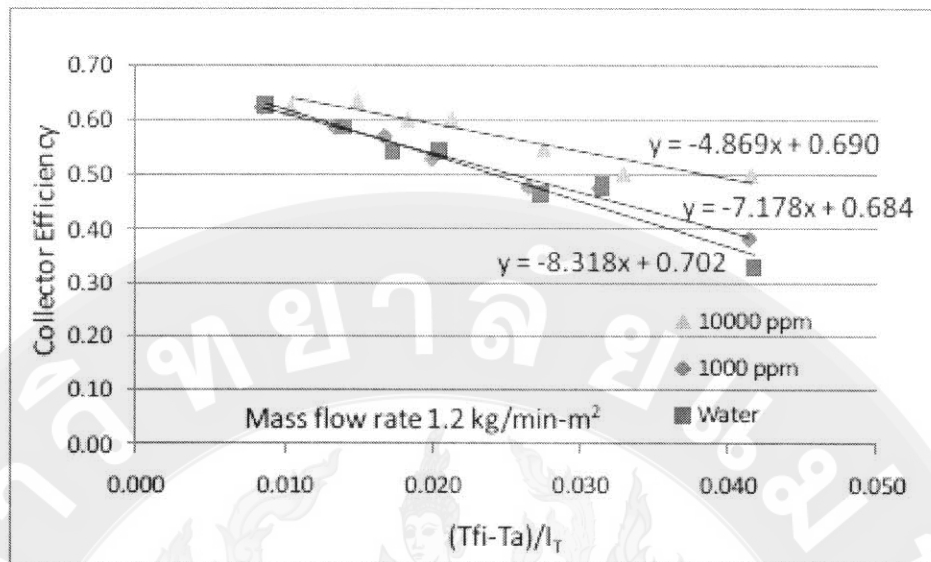
Rehan et al. (2018) ได้ทำการทดลองสมรรถนะของตัวเก็บรังสีอาทิตย์แบบร่างพาราโบลิกโดยใช้ของไนโตรเจนอะลูมิնัมออกไซด์และไออกอนออกไซด์ที่มีของไนโตรเจนที่น้ำ โดยใช้ความเข้มข้นที่ 0.20, 0.25 และ 0.30 wt% อัตราการไหลที่ใช้ในงานวิจัยนี้อยู่ที่ 1.0, 1.5 และ 2.0 LPM จากการทดลองพบว่า เมื่อใช้ของไนโตรเจนทั้งสองชนิดเปรียบเทียบกับของไนโตรเจน (น้ำ) ประสิทธิภาพของตัวเก็บรังสีอาทิตย์เพิ่มขึ้นเมื่ออัตราการไหลเพิ่มขึ้น ในการเปรียบเทียบประสิทธิภาพของตัวเก็บรังสีอาทิตย์เมื่อใช้ของไนโตรเจนทั้งสองชนิดที่อัตราการไหลสูงสุดของการทดลอง (2.0 LPM) พบว่าประสิทธิภาพของตัวเก็บรังสีอาทิตย์เมื่อใช้ของไนโตรเจนอะลูมิնัมออกไซด์ มีค่าสูงกว่าของไนโตรเจนไออกอนออกไซด์ในทุกระดับความเข้มข้นของของไนโตรเจน ทั้งนี้การตกลงกันของของไนโตรเจนในระหว่างการทดลอง พบว่าของไนโตรเจนไออกอนออกไซด์มีการตกลงกันมากกว่าของไนโตรเจนอะลูมิնัมออกไซด์ ส่งผลให้การใช้ของไนโตรเจนไออกอนออกไซด์มีประสิทธิภาพต่ำกว่าการใช้ของไนโตรเจนอะลูมิնัมออกไซด์



ภาพที่ 9 ค่าเฉลี่ยประสิทธิภาพของตัวเก็บรังสีอาทิตย์แบบร่างพาราโบลิกที่ใช้ ของเหลวใน Al_2O_3 และ Fe_2O_3 ที่ความเข้มข้นต่าง ๆ เป็นสารทำงาน

ที่มา: Rehan et al. (2018)

Sarawut and Tanongkiat (2011) ได้ทำการศึกษาสมรรถนะของตัวเก็บรังสีอาทิตย์แบบแผ่นเรียบโดยใช้ของเหลวโนนเงินโดยใช้น้ำเป็นของเหลวพื้นฐานเป็นสารทำงาน เปรียบเทียบกับตัวเก็บรังสีอาทิตย์แบบแผ่นเรียบที่ใช้น้ำเป็นสารทำงาน โดยในงานวิจัยนี้ใช้อนุภาคนาโนเงินที่ขนาด 20 nm โดยผสมกับน้ำที่ความเข้มข้น 1,000 ppm และ 10,000 ppm อัตราการไหลของสารทำงานอยู่ที่ 0.8-1.2 liter/min·m² และทำการควบคุมอุณหภูมิขาเข้าของสารทำงานอยู่ที่ 35-36°C ซึ่งผลที่ได้จากงานวิจัยพบว่า เมื่อความเข้มข้นของของเหลวโนนเงินที่ใช้เพิ่มขึ้นที่ 10,000 ppm ค่า $F_R(\tau\alpha)$ อยู่ที่ 0.690 W/m²K และค่า F_RU_L อยู่ที่ 4.869 W/m²K เทียบกับเมื่อใช้ของเหลวโนนที่ความเข้มข้นที่ 1,000 ppm และเมื่อใช้น้ำ ค่า $F_R(\tau\alpha)$ อยู่ที่ 0.684 W/m²K และ 0.720 W/m²K และค่า F_RU_L อยู่ที่ 7.178 W/m²K และ 8.138 W/m²K ตามลำดับ เห็นได้ว่าค่าสมรรถนะทางความร้อนมีค่าเพิ่มขึ้นเนื่องจากการใช้ของเหลวโนนเงินเป็นสารทำงานช่วยลดการสูญเสียความร้อนจากตัวเก็บรังสีอาทิตย์มากกว่าการใช้น้ำเป็นสารทำงาน



ภาพที่ 10 สมรรถนะของตัวเก็บรังสีอาทิตย์เมื่อใช้ของไอลนาโน
ที่ความเข้มข้น 10,000 ppm 1,000 ppm และน้ำ

ที่มา: Sarawut and Tanongkiat (2011)

Yousefi et al. (2012) ได้ทำการทดลองเพื่อหาประสิทธิภาพของตัวเก็บรังสีอาทิตย์แบบแผ่นรับที่ใช้ของไอลนาโนอลูมิնัมออกไซด์ที่มีของไอลพื้นฐานเป็น double distilled water เป็นสารทำงานอนุภาคนาโนที่ใช้ในการทดลองอยู่ที่ 0.2 wt% และ 0.4 wt% และขนาดของอนุภาคนาโนอยู่ที่ 15nm ทำการทดลองที่อัตราการไอล 1-3 LPM โดยในการทดลองนี้ ทำการทดลองทั้งแบบที่ใช้สารลดแรงตึงผิว (Triton X-100) และไม่ใช้สารลดแรงตึงผิว ผลการทดลองโดยใช้สารทำงานต่างๆ ในงานวิจัยชิ้นนี้ นำไปเปรียบเทียบกับการทดลองที่ใช้น้ำเป็นสารทำงาน พบร่วมกันว่า เมื่อใช้น้ำเป็นสารทำงานในการทดลองที่อัตราการไอลที่ 1-3 LPM นั้น ประสิทธิภาพของตัวเก็บรังสีอาทิตย์ลดลงเมื่ออัตราการไอลลดลง และเมื่อใช้ของไอลนาโนที่สัดส่วนปริมาตร 0.4 wt% ทำการทดลองที่อัตราการไอล 1-3 LPM พบร่วมกันว่า เมื่อช่วงผลต่างอุณหภูมิมาก ค่าประสิทธิภาพของตัวเก็บรังสีอาทิตย์เพิ่มขึ้นเมื่ออัตราการไอลเพิ่มขึ้น ในส่วนของการทดลองที่ใช้สารทำงานเป็นของไอลนาโนโดยไม่ผสมสารลดแรงตึงผิว ทำการทดลองที่อัตราการไอล 3 LPM โดยใช้สัดส่วนน้ำหนักต่อปริมาตรของของไอลนาโนที่ 0.2 wt% และ 0.4 wt% พบร่วมกันว่า เมื่อช่วงผลต่างของอุณหภูมิมาก ของไอลนาโนที่สัดส่วน 0.2 wt% มีค่าประสิทธิภาพสูงกว่าเมื่อใช้ของไอลนาโนที่สัดส่วน 0.4 wt% แต่เมื่อใช้สารลดแรงตึงผิวผสมกับของไอลนาโนที่สัดส่วน 0.4 wt% ผลปรากฏว่าค่าสัมประสิทธิ์การสูญเสียความร้อนจากผิวดูรังสีลดลงประมาณ 9.3% สามารถสรุปได้ว่า จากการทดลองที่ศึกษาผลกระทบต่อประสิทธิภาพของตัวเก็บรังสีอาทิตย์แบบแผ่นรับโดยใช้ของไอลนาโนอะลูมิնัมออกไซด์ เมื่อพิจารณา

อัตราการไหลของสารทำงาน สัดส่วนน้ำหนักต่อปริมาตรของอนุภาคนาโนที่ใช้ในสารทำงาน และการใช้สารลดแรงตึงผิว พบร่วมกันในการใช้สารทำงานเป็นของไอลานาโนอะลูมิնัมออกไซด์ที่สัดส่วน 0.2 wt% เมื่อเทียบกับการใช้น้ำเป็นสารทำงานแล้ว ประสิทธิภาพของตัวเก็บรังสีอาทิตย์เพิ่มขึ้นประมาณ 28.3% และเมื่อมีการใช้สารลดแรงตึงผิวในของไอลานาโนที่สัดส่วน 0.4 wt% ค่าประสิทธิภาพสูงสุดอยู่ที่ 15.63%

Moghadam et al. (2014) ได้ทำการศึกษาสมรรถนะและประสิทธิภาพของตัวเก็บรังสีอาทิตย์แบบแผ่นร้าบเมื่อใช้สารทำงานเป็นของไอลานาโนคوبเปอร์ออกไซด์ที่ใช้น้ำเป็นของไอลพื้นฐาน โดยใช้สัดส่วนปริมาตรของอนุภาคนาโนที่ 0.4 vol% และขนาดของอนุภาคนาโนที่ 40 nm ศึกษาที่อัตราการไหล 1-3 kg/min จากผลการทดลองพบว่า เมื่อใช้น้ำเป็นสารทำงานแล้ว ประสิทธิภาพของตัวเก็บรังสีอาทิตย์มีค่าลดลงเมื่อใช้อัตราการไหลที่ 3 kg/min ในขณะที่ประสิทธิภาพของตัวเก็บรังสีอาทิตย์เพิ่มขึ้นเมื่อเพิ่มอัตราการไหลจาก 1 kg/min เป็น 2 kg/min แต่ในกรณีที่ใช้สารทำงานเป็นของไอลานาโน ประสิทธิภาพของตัวเก็บรังสีอาทิตย์มีค่ามากกว่าเมื่ออัตราการไหลของสารทำงานต่ำ จากงานวิจัยนี้พบว่าเมื่อใช้ของไอลานาโนคوبเปอร์ออกไซด์โดยมีน้ำเป็นของไอลพื้นฐานเป็นสารทำงาน เมื่อเทียบกับการใช้น้ำเป็นสารทำงานในตัวเก็บรังสีอาทิตย์แบบแผ่นร้าบ ประสิทธิภาพของตัวเก็บรังสีอาทิตย์เพิ่มขึ้นประมาณ 16.7% เมื่อมีการใช้อัตราการไหลที่เหมาะสม ทั้งนี้อัตราการไหลที่เหมาะสมต่อการใช้งานนั้นขึ้นอยู่กับคุณสมบัติเฉพาะของสารทำงานที่จะนำมาใช้

Mahian et al. (2014) ได้ทำการวิเคราะห์ผลเชิงวิเคราะห์โดยพิจารณาภูมิทัศน์ที่ 1 และ 2 ของเทอร์โมไดนามิกส์ เพื่อประเมินสมรรถนะของ minichannel-based solar collector ที่ใช้สารทำงานเป็นของไอลานาโนที่ใช้น้ำเป็นของไอลพื้นฐาน 4 ชนิด คือ ของไอลานาโนคوبเปอร์ ของไอลานาโนอะลูมิնัมออกไซด์ ของไอลานาโนไทเทเนียมออกไซด์ และของไอลานาโนซิลิกอนออกไซด์ โดยใช้อัตราการไหลคงตัว สัดส่วนปริมาตรที่ 4% ขนาดของอนุภาคนาโนที่ใช้อยู่ที่ 25 nm และสมมติให้ inner diameter of riser of flat-plate ที่ 2 mm ซึ่งผลจากการวิเคราะห์โดยพิจารณาภูมิทัศน์ที่ 1 พบร่วมค่าสัมประสิทธิ์การถ่ายเทความร้อนภายในท่อของของไอลานาโนอะลูมิնัมออกไซด์มีค่าสูงสุด และของไอลานาโนซิลิกอนออกไซด์มีค่าต่ำสุด ส่วนอุณหภูมิขากอที่ได้จากของไอลานาโนคوبเปอร์มีค่าสูงที่สุดตามด้วยของไอลานาโนไทเทเนียมออกไซด์ ของไอลานาโนอะลูมินัมออกไซด์ และของไอลานาโนซิลิกอนออกไซด์ ตามลำดับ ส่วนผลจากการวิเคราะห์ภูมิทัศน์ที่ 2 ชี้แจงได้ว่าของไอลานาโนคوبเปอร์มีค่าเออนโตรปีต่ำสุด เมื่อเทียบกับของไอลานาโนอีก 3 ชนิด และพบว่า ค่าการนำความร้อนของของไอลานาโนไทเทเนียมออกไซด์น้อยกว่าของไอลานาโนอะลูมินัมออกไซด์ แต่ค่าเออนโตรปีของของไอลานาโนไทเทเนียมออกไซด์นั้นต่ำกว่าของไอลานาโนอะลูมินัมออกไซด์

Bellou et al. (2016) ทำการออกแบบโครงสร้างท่อคุณลักษณะรังสีอาทิตย์จากโปรแกรม Solidworks และจำลองแบบทางคณิตศาสตร์ของการไหล เพื่อศึกษาประสิทธิภาพของตัวเก็บรังสีอาทิตย์แบบร่างพาราโบลิกโดยการเพิ่มค่าสัมประสิทธิ์การพากความร้อนระหว่างสารทำงานกับห้อง

ดูดกลืนรังสี ซึ่งในงานวิจัยนี้ได้ศึกษาพารามิเตอร์ 2 ชนิด คือ ชนิดของสารทำงาน และโครงสร้างของท่อดูดกลืนรังสี ซึ่งสารทำงานที่ใช้ศึกษาในงานวิจัยนี้มี 3 ชนิด คือ น้ำมันร้อน น้ำมันร้อนที่ผสมอนุภาค nano อะลูมิเนียมออกไซด์ที่สัดส่วนปริมาตร 2% และน้ำอัดความดัน ในส่วนของโครงสร้างของท่อดูดกลืนที่นำมาใช้ศึกษาในงานวิจัยนี้ ได้มีการจำลองให้ท่อดูดกลืนเป็นแบบบุบเข้าในลักษณะของรูปทรงของไชน์ เนื่องจากลักษณะนี้จะเพิ่มสมบัติการถ่ายเทความร้อนบนพื้นผิว และเพิ่มการปั่นป่วนในการไหล ซึ่งผลจากการศึกษาแสดงให้เห็นว่า สองวิธีการที่ศึกษาได้นั้นสามารถเพิ่มค่าสัมประสิทธิ์การถ่ายเทความร้อน และเพิ่มค่าประสิทธิภาพของตัวเก็บรังสีอาทิตย์ ในการใช้ของไหหลาโนเป็นสารทำงานนั้นเพิ่มประสิทธิภาพของตัวเก็บรังสีอาทิตย์ประมาณ 4.25% ส่วนการพัฒนาโครงสร้างของท่อดูดกลืนรังสีเพิ่มประสิทธิภาพประมาณ 4.55%

Karami et al. (2016) ได้ทำการวิจัยเพื่อศึกษาสมบัติทางแสง และสมบัติทางความร้อนของของไหหลาโนคوبเปอร์ออกไซด์ที่มีของไหพลั่นฐานเป็นน้ำผึ้งสมอเทลีนไกลคอล (อัตราส่วน 70:30) นำมาใช้ในตัวเก็บรังสีอาทิตย์ที่มีอุณหภูมิต่ำ หาค่าที่ช่วงอุณหภูมิต่างๆ เมื่อใช้สัดส่วนปริมาตรของอนุภาค nano ในที่แตกต่างกัน ซึ่งผลได้แสดงว่าของไหหลาโนมีค่าสัมประสิทธิ์ในการรับพลังงานแสงอาทิตย์ได้ดีกว่า จากการทดสอบอนุภาค nano คوبเปอร์ออกไซด์ที่ 100 ppm (หรือที่สัดส่วนปริมาตร 0.01%) สารทำงานสามารถดูดซับพลังงานจากรังสีอาทิตย์ได้ดีกว่าของไหพลั่นฐานที่ไม่ได้ผสมอนุภาค nano ถึง 4 เท่า ในส่วนของความหนืดของสารทำงานเมื่อผสมอนุภาค nano แล้วนั้น เมื่อสัดส่วนปริมาตรเพิ่มขึ้น ความหนืดของสารทำงานก็เพิ่มขึ้น แต่จะลดลงเมื่ออุณหภูมิเพิ่มขึ้น และค่าการนำความร้อนของของไหหลาโนคوبเปอร์ออกไซด์เพิ่มขึ้น เมื่อสัดส่วนปริมาตรของอนุภาค nano ที่ผสมเพิ่มขึ้น จากการทดลองที่ใช้สัดส่วนปริมาตรที่ 0.01% (100 ppm) พบว่าค่าการนำความร้อนเพิ่มขึ้นที่ประมาณ 13.7% ซึ่งการเพิ่มอุณหภูมิให้สูงขึ้น จะเป็นการเพิ่มค่าการนำความร้อน และลดความหนืดของของไหหลาโนคوبเปอร์ออกไซด์ ส่งผลในการช่วยเพิ่มค่าประสิทธิภาพในการดูดซับรังสีอาทิตย์ของตัวเก็บรังสีอาทิตย์

Colangelo et al. (2015) ได้ทำการปรับปรุงตัวเก็บรังสีอาทิตย์แบบแผ่นรานและทำการหาค่าประสิทธิภาพทางความร้อนโดยใช้สารทำงาน 2 ชนิด คือ น้ำกลั่น และของไหหลาโนอะลูมิเนียมออกไซด์ที่มีน้ำกลั่นเป็นของไหพลั่นฐานโดยใช้ความเข้มข้นที่สัดส่วนปริมาตร 3.0% จากการศึกษาพบว่า ในการปรับปรุงตัวเก็บรังสีอาทิตย์ในงานวิจัยนี้ก็เพื่อจะรักษาความเร็วของของไหให้คงที่ และในส่วนของการใช้สารทำงานเป็นของไหหลาโนนั้น ค่าประสิทธิภาพของตัวเก็บรังสีอาทิตย์สูงกว่าการใช้น้ำกลั่นเป็นสารทำงาน 7%

Karami et al. (2015) ได้ทำการศึกษาการใช้ของไหหลาโนคوبเปอร์ออกไซด์ที่มีน้ำผึ้งสมอเทลีนไกลคอล (ที่สัดส่วนปริมาตร 70:30) เป็นของไหพลั่นฐาน ที่ความเข้มข้น 25 ppm 50 ppm และ 100 ppm ในการทดลองนี้ใช้อัตราการไหลดั้งแต่ 0.015 – 0.025 kg/s และใช้พื้นผิวภายในส่องชนิด

คือชนิดสีดำ และชนิดสีทึบเงา ซึ่งผลจากการทดลองพบว่า การใช้ของไอลนาโนเป็นสารทำงานในตัวเก็บรังสีอาทิตย์ทำให้ค่าประสิทธิภาพของตัวเก็บรังสีอาทิตย์เพิ่มขึ้น เมื่อเทียบกับของไอลพื้นฐานที่ถูกใช้ในทุกอัตราการไอล และที่ความเข้มข้นของของไอลนาโนมากกว่า 100 ppm แสงไม่สามารถส่องผ่านได้ ทั้งนี้ที่อัตราการไอลที่ต่ำกว่าทำให้เกิดการสูญเสียความร้อนมากกว่า ดังนั้นประสิทธิภาพของตัวเก็บรังสีอาทิตย์จะเพิ่มขึ้นเมื่ออัตราการไอลที่ใช้เพิ่มขึ้น

ตารางที่ 3 ค่า zero-loss (η_0) (%) และค่าสัมประสิทธิ์การสูญเสียความร้อน (a_1) (W/m².K) ของสารทำงานที่อัตราการไอลต่าง ๆ

Working fluid	Flow rate (l/hr)(kg/s)								
	54 (0.015)			72 (0.22)			90 (0.025)		
	η_0	a_1	R^2	η_0	a_1	R^2	η_0	a_1	R^2
Base fluid (Reflective internal surface)	50.2	20.18	0.984	56.9	19.98	0.992	60.3	19.85	0.996
Base fluid (Black internal surface)	58.0	18.59	0.998	66.0	17.89	0.999	71.7	17.21	0.976
CuO nanofluid (C3)	59.1	18.33	0.972	67.8	17.93	0.976	71.4	17.17	0.996
CuO nanofluid (C2)	61.6	18.66	0.964	70.7	18.24	0.977	74.9	17.82	0.996
CuO nanofluid (C1)	64.7	19.36	0.970	74.3	18.98	0.994	77.3	18.06	0.997

ที่มา: Karami et al. (2015: 800)

Gupta et al. (2015) ได้ศึกษาประสิทธิภาพของตัวเก็บรังสีอาทิตย์แบบแผ่นรับโดยใช้ของไอลนาโนอะลูминัมออกไซด์ที่มีน้ำเป็นของไอลพื้นฐาน ที่สัดส่วนปริมาตร 0.005% ขนาดอนุภาคนาโนอะลูминัมออกไซด์ที่ 20nm อัตราการไอลที่ศึกษาอยู่ที่ 1.5 LPM 2 LPM และ 2.5 LPM จากผลการทดลองพบว่า การใช้ของไอลนาโนอะลูминัมออกไซด์เป็นสารทำงานทำให้ประสิทธิภาพของตัวเก็บรังสีอาทิตย์เพิ่มขึ้นที่ทุกอัตราการไอล เมื่อเทียบกับการใช้น้ำเป็นสารทำงาน สำหรับการใช้ของไอลนาโนเป็นสารทำงาน ที่อัตราการไอล 1.5 LPM ประสิทธิภาพของตัวเก็บรังสีอาทิตย์เพิ่มขึ้น 8.1% และที่อัตราการไอล 2 LPM และ 2.5 LPM ประสิทธิภาพของตัวเก็บรังสีอาทิตย์เพิ่มขึ้นประมาณ 4.2%

บทที่ 3

อุปกรณ์และวิธีการวิจัย

วัสดุอุปกรณ์ในการวิจัย

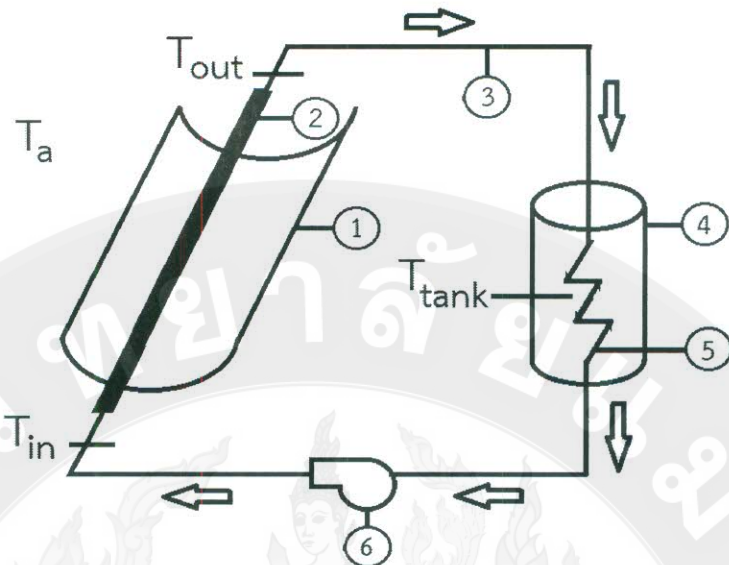
1. ระบบผลิตน้ำร้อนพลังงานแสงอาทิตย์แบบ旁ราโบลิกตันแบบ

งานวิจัยนี้ได้ทำการออกแบบระบบผลิตน้ำร้อนพลังงานแสงอาทิตย์แบบ旁ราโบลิกตันแบบในงานวิจัยนี้ได้ทำการออกแบบแบบส่วนโคงของ旁ราโบลิกโดยใช้สมการ旁ราโบล่าและสร้างแบบจำลองโครงสร้างรองรับ旁ราโบลิกด้วยโปรแกรมคอมพิวเตอร์ซึ่งระบบผลิตน้ำร้อนพลังงานแสงอาทิตย์แบบ旁ราโบลิกตันแบบในงานวิจัยนี้มีส่วนประกอบหลักได้แก่

1. แผ่นสะท้อนรังสีมีลักษณะเป็นแผ่นโคง旁ราโบล่าทำหน้าที่รับรังสีจากดวงอาทิตย์ และสะท้อนรังสีดังกล่าวสู่ตำแหน่งโฟกัสของ旁ราโบล่า แผ่นสะท้อนรังสีในงานวิจัยนี้สร้างจากแผ่นแต่ละสติลีมีความหนา 1 mm ยึดติดกับโครงเหล็กกล้าที่ขึ้นรูปให้มีความโคงจากสมการ旁ราโบล่า โดยกำหนดให้แผ่นสะท้อนรังสีมีพื้นที่รับรังสีกว้างและยาวประมาณ 1.0 m และ 2.4 m ตามลำดับ

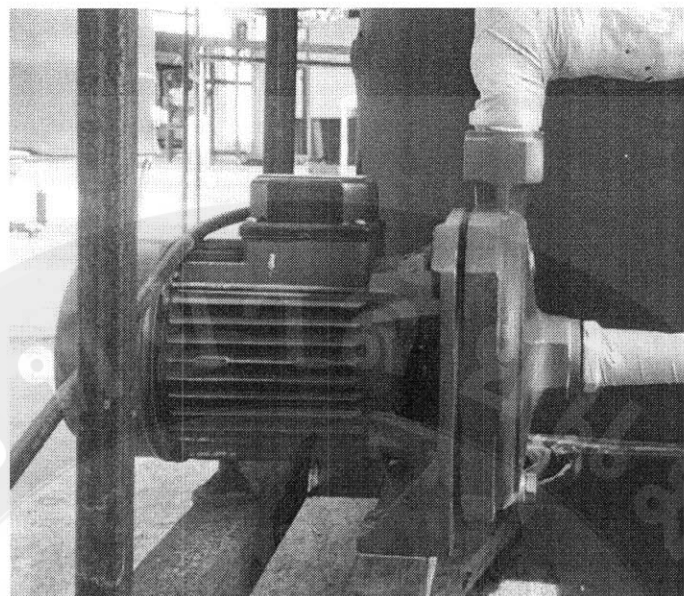
2. ท่อรับรังสีอาทิตย์ ติดตั้ง ณ ตำแหน่งโฟกัสของ旁ราโบลิกทำหน้าที่รับรังสีอาทิตย์ที่สะท้อนจากแผ่นสะท้อนรังสีเพื่อแปลง เป็นพลังงานความร้อนและถ่ายเทให้กับสารทำงานที่บรรจุอยู่ภายในท่อรังสีในงานวิจัยนี้สร้างจากเหล็กกล้าไร้สนิมขนาดเส้นผ่านศูนย์กลางภายนอก 0.05 m ยึดติดกับโครงเหล็กกล้าที่ออกแบบให้สามารถปรับระดับห่างระหว่างท่อรับรังสีและแผ่นสะท้อนรังสีได้

3. ถังเก็บน้ำร้อน ถังนี้จะติดตั้งเครื่องแลกเปลี่ยนความร้อนทำหน้าที่ถ่ายเทความร้อนระหว่างสารทำงานและน้ำที่จะผลิตเป็นน้ำร้อน ความร้อนที่ได้จากการแลกเปลี่ยนความร้อนจะถูกกักเก็บไว้ในรูปของน้ำร้อนที่จะนำไปใช้งานต่อไป ถังเก็บน้ำร้อนในงานวิจัยนี้มีความจุ 200 l ทำการติดตั้งจำนวนกันความร้อนภายในถังที่จะใช้ผลิตเป็นน้ำร้อน เมื่อสารทำงานไหลออกจากเครื่องแลกเปลี่ยนความร้อนก็จะถูกปั๊มส่งเข้าสู่ท่อรับรังสีอาทิตย์ต่อไปเป็นวัฏจักรดังภาพที่ 14



ภาพที่ 11 การให้เลี้ยงของสารทำงานภายในระบบผลิตน้ำร้อน 1) แผ่นสะท้อนรังสีแบบพาราโบลิก
2) ท่อรับรังสีอาทิตย์ 3) ระบบห่อลำเลียงสารทำงาน 4) ถังกักเก็บน้ำร้อน
5) เครื่องแลกเปลี่ยนความร้อน และ 6) ปั๊มน้ำ

4. ปั๊มสารทำงาน ทำหน้าที่หมุนเวียนสารทำงานในระบบผลิตน้ำร้อนพลังงานแสงอาทิตย์ โดยปั๊มที่ใช้ในการทดสอบคือปั๊มน้ำ ขนาด 0.75 kW ควบคุมความเร็วรอบของมอเตอร์ด้วย อินเวอร์เตอร์ (Inverter) ที่สามารถปรับเปลี่ยนความถี่ของกระแสไฟฟ้าที่ส่งจ่ายให้กับปั๊มทำให้ สามารถเปลี่ยนค่าอัตราการไหลของสารทำงานได้



ภาพที่ 12 ปั๊มสารทำงาน



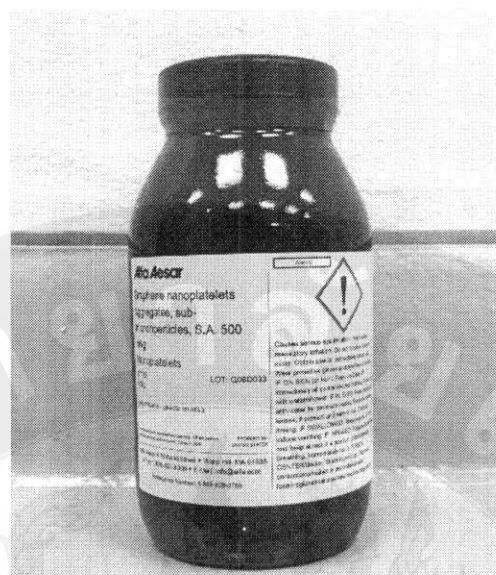
ภาพที่ 13 อินเวอร์เตอร์

5. ว่าล์ว ในการทดสอบใช้วาล์วนินิต Gate valve ใน การควบคุมอัตราการไหลของสารทำงานภายในระบบผลิตน้ำร้อนพลังงานแสงอาทิตย์คู่กับชุดอินเวอร์เตอร์ที่ต่อกับปั๊มน้ำของชุดทดสอบ



2. อนุภาคนาโน

อนุภาคนาโนที่ใช้ในงานวิจัยนี้ คือ อนุภาคนาโนชนิดโนราฟีน (Graphene Nano-platelets aggregates, sub-micron particles) เป็นอนุภาคนาโนมีองค์ประกอบหลัก คือ แกรไฟต์ (Graphite) ซึ่งเป็นธาตุคาร์บอนชนิดหนึ่ง โนราฟีนเกิดจากการเรียงตัวของอะตอมแกรไฟต์ที่เป็นชั้น ๆ ซึ่งมีคุณสมบัติต้านความแข็งแรงสูง น้ำหนักเบา เป็นตัวนำความร้อนและไฟฟ้าที่มีขนาดของอนุภาค (Particle size) ในช่วง 60 – 80 nm มีพื้นที่ผิวจำเพาะ (Specific Surface Area; SSA) ประมาณ 2,630 m²/g ซึ่งมีค่าสูงกว่าท่อ นานาในคราร์บอนที่มีขนาดพื้นที่ผิวจำเพาะในช่วง 100-1,000 m²/g ถึง 2.6 เท่า และยังมีค่าสัมประสิทธิ์การนำความร้อนในช่วง 2,500-5,000 W/m·K ซึ่งมีค่าสูงกว่าทองแดง ประมาณ 40 เท่า ทำให้ออนุภาคนาโนราฟีนมีความสามารถในการแลกเปลี่ยนความร้อนสูงและมีคุณสมบัติของการเป็นตัวนำความร้อนที่ดี โดยอนุภาคนาโนราฟีนที่ใช้ในงานวิจัยนี้แสดงดังภาพที่ 18



ภาพที่ 15 อนุภาคนาโนกราฟีน (Graphene Nano-platelets)

3. เครื่องผสมแบบอัลตราโซนิก

งานวิจัยนี้ใช้เครื่องอัลตราโซนิก Ultrasonic GT SONIC-P6 ขนาด 300 W ความถี่ 40 kHz
ดังภาพที่ 19



ภาพที่ 16 เครื่องอัลตราโซนิก

เครื่องมือวัด

1. เครื่องวัดความเข้มรังสีอาทิตย์ (Pyranometer)

เครื่องวัดความเข้มรังสีอาทิตย์ ยี่ห้อ CEM รุ่น DT-1307 สามารถอ่านค่าความเข้มรังสีอาทิตย์ได้ตั้งแต่ 0 - 1,999 W/m² ความละเอียดของการวัดเท่ากับ $\pm 10\text{W/m}^2$

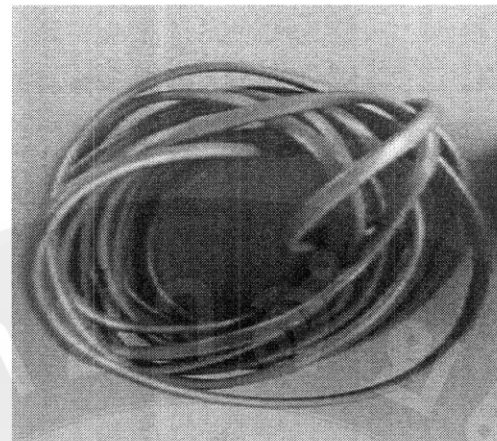


ภาพที่ 17 เครื่องวัดความเข้มรังสีอาทิตย์

ที่มา: <http://www.cem-instruments.in/product.php?pname=DT-1307>

2. สายวัดอุณหภูมิ (Thermocouple)

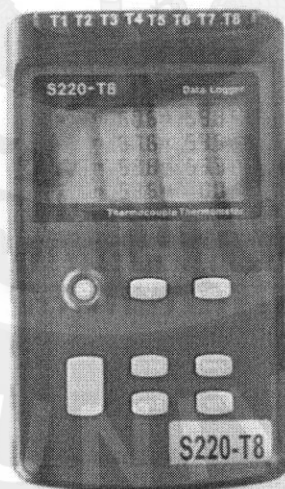
สายวัดอุณหภูมิที่ใช้เป็นสายเทอร์โมคัปเปล Thermocouple type K 4/0.65 mm X2 สามารถทนอุณหภูมิได้ตั้งแต่ 0-270 °C



ภาพที่ 18 สายวัดอุณหภูมิ

3. เครื่องบันทึกข้อมูล (Data logger)

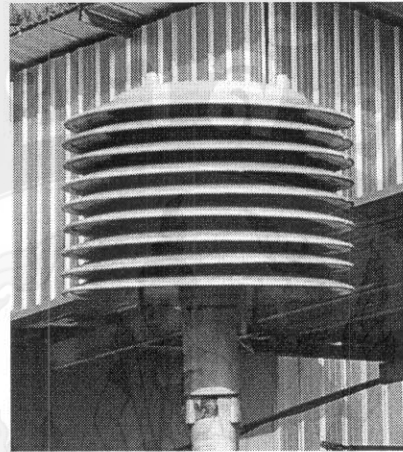
เครื่องบันทึกข้อมูล (Data logger) ยี่ห้อ Huato แบบ 8 ช่องทาง สามารถบันทึกข้อมูลได้ถึง 24 ข้อมูล ในการใช้ต้องลงโปรแกรม Data logger กับตัวคอมพิวเตอร์ก่อนเพื่อให้บันทึกข้อมูลและแสดงผลในตัวคอมพิวเตอร์



ภาพที่ 19 เครื่องบันทึกข้อมูล (Data logger)

4. ชุดวัดอุณหภูมิแวดล้อม

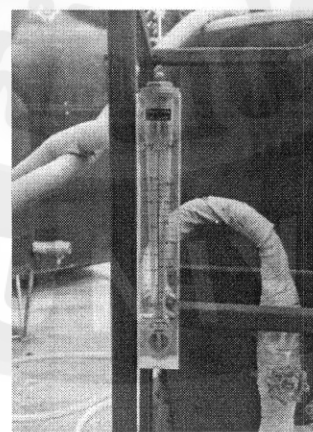
ชุดวัดอุณหภูมิแวดล้อมจะประกอบไปด้วยสายเทอร์โมคัปเบล งานพลาสติกขนาด 11 นิ้ว ซึ่งเป็นชั้นเพื่อป้องกันไม่ให้หัววัดอุณหภูมิโดนแสงอาทิตย์โดยตรงและป้องกันลม



ภาพที่ 20 ตัววัดอุณหภูมิแวดล้อม

5. เครื่องวัดอัตราการไหล (Flow Meter)

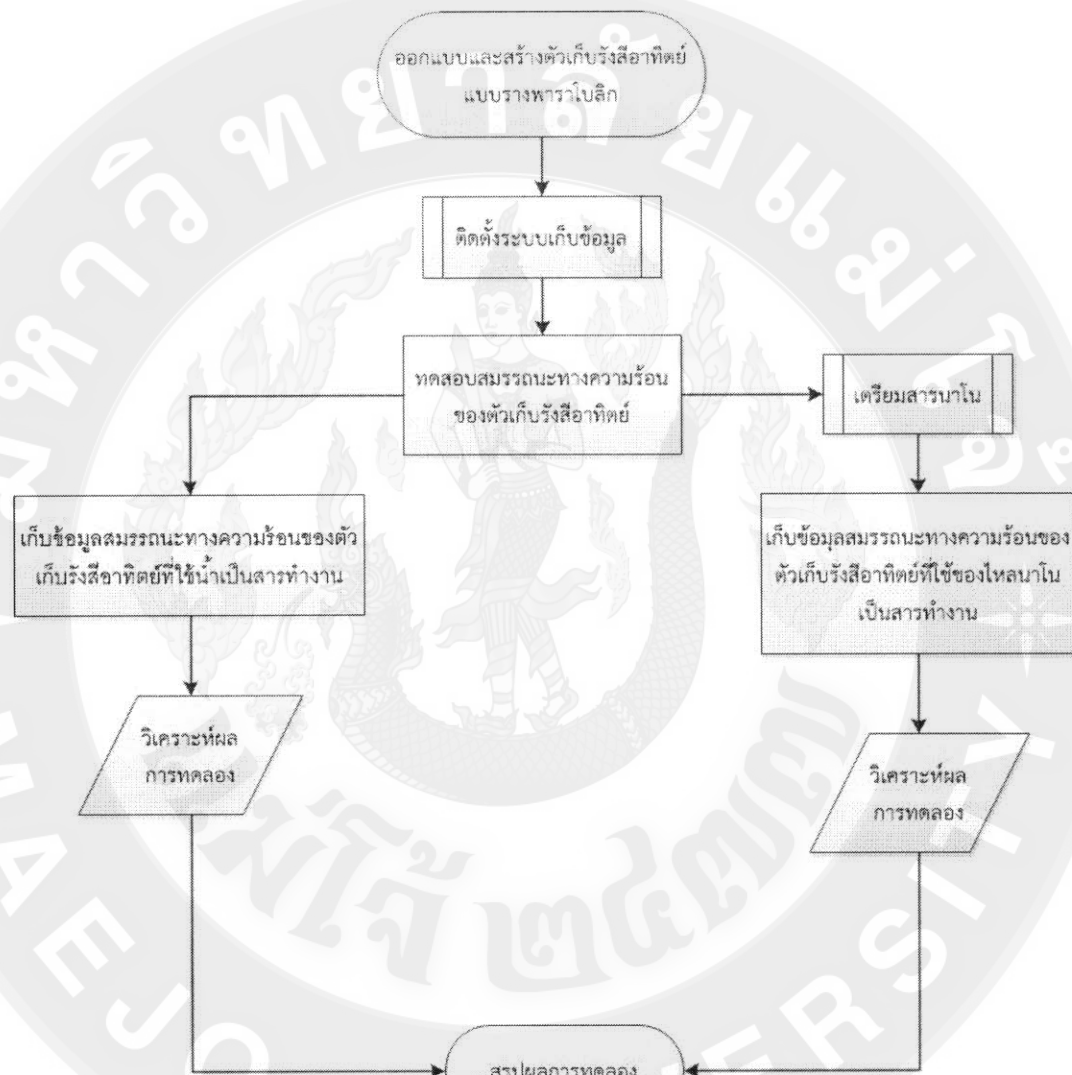
เครื่องวัดอัตราการไหล เป็นเครื่องที่ใช้สำหรับวัดอัตราการไหลสามารถวัดอัตราการไหลในช่วง 2 – 18 LPM



ภาพที่ 21 เครื่องวัดอัตราการไหล

วิธีดำเนินงานวิจัย

การดำเนินงานวิจัยนี้ แบ่งเป็นขั้นตอนการดำเนินตามแผนผังที่แสดง



ภาพที่ 22 แผนผังการดำเนินงาน

1. การสร้างตัวเก็บรังสีอาทิตย์แบบยางพาราโบลิก

งานวิจัยนี้ได้ทำการออกแบบและสร้างตัวเก็บรังสีอาทิตย์แบบยางพาราโบลิกจำนวนทั้งสิ้น 2 ชุด โดยจัดวางให้ตั้งขนานกัน และหันตัวรับรังสีอาทิตย์ไปทางทิศใต้ ทำมุมเอียง 18° กับระนาบตามละติจูด ที่ตั้งของสถานที่ทดลอง โดยตัวเก็บรังสีอาทิตย์แบบยางพาราโบลิกที่สร้างมีส่วนประกอบหลักคือ 1) แผ่นสะท้อนรังสีอาทิตย์ทรงพาราโบลา สร้างจากแผ่นสแตนเลสที่ยึดกับโครงเหล็กตัดทรงพาราโบลา 2) ห่อรับรังสีอาทิตย์ ออกแบบให้สามารถปรับระดับไฟกัสได้ 3) ระบบส่งจ่ายสารทำงาน ประกอบด้วยถังพักสารทำงาน และปั๊มสารทำงาน 4) ถังกักเก็บน้ำร้อนที่ทำการติดตั้งเครื่องแลกเปลี่ยนความร้อน เป็นชุดท่อทองแดงวางไว้ภายในถัง 5) ระบบควบคุมการทำงานของตัวเก็บรังสีอาทิตย์แบบยางพาราโบลิกที่สร้างนั้น ทำการติดตั้งโดยใช้อินเวอร์เตอร์ (inverter) เพื่อดำเนินการทำงานของปั๊มสารทำงาน ควบคู่กับวาร์ล์ในการปรับอัตราการไหลของสารทำงานที่ส่งจ่ายให้กับระบบ และทำการติดตั้งระบบสำหรับเก็บข้อมูลอุณหภูมิ โดยใช้สายเทอร์โมคัปเปลใน การวัดอุณหภูมิจากตัวเก็บรังสีอาทิตย์แบบยางพาราโบลิกและระบบกักเก็บน้ำร้อนในงานวิจัยนี้ ทำการติดตั้งสายเทอร์โมคัปเปลที่ตัวเก็บรังสีอาทิตย์ บริเวณทางเข้าและทางออกของห่อรับรังสีอาทิตย์ ภายในถังพักสารทำงาน และติดตั้งที่ถังกักเก็บน้ำร้อนบริเวณทางเข้าและทางออกเครื่องแลกเปลี่ยนความร้อน และภายในถังกักเก็บน้ำร้อน

2. การเตรียมสาร nano

สำหรับสาร nano ที่ใช้ในงานวิจัยนี้ ใช้ออนุภาคนาโนกราฟีน (Graphene nanoplatelets aggregates) ที่มีขนาดเส้นผ่านศูนย์กลางของอนุภาคน้อยกว่า 2 microns และหนาประมาณ 5 – 10 nm ลักษณะของอนุภาคมีรูปร่างเป็นเกล็ด คุณสมบัติของอนุภาคนาโนและคุณสมบัติของน้ำแสดงในตารางที่ 4

ตารางที่ 4 แสดงคุณสมบัติของสาร nano กับน้ำ

Type	Shape	Thermal conductivity (k, W/m·K)	Specific heat (Cp, J/kg·K)	Density (ρ, kg/m ³)
Graphene (GNP)	Platelets	5,000	700	2,620
Water (H ₂ O)	-	0.60	4,187	1,000

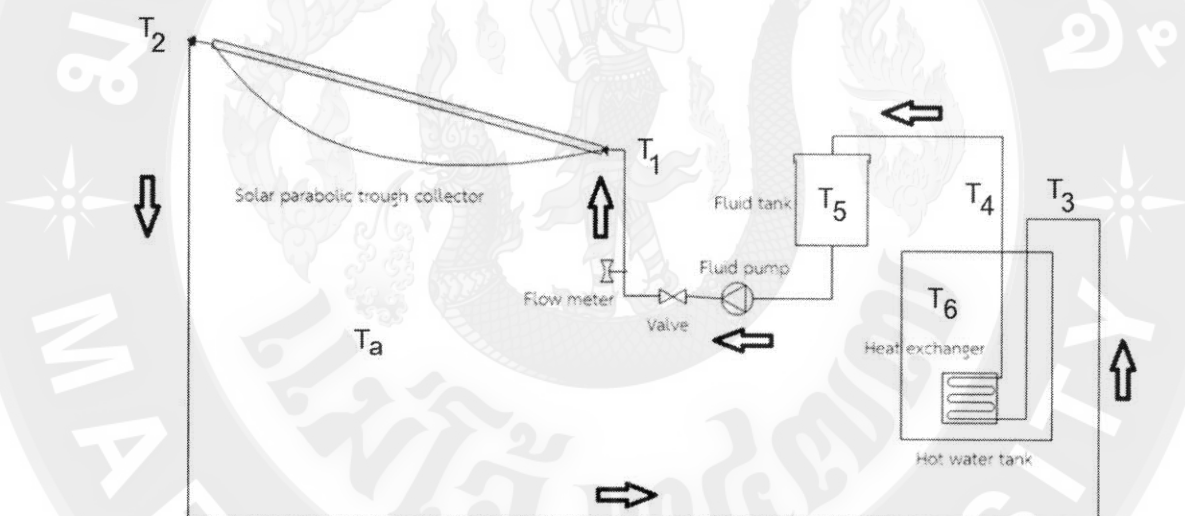
การผสานสารทำงาน nano กราฟีนเข้าของเหลวพื้นฐานเป็นน้ำกลั่น (Distilled water) ผสมในเครื่องอัลตราโซนิก ขนาด 300 W ความถี่ 40 kHz โดยชั่งตวงอนุภาค nano กราฟีนในปริมาณที่ต้องการ ผสมกับน้ำให้อยู่ในสภาพเป็นสารคolloidal เพื่อใช้เป็นสารทำงานที่ใช้ในการทดสอบในระบบผลิตน้ำร้อนพลังงานแสงอาทิตย์ ในงานวิจัยนี้ทำการทดสอบโดยใช้สาร nano ที่ความเข้มข้น 0.05, 0.075 และ 0.100 %wt ในการผสาน nano กราฟีนที่ใช้เป็นของเหลวในการทดสอบตัวเก็บรังสีอาทิตย์แบบร่างพาราโบลิกในวิจัยนี้ โดยใช้เวลาในการผสม 60 min โดยทำการผสานเป็นระยะเวลา 30 min จากนั้นพักเครื่องอัลตราโซนิกเป็นเวลา 15 min แล้วดำเนินการผสานต่ออีก 30 min เพื่อป้องกันไม่ให้เครื่องอัลตราโซนิกทำอุณหภูมิของสาร nano ที่ผสานสูงกว่า 60 °C



ภาพที่ 23 สาร nano กราฟีนที่ผสานในเครื่องอัลตราโซนิก

3. การทดสอบและการเก็บข้อมูลสมรรถนะทางความร้อนของตัวเก็บรังสีอาทิตย์แบบร่างพาราโบลิก
ในงานวิจัยนี้ได้ทำการทดสอบและเก็บข้อมูลสมรรถนะทางความร้อนของระบบตัวเก็บรังสีอาทิตย์แบบร่างพาราโบลิกที่มีขนาดและองค์ประกอบเหมือนกัน ติดตั้งในสภาพแวดล้อมเดียวกันจำนวน 2 ระบบ ในช่วงเวลา 9.00 – 15.00น. โดยไม่ทำการปรับแต่งรับรังสีอาทิตย์ตามดวงอาทิตย์ ทำการทดสอบระบบทั้งสองโดยกำหนดให้ระบบที่ 1 ใช้น้ำเป็นสารทำงาน และระบบที่ 2 ใช้อิ่นไหลง nano กราฟีนเป็นสารทำงาน ทำการปรับเปลี่ยนค่าอัตราการไหลเชิงปริมาตรของสารทำงานที่ใช้กับระบบทั้งสองจำนวน 3 ค่า ได้แก่ 1.0 1.5 และ 2.0 LPM ตามลำดับ ขณะทำการทดสอบผู้วิจัยได้ทำการเก็บข้อมูลต่าง ๆ ได้แก่

- 1) ค่าความเข้มรังสีอาทิตย์ (W/m^2)
- 2) ค่าอุณหภูมิอากาศแวดล้อม ($^\circ\text{C}$)
- 3) ค่าอุณหภูมิ ณ จุดต่างๆ ($^\circ\text{C}$) ภายในระบบผลิตน้ำร้อนตันแบบ โดยตำแหน่งการเก็บข้อมูล อุณหภูมิ ณ จุดต่างๆ ภายในระบบผลิตน้ำร้อนตันแบบดังแสดงในภาพที่ 26
 - 3.1) อุณหภูมิสารทำงาน ณ ทางเข้าท่อรับรังสี (T_1)
 - 3.2) อุณหภูมิสารทำงาน ณ ทางออกท่อรับรังสี (T_2)
 - 3.3) อุณหภูมิสารทำงาน ณ ทางเข้าท่อเข้าคอยล์ (T_3)
 - 3.4) อุณหภูมิสารทำงาน ณ ทางเข้าท่อออกคอยล์ (T_4)
 - 3.5) อุณหภูมิสารทำงานในถังพักสารทำงาน (T_5)
 - 3.6) อุณหภูมน้ำร้อนภายในถังกักเก็บน้ำร้อน (T_6)
 - 3.7) อุณหภูมิสิ่งแวดล้อม (T_a)



ภาพที่ 24 ตำแหน่งการเก็บข้อมูลอุณหภูมิ ณ จุดต่างๆ ภายในระบบผลิตน้ำร้อนตันแบบ

บทที่ 4

ผลการทดลองและวิจารณ์

การศึกษาสมรรถนะทางความร้อนของระบบผลิตน้ำร้อนพลังงานแสงอาทิตย์แบบรางพาราโบลิกโดยใช้ของเหลวนาโนเป็นสารทำงานในงานวิจัยนี้ แบ่งผลการการศึกษาออกเป็น 1) ผลการออกแบบและสร้างตัวเก็บรังสีอาทิตย์แบบรางพาราโบลิกสำหรับผลิตน้ำร้อนตันแบบ 2) คุณสมบัติของสารทำงานนาโนกราฟีน 3) อุณหภูมิ ณ จุดต่าง ๆ ของระบบผลิตน้ำร้อนพลังงานแสงอาทิตย์แบบพาราโบลิกตันแบบ 4) สมรรถนะตัวเก็บรังสีอาทิตย์แบบรางพาราโบลิกสำหรับระบบผลิตน้ำร้อนตันแบบ และ 5) ค่าประสิทธิภาพของระบบ โดยผลการศึกษาวิจัยมีรายละเอียดดังต่อไปนี้

ผลการออกแบบและสร้างตัวเก็บรังสีอาทิตย์แบบรางพาราโบลิกสำหรับผลิตน้ำร้อนตันแบบ



ภาพที่ 25 ระบบผลิตน้ำร้อนพลังงานแสงอาทิตย์แบบรางพาราโบลิกตันแบบ

จากการออกแบบสร้างตัวเก็บรังสีอาทิตย์แบบรางพาราโบลิกสำหรับระบบผลิตน้ำร้อนตันแบบ ในส่วนของตัวเก็บรังสีอาทิตย์ทำการออกแบบโครงสร้างเหล็กฐานติดตั้งแผ่นสะท้อนรังสีอาทิตย์ที่สร้างจากแผ่นสแตนเลสให้เป็นรางพาราโบลิก โดยกำหนดให้พื้นที่รับแสงมีขนาดเท่ากับ 2 m^2 ทำการหาค่าเพื่อติดตั้งท่อรับรังสีอาทิตย์ที่ระยะไฟก้าสของ

朗父拉波利吉โดยคำนวณจากสมการที่ 2 ความกว้างของ朗父拉波利吉ในงานวิจัยนี้อยู่ที่ 1.03 m และระยะไฟก์สที่ทำการติดตั้งห่อรับรังสีอาทิตย์อยู่ที่ 0.26 m



ภาพที่ 26 โครงเหล็กรูปทรงพาราโบลาที่ทำการออกแบบด้วยโปรแกรมคอมพิวเตอร์

ห่อรับรังสีอาทิตย์ที่ใช้ในงานวิจัยนี้สร้างจากห่อเหล็กกลมไวร์ตาล์เบ็บที่มีขนาดเส้นผ่าศูนย์กลางจากภายนอกห่อเท่ากับ 3.8 cm ความยาว 3 m ทำการติดตั้งตัวลดขนาดของห่อจาก 3.8 cm ให้เหลือ 1.27 cm เนื่องจากระบบท่อของตัวเก็บรังสีอาทิตย์แบบบางพาราโบลิกสำหรับผลิตน้ำร้อนตันแบบในงานวิจัยนี้มีขนาดอยู่ที่ 1.27 cm ในส่วนโครงเหล็กสำหรับติดตั้งตัวเก็บรังสีอาทิตย์แบบบางพาราโบลิกในงานวิจัยนี้ ถูกสร้างให้ติดตั้งแกนเหนือ – ใต้ มีขนาดทำมุ่ม 18 องศา จากพื้นราบเนื่องจากเป็นขนาดมุ่มต่ำ กระหบของรังสีอาทิตย์ในบริเวณพื้นที่เชียงใหม่ ถังพักการทำงานที่ถูกติดตั้งเป็นถังพลาสติก PE (Polyethylene) ขนาด 30 L และถังกักเก็บน้ำร้อนที่ใช้เป็นถังเหล็กขนาด 200 L ทำการติดฉนวนโดยรอบเพื่อลดการสูญเสียความร้อน

ผลการทดสอบการทำงานของตัวเก็บรังสีอาทิตย์แบบบางพาราโบลิกตันแบบในงานวิจัยนี้พบว่า แสงสะท้อนรังสีอาทิตย์รูปพาราโบลาสามารถรับและสะท้อนรังสีอาทิตย์ไปที่จุดไฟก์สซึ่งติดตั้งห่อรับรังสีได้เป็นอย่างดีในช่วง 11.00 น. ถึง 13.00 น. โดยประมาณ แต่นอกเหนือจากช่วงเวลาดังกล่าวแนวของรังสีสะท้อนจะเบียงเบนจะแนวของห่อรับรังสี เนื่องจากแสงรับรังสีของตัวเก็บรังสีอาทิตย์แบบบางพาราโบลิกตันแบบในงานวิจัยนี้ถูกติดตั้งแบบคงที่ ไม่มีการปรับทิศทางตามตำแหน่งของดวงอาทิตย์ ทำให้ช่วงเวลา ก่อน 11.00 น. และ หลัง 13.00 น. นั้น ตำแหน่งของดวงอาทิตย์จะอยู่นอกกรอบของแรงรับรังสีทำให้การสะท้อนและรวมแสงไม่ได้ส่งผลต่ออุณหภูมิของสารทำงานที่ไม่สูงเท่าที่ควร ทั้งนี้จึงควรมีการปรับทิศทางของแรงรับรังสีอย่างสม่ำเสมอเพื่อประสิทธิภาพการสะท้อนที่ดีขึ้น และเมื่อพิจารณาผิวห่อรับรังสีด้านที่รังสีสะท้อนต่อกกระหบพบร่วมกับในช่วงเวลาที่ความเข้มแสงสูงและการสะท้อนเกิดได้ดี (11.00 น. – 13.00 น.) พบร่วมกับความร้อนขึ้นโดยรอบเนื่องจากห่อรับรังสีตั้งกล่าวไม่ได้ถูกครอบ

ด้วยท่อแก้วทำให้เกิดการสูญเสียความร้อนจากการพากความร้อนของอากาศโดยรอบผิวท่อเป็นเหตุให้อุณหภูมิของสารทำงานที่ไม่สูงเท่าที่ควรเข่นกัน

ผลของการทดสอบนุภาคนาโนกราฟีนต่อสมบัติของสารทำงาน

งานวิจัยนี้ได้ทำการทดสอบนุภาคนาโนกราฟีนที่อัตราความเข้มข้นโดยน้ำหนักเท่ากับ 0.05 %wt 0.075 %wt และ 0.100 %wt ตามลำดับ จากการทดสอบนุภาคนาโนกราฟีนกับสารทำงานพื้นฐานสามารถนำค่าความหน่วงสมบัติต้านต่าง ๆ ของสารทำงานนาโนกราฟีนได้ดังต่อไปนี้

1. สมบัติต้านกายภาพและเคมีของสารทำงาน

1.1 ค่าความหนาแน่น (Density, ρ)

จากการทดสอบนุภาคนาโนกราฟีนที่มีค่าความหนาแน่นเท่ากับ $2,620 \text{ kg/m}^3$ กับน้ำที่มีค่าความหนาแน่นเท่ากับ $1,000 \text{ kg/m}^3$ ด้วยอัตราส่วนความเข้มข้นโดยน้ำหนักเท่ากับ 0.05 %wt 0.075 %wt และ 0.100 %wt จะได้สารทำงานนาโนที่มีค่าความหนาแน่นสูงขึ้น โดยสารทำงานดังกล่าวมีค่าความหนาแน่นสูงกว่าน้ำซึ่งเป็นของเหลวเท่ากับ 0.031 % 0.046 % และ 0.062 % ตามลำดับ ดังตารางที่ 2 จากการทดสอบตัวเก็บรังสีอาทิตย์แบบร่างพาราโบลิกตันแบบในงานวิจัยนี้ซึ่งกำหนดค่าอัตราการไหลเชิงปริมาตร (V ; LPM) ของระบบที่ใช้น้ำและสารทำงานนาโนเท่ากันทั้งหมด 3 ค่าอัตราการไหล (1.0 LPM 1.5 LPM และ 2.0 LPM) จะพบว่าการเพิ่มขึ้นของสมบัติต้านความหนาแน่นของสารทำงานนาโนทำให้ระบบที่ใช้สารทำงานนาโนมีค่าอัตราการไหลเชิงมวล (\dot{m} ; kg/s) ที่สูงกว่าระบบที่ใช้น้ำเป็นสารทำงาน ผลของการทดสอบนุภาคนาโนต่อค่าความหนาแน่นและอัตราการไหลเชิงมวลของสารทำงานแสดงดังตารางที่ 3

1.2 ค่าความจุความร้อนจำเพาะ (Specific Heat Capacity, c_p)

การทดสอบนุภาคนาโนกราฟีนที่มีค่าความจุความร้อนจำเพาะเท่ากับ $700 \text{ J/kg}\cdot\text{K}$ กับน้ำซึ่งมีค่าความจุความร้อนจำเพาะเท่ากับ $4,186 \text{ J/kg}\cdot\text{K}$ ด้วยอัตราส่วนความเข้มข้นโดยน้ำหนักเท่ากับ 0.05 %wt 0.075 %wt และ 0.100 %wt จะได้สารทำงานนาโนที่มีค่าความจุความร้อนจำเพาะลดลงโดยสารทำงานดังกล่าวมีค่าความจุความร้อนจำเพาะต่ำกว่าน้ำซึ่งเป็นของเหลวเท่ากับ 0.016 % 0.023 % และ 0.031 % ตามลำดับ ดังตารางที่ 5

ตารางที่ 5 ผลของการทดสอบน้ำภาคโน้นต่อสมบัติด้านค่าความหนาแน่น (ρ) และค่าความจุความร้อน
จำเพาะ (c_p) ของสารทำงาน

ชนิด	ความหนาแน่น (ρ ; kg/m ³)	ค่าความจุความร้อนจำเพาะ (c_p ; J/kg·K)
น้ำ	1,000	4,186.00
กราฟีน	2,620	700
0.050 %wt	1,000.31 (+0.031 %)	4,185.35 (-0.016%)
0.075 %wt	1,000.46 (+0.046 %)	4,185.03 (-0.023%)
0.100 %wt	1,000.62 (+0.062 %)	4,184.70 (-0.031%)

ตารางที่ 6 ความสัมพันธ์ระหว่างสมบัติด้านค่าความหนาแน่น (ρ) ต่อค่าอัตราการไหลเชิงมวล (\dot{m})
ของสารทำงาน

		อัตราการ ไหลเชิง มวล		อัตราการ ไหลเชิงมวล		$\dot{m}c_p$
ปริมาตร (V; LPM)	ชนิดสาร ทำงาน	ความหนาแน่น (ρ ; kg/m ³)		(\dot{m} ; kg/s)		(J/s·K)
1.0	น้ำ	1,000		0.016667		69.767
	0.050 %wt	1,000.31	+0.031%	0.016672	+0.029%	69.777 +0.015%
	0.075 %wt	1,000.46	+0.046%	0.016674	+0.044%	69.783 +0.022%
	0.100 %wt	1,000.62	+0.062%	0.016677	+0.060%	69.788 +0.030%
	น้ำ	1,000		0.025000		104.650
	0.050 %wt	1,000.31	+0.031%	0.025008	+0.031%	104.666 +0.015%
1.5	น้ำ	1,000.46	+0.046%	0.025012	+0.046%	104.674 +0.023%
	0.075 %wt	1,000.62	+0.062%	0.025016	+0.062%	104.682 +0.031%
	น้ำ	1,000		0.033333		139.533
	0.050 %wt	1,000.31	+0.031%	0.033344	+0.032%	139.555 +0.016%
	0.075 %wt	1,000.46	+0.046%	0.033349	+0.047%	139.565 +0.023%
	0.100 %wt	1,000.62	+0.062%	0.033354	+0.063%	139.576 +0.031%
2.0	น้ำ	1,000.46	+0.046%	0.033349	+0.047%	139.565 +0.023%
	0.050 %wt	1,000.62	+0.062%	0.033354	+0.063%	139.576 +0.031%
	น้ำ	1,000		0.033333		139.533
	0.075 %wt	1,000.31	+0.031%	0.033344	+0.032%	139.555 +0.016%
	0.100 %wt	1,000.46	+0.046%	0.033349	+0.047%	139.565 +0.023%
	น้ำ	1,000.62	+0.062%	0.033354	+0.063%	139.576 +0.031%

จากผลของการทดสอบอนุภาคนาโนกราฟีนลงในน้ำเพื่อใช้เป็นสารทำงานนาโนในระบบผลิตน้ำร้อนพลังงานแสงอาทิตย์แบบรางพาราโบลิกตันแบบ จะเห็นได้ว่าอนุภาคดังกล่าวมีส่วนในการเพิ่มสมบัติค่าความหนาแน่น (ρ) ให้กับสารทำงานแต่ขณะเดียวกันการทดสอบอนุภาคนาโนก็ลดสมบัติด้านค่าความจุความร้อนจำเพาะ (c_p) ของสารทำงานด้วย แต่เมื่อพิจารณาสมการการถ่ายเทความร้อน (

$Q = \dot{m}c_p \Delta T$) ซึ่งเป็นความสัมพันธ์ระหว่างค่าอัตราการไหลเชิงมวล (\dot{m}) ความจุความร้อนจำเพาะ (c_p) และค่าผลต่างของอุณหภูมิสารทำงาน ณ ทางเข้า-ออก ของท่อเก็บรังสี พบร่วมกับการเพิ่มขึ้นของสมบัติด้านค่าความหนาแน่น (ρ) ของสารทำงานนานาโน้ส่งผลต่อการเพิ่มขึ้นของค่าอัตราการไหลเชิงมวล (\dot{m}) ของสารทำงานดังกล่าวทำให้สามารถลดเชยค่าความจุความร้อนจำเพาะ (c_p) ของสารทำงานนานาโน้ส์ลดลงได้ในพจน์ของผลคูณของค่าอัตราการไหลเชิงมวลของสารทำงานกับค่าความจุความร้อนจำเพาะ ($\dot{m}c_p$) โดยระบบที่ใช้สารทำงานนานาโน้สให้ค่าผลคูณของค่าพารามิเตอร์ทั้งสองดังกล่าวสูงกว่าระบบที่ใช้น้ำเป็นสารทำงานเล็กน้อยแสดงดังตารางที่ 6 นั้นจึงเป็นข้อได้ดีของการใช้สารทำงานนานาโน้สเมื่อเทียบกับการใช้น้ำที่ค่าอัตราการไหลเชิงปริมาตรเท่ากัน

2. สมบัติด้านการถ่ายเทความร้อนของสารทำงาน

2.1 ค่าสัมประสิทธิ์การนำความร้อน (k)

ค่าสัมประสิทธิ์การนำความร้อน (k) ของของไหลผสมสามารถคำนวณได้จากสมการที่ 3 ซึ่งเกิดจากความสัมพันธ์ระหว่างค่าสัมประสิทธิ์การนำความร้อนของอนุภาคที่ใช้ในการผสมซึ่งในงานวิจัยนี้คืออนุภาคนาโนกราฟิน ($k_{\text{กราฟิน}} = 5,000 \text{ W/m}\cdot\text{K}$) ต่อค่าสัมประสิทธิ์การนำความร้อนของของไหลพื้นฐาน ซึ่งในงานวิจัยนี้คือ $k_{\text{น้ำ}} = 0.6 \text{ W/m}\cdot\text{K}$ โดยสมบัติด้านการนำความร้อนของอนุภาคที่ใช้ในการผสมจะสามารถเพิ่มค่าสัมประสิทธิ์การนำความร้อนของของไหลผสม (อนุภาค+ของไหลฐาน) ซึ่งในงานวิจัยนี้เรียกของไหลผสมนี้ว่าสารทำงานนานาโน้ส หรือของไหลนานาโน้ส (อนุภาคนาโนกราฟิน+น้ำ) ทั้งนี้ค่าสัมประสิทธิ์การนำความร้อนของสารทำงานนานาโน้สที่ผลิตได้จะแปรผันตามค่าสัดส่วนโดยปริมาตรของอนุภาคนาโนซึ่งก็คือค่าความเข้มข้นโดยน้ำหนัก (%wt) ที่ทำการผสม โดยงานวิจัยนี้ทำการผสมอนุภาคนาโนกราฟินด้วยค่าความเข้มข้นโดยน้ำหนักทั้งสิ้น 3 ค่า เท่ากับ 0.050 %wt 0.075 %wt และ 0.100 %wt ตามลำดับ จากการคำนวณพบว่าค่าสัมประสิทธิ์การนำความร้อนของสารทำงานนานาโน้สที่ผลิตได้มีค่าเท่ากับ 0.614 $\text{W/m}\cdot\text{K}$ 0.621 $\text{W/m}\cdot\text{K}$ และ 0.628 $\text{W/m}\cdot\text{K}$ ตามลำดับ ซึ่งมีค่าสูงกว่าน้ำซึ่งเป็นของไหลฐานเท่ากับ 2.34 % 3.51 % และ 4.68 % ตามลำดับ ดังตารางที่ 4

2.2 ค่าสัมประสิทธิ์การพาความร้อน (h)

ค่าสัมประสิทธิ์การพาความร้อน (h) ของของไหลซึ่งไหลภายในท่อสามารถวิเคราะห์ได้จากสภาพการไหลด้วยค่าเรย์โนลส์นัมเบอร์ (Re) ซึ่งแบ่งออกเป็น 2 กรณี คือ กรณีที่ 1 ค่าเรย์โนลส์นัมเบอร์ของ การไหลน้อยกว่า 2,300 สภาพการไหลประเภทนี้เรียกว่า การไหลภายในท่อแบบราบเรียบ (Laminar Flow in Tubes) และ กรณีที่ 2 ค่าเรย์โนลส์นัมเบอร์ของการไหลเท่ากับ หรือมากกว่า 2,300 สภาพการไหลประเภทนี้เรียกว่า การไหลในท่อแบบปั่นป่วน (Turbulent Flow in Tubes) โดยจากการกำหนดค่าอัตราการไหลของสารทำงานทั้ง 2 ชนิด (น้ำ และสารทำงานนานาโน้ส) ในงานวิจัยนี้

จำนวน 3 ค่า เท่ากับ 1.0 LPM 1.5 LPM และ 2.0 LPM พบว่าทุกค่าอัตราการไหลตั้งกล่าวให้ค่าเรียบในลส์นัมเบอร์ของการไหลน้อยกว่า 2,300 ทำให้เกิดสภาพการไหลภายในท่อแบบราบรื่น (Laminar Flow in Tubes) ทำให้ค่าสัมประสิทธิ์การพาความร้อน (h) ของสารทำงานทั้งสองสามารถคำนวณได้จากสมการที่ 12 ซึ่งค่าสัมประสิทธิ์การพาความร้อน (h) จะมีค่าเพรียบเทียบกับค่าสัมประสิทธิ์การนำความร้อน (k) ของของไอลนัน η กล่าวคือ ในกรณีการไหลภายในท่อแบบราบรื่นนี้ ถ้าของไอลดีมีค่าสัมประสิทธิ์การนำความร้อน (k) สูง จะทำให้ของไอลนันมีค่าสัมประสิทธิ์การพาความร้อน (h) สูงตามไปด้วย โดยสารทำงานนาโนกราฟีนที่มีความเข้มข้นเท่ากับ 0.050 %wt 0.075 %wt และ 0.100 %wt ในงานวิจัยนี้มีค่าสัมประสิทธิ์การพาความร้อน (h) เท่ากับ 49.94 W/m²·K 50.51 W/m²·K และ 51.08 W/m²·K ตามลำดับ มีค่าสูงกว่า η ซึ่งมีค่าสัมประสิทธิ์การพาความร้อน (h) คงที่ในทุกอัตราการไหลเท่ากับ 48.80 W/m²·K ผลของการเพิ่มค่าความเข้มข้นเชิงน้ำหนักของอนุภาคนาโนกราฟีนลงในน้ำทำให้ได้สารทำงานที่มีค่าสัมประสิทธิ์การพาความร้อน (h) เพิ่มขึ้น 2.34 % 3.50 % และ 4.67 % ตามลำดับ แสดงดังตารางที่ 7

ตารางที่ 7 ค่าสัมประสิทธิ์การพาความร้อน (h) ของไอลนาโนกราฟีนในงานวิจัยนี้

สารทำงาน	อัตราการไหล (LPM)	Re	k (W/m·K)	h (W/m ² ·K)
η	2.0	1,184.211	0.600	48.80
	1.0	562.674	0.614	49.94
	1.5	900.278	(+2.34%)	(+2.34%)
	2.0	1,181.615		
นาโน 0.050 %wt	1.0	562.733	0.621	50.51
	1.5	900.373	(+3.50%)	(+3.50%)
	2.0	1,181.739		
	1.0	562.848	0.628	51.08
นาโน 0.075 %wt	1.5	900.556	(+4.67%)	(+4.67%)
	2.0	1,181.980		
นาโน 0.100 %wt	1.0	562.848		
	1.5	900.556		
	2.0	1,181.980		

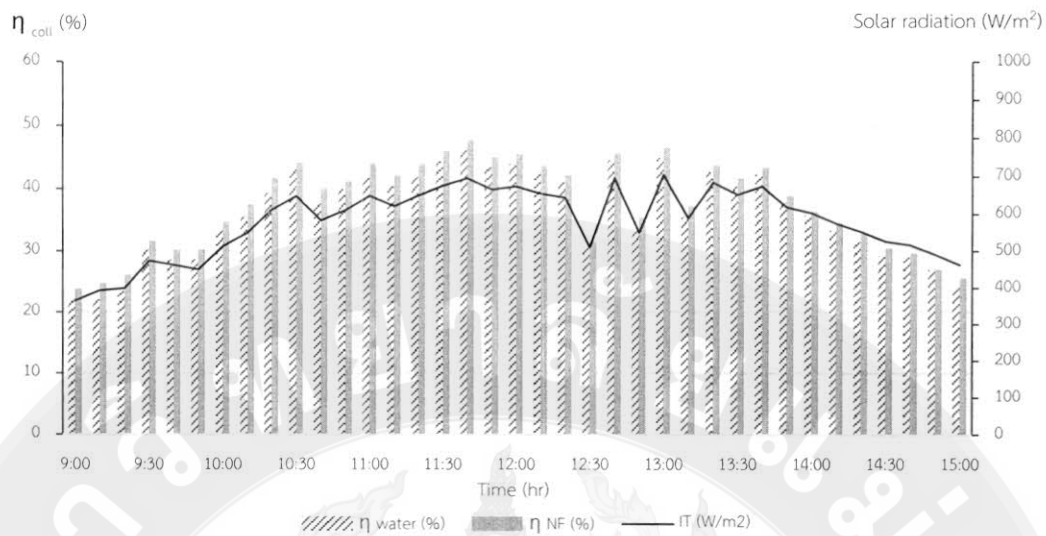
หมายเหตุ * ค่าเรียบในลส์นัมเบอร์ (Re) สูงสุดของสารทำงานนาโนต่ำกว่า η ที่อัตราการไหลเดียวกันเนื่องจากสารทำงานนาโนมีค่าความหนืดที่สูงกว่า η

จากผลของการทดสอบอนุภาคนาโนกราฟีนต่อสมบัติของสารทำงานด้านการถ่ายเทความร้อนของสารทำงานประกอบด้วยค่าสัมประสิทธิ์การนำความร้อน (k) และค่าสัมประสิทธิ์การพาความร้อน (h) ซึ่งเป็นผลการคำนวณจากสมการที่ 3 และสมการที่ 12 ตามลำดับ จะเห็นได้ว่าการทดสอบอนุภาคนาโนกราฟีนทำให้สารทำงานมีสมบัติด้านค่าสัมประสิทธิ์การนำความร้อน (k) สูงขึ้นตามค่าอัตราส่วนโดยมวลและมีค่า

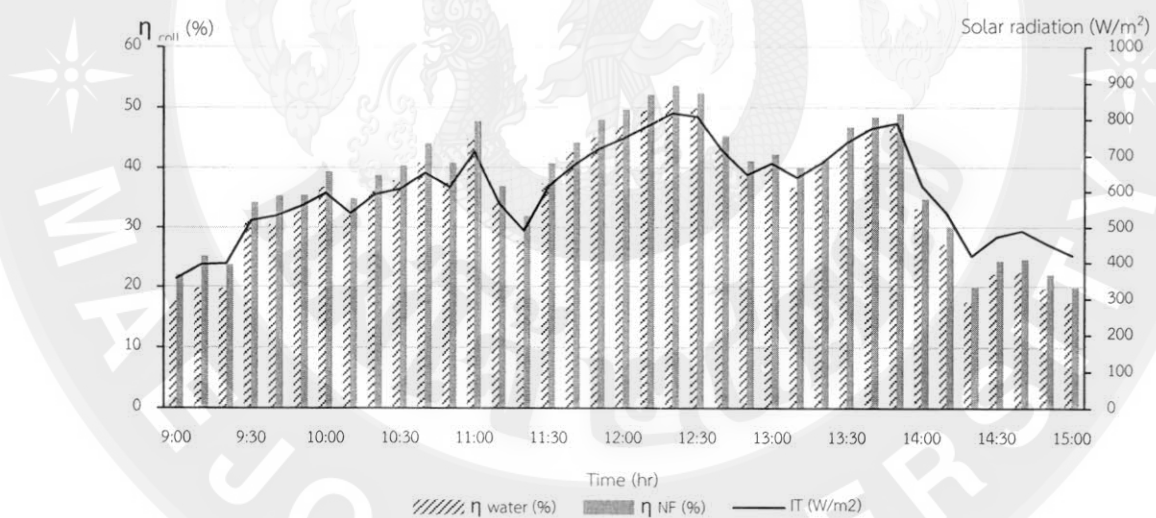
สูงกว่าน้ำซึ่งเป็นของไอลูฐานซึ่งมีค่าสูงกว่าน้ำเท่ากับ 2.34 % 3.50 % และ 4.67 % เมื่อสารทำงานนาโน มีค่าความเข้มข้นเท่ากับ 0.050 %wt 0.075 %wt และ 0.100 %wt ตามลำดับ โดยการสูงขึ้นของสมบัติ ดังกล่าวนั้นส่งผลต่อความสามารถในการถ่ายเทความร้อนของสารทำงานในรูปแบบของการนำความร้อน (Heat Conduction) และจากการคำนวณค่าสัมประสิทธิ์การพาความร้อน (h) ด้วยค่าอัตราการไข่ช่วงที่ใช้ทดสอบตามสมการที่ 12 พบร้าเกิดการไหลแบบราบเรียบ (Laminar Flow) ทำให้การปรับเปลี่ยนค่าอัตราการไหลในงานวิจัยนี้ไม่ส่งผลต่อการเปลี่ยนแปลงของค่าสัมประสิทธิ์การพาความร้อน (h) โดยค่าดังกล่าว จะแปรผันตามค่าสัมประสิทธิ์การนำความร้อน (k) ของสารทำงานโดยตรงซึ่งเป็นผลจากการเปลี่ยนแปลง ค่าความเข้มข้นของอนุภาคนาโนที่ทำการผสมทำให้ค่าสัมประสิทธิ์การพาความร้อนของของไอลูนานูสูง กว่าน้ำเท่ากับ ค่าสูงกว่าน้ำเท่ากับ 2.34 % 3.50 % และ 4.67 % เมื่อสารทำงานนาโนมีค่าความเข้มข้น เท่ากับ 0.050 %wt 0.075 %wt และ 0.100 %wt ตามลำดับเช่นกัน จากการเพิ่มขึ้นของสมบัติทั้งสอง ดังกล่าวข้างต้นจึงสามารถวิเคราะห์ได้ว่าการผสมอนุภาคนาโนสามารถเพิ่มสมบัติด้านการถ่ายเทความร้อน ของสารทำงานได้และส่งผลต่อความสามารถในการถ่ายเทความร้อนของสารทำงานที่ดีขึ้น ทำให้ของไอลู นาโนกราฟีนในงานวิจัยนี้มีความสามารถถ่ายเทความร้อนที่ได้รับจากรังสีอาทิตย์สูงน้ำร้อนภายในห้องกักเก็บได้ ดีกว่าน้ำจึงทำให้ประสิทธิภาพของระบบที่ใช้สารทำงานนาโนกราฟีนสูงกว่าระบบที่ใช้น้ำเป็นสารทำงาน เช่นกัน

ประสิทธิภาพของตัวเก็บรังสีอาทิตย์

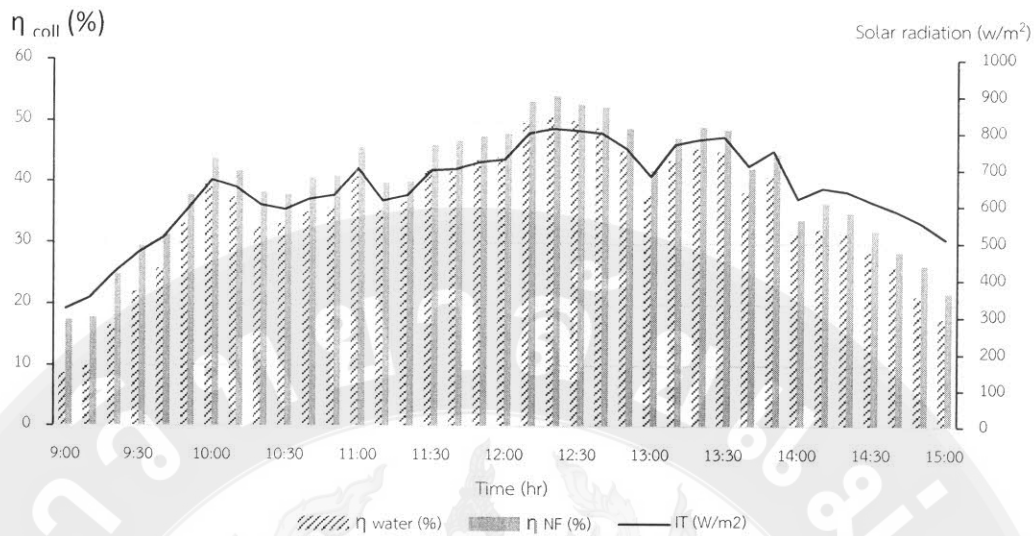
การทดสอบประสิทธิภาพของตัวเก็บรังสีอาทิตย์แบบร่างพาราโบลิกตันแบบในงานวิจัยนี้ได้แบ่งออกเป็น 2 ระบบ ได้แก่ 1) ระบบที่ใช้น้ำเป็นสารทำงาน และ 2) ระบบที่ใช้ของไอลูนานูกราฟีนที่มีค่าความเข้มข้น 0.050 %wt 0.075 %wt และ 0.100 %wt เป็นสารทำงานตามลำดับ ทำการปรับเปลี่ยนค่าอัตราการไหลของสารทำงานของทั้งสองระบบให้ค่าเท่ากันที่ 1.0 LPM 1.5 LPM และ 2.0 LPM เก็บข้อมูลค่าพารามิเตอร์ของระบบทุก 10 min ภายใต้สภาพแวดล้อมเดียวกัน และวัดข้อมูลที่ได้มาสร้างความสัมพันธ์ระหว่างค่าความเข้มรังสีอาทิตย์กับค่าประสิทธิภาพของตัวเก็บรังสีอาทิตย์ตันแบบที่ใช้สารทำงานสองชนิดดังกล่าวข้างต้น โดยผลการทดสอบมีรายละเอียดดังภาพที่ 27 ถึงภาพที่ 35



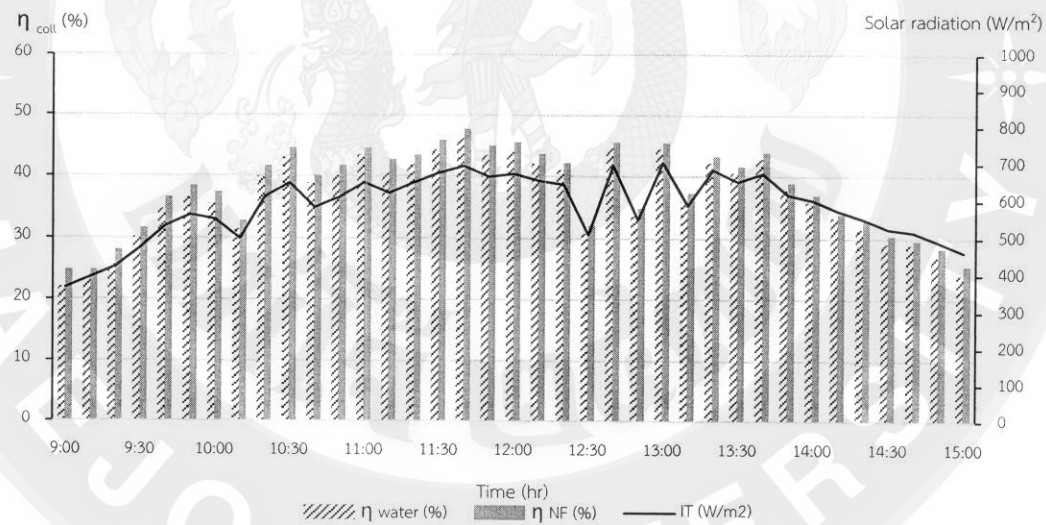
ภาพที่ 27 ผลการทดสอบเมื่อใช้ค่าความเข้มข้นของสารทำงานนานาใน 0.050 %wt
อัตราการไอล 1.0 LPM



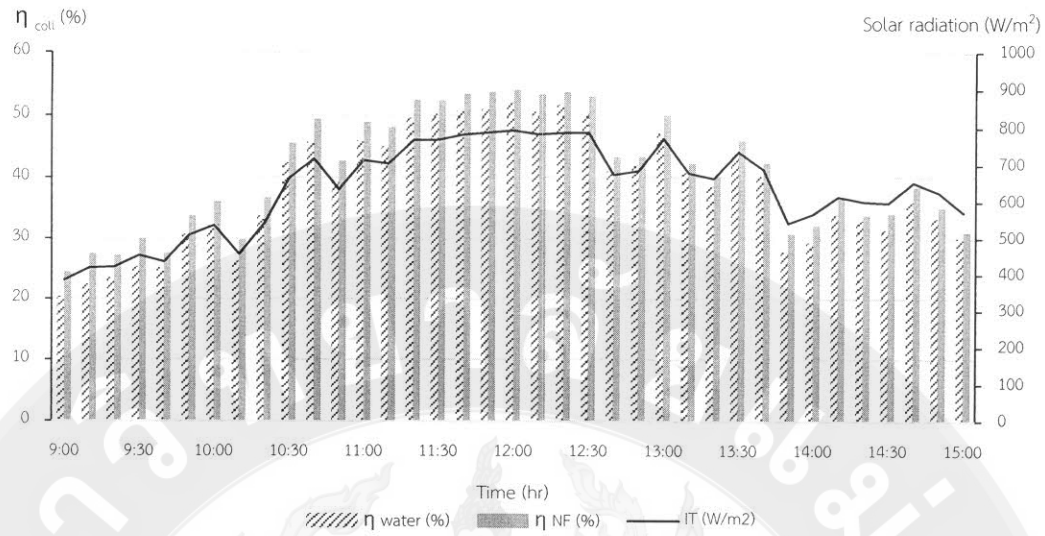
ภาพที่ 28 ผลการทดสอบเมื่อใช้ค่าความเข้มข้นของสารทำงานนานาใน 0.050 %wt
อัตราการไอล 1.5 LPM



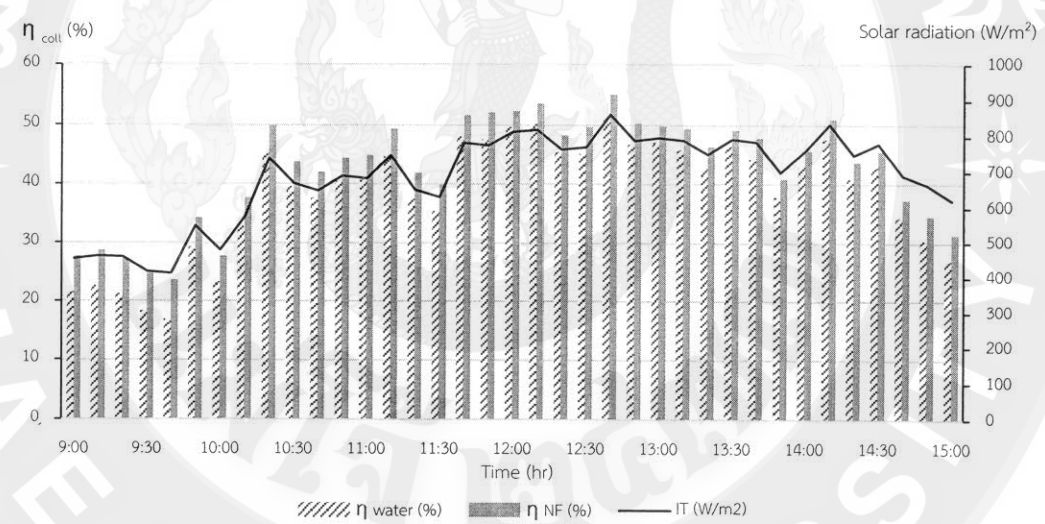
ภาพที่ 29 ผลการทดสอบเมื่อใช้ค่าความเข้มข้นของสารทำงานใน 0.050 %wt
อัตราการไหล 2.0 LPM



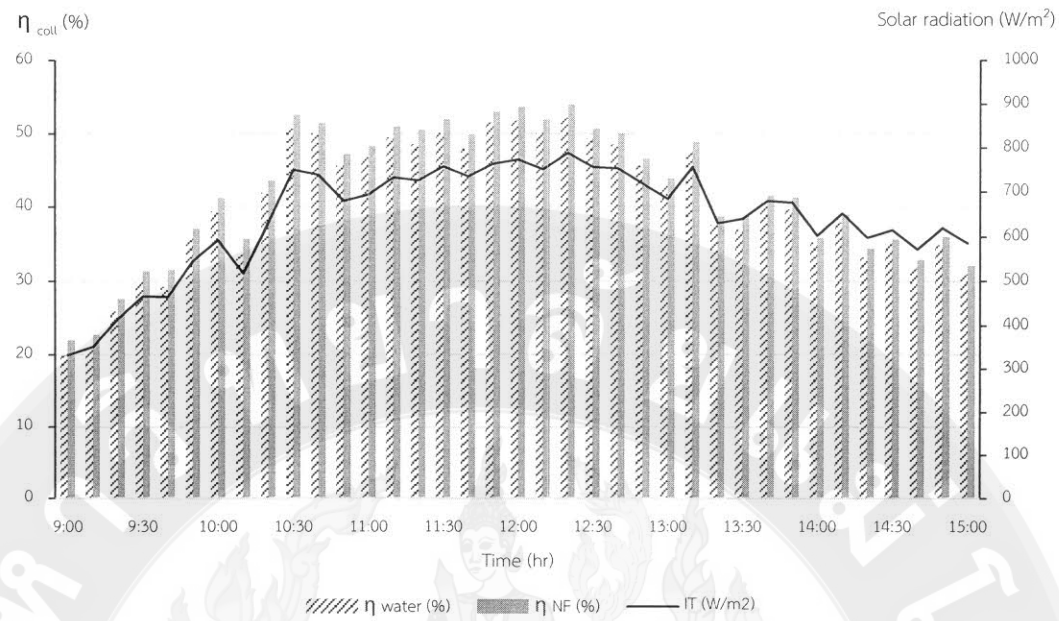
ภาพที่ 30 ผลการทดสอบเมื่อใช้ค่าความเข้มข้นของสารทำงานใน 0.075 %wt
อัตราการไหล 1.0 LPM



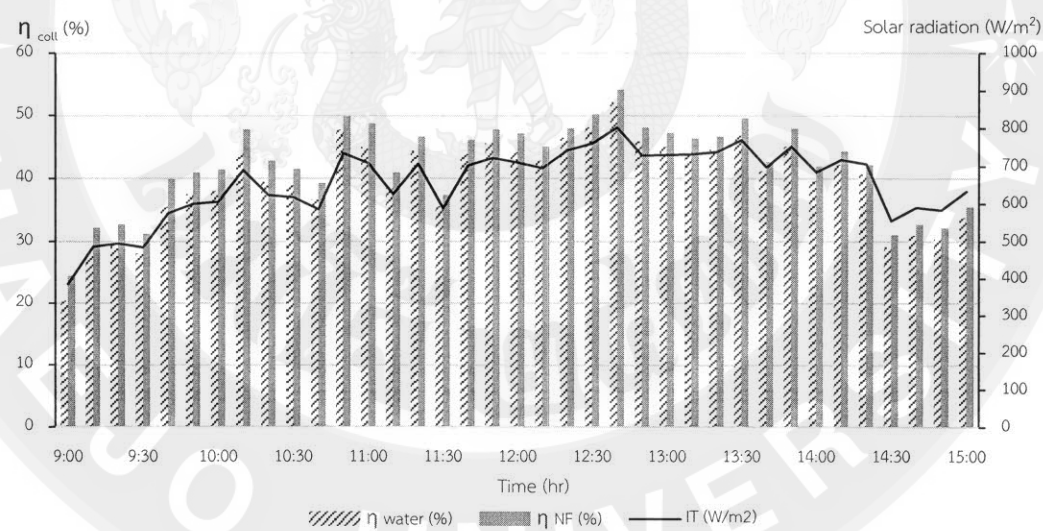
ภาพที่ 31 ผลการทดสอบเมื่อใช้ค่าความเข้มข้นของสารทำงานนาโน 0.075 %wt
อัตราการไหล 1.5 LPM



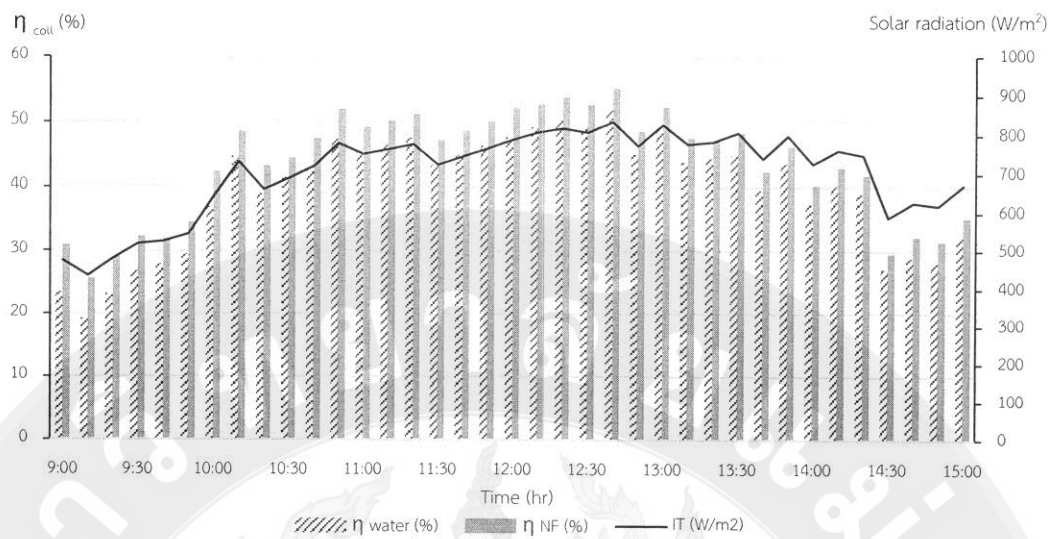
ภาพที่ 32 ผลการทดสอบเมื่อใช้ค่าความเข้มข้นของสารทำงานนาโน 0.075 %wt
อัตราการไหล 2.0 LPM



ภาพที่ 33 ผลการทดสอบเมื่อใช้ค่าความเข้มข้นของสารทำงานนาโน 0.100 %wt
อัตราการไหล 1.0 LPM



ภาพที่ 34 ผลการทดสอบเมื่อใช้ค่าความเข้มข้นของสารทำงานนาโน 0.100 %wt
อัตราการไหล 1.5 LPM



ภาพที่ 35 ผลการทดสอบเมื่อใช้ค่าความเข้มข้นของสารทำงานนาโน 0.100 %wt
อัตราการไหล 2.0 LPM

จากภาพที่ 27 ถึง 35 จะเห็นได้ว่าค่าประสิทธิภาพของตัวเก็บรังสีอาทิตย์ทั้งแบบใช้น้ำและใช้ของไอลานาโนเป็นสารทำงานจะมีค่าแปรผันตามค่าความเข้มข้นของรังสีอาทิตย์ กล่าวคือ เมื่อค่ารังสีอาทิตย์มีความเข้มสูงค่าประสิทธิภาพของตัวเก็บรังสีอาทิตย์ก็จะสูงตามไปด้วย โดยจะสังเกตได้ว่าค่าประสิทธิภาพของตัวเก็บรังสีอาทิตย์ตันแบบที่ใช้สารทำงานนาโนจะมีค่าสูงกว่าค่าประสิทธิภาพของตัวเก็บรังสีอาทิตย์ตันแบบที่ใช้น้ำเป็นสารทำงาน ทั้งนี้เกิดจากระบบที่ใช้สารทำงานนาโนซึ่งมีสมบัติด้านค่าสัมประสิทธิ์การนำความร้อน (k) และค่าสัมประสิทธิ์การพาความร้อน (h) ที่ดีกว่าน้ำจึงทำให้มีการทำงานที่สภาวะแวดล้อมเดียวกันคือที่ค่าความเข้มรังสีอาทิตย์เท่ากันและอุณหภูมิแวดล้อมเท่ากันระบบที่ใช้สารทำงานนาโนจะมีค่าผลต่างอุณหภูมิของสารทำงานทางเข้า (T_f) และทางออก (T_{f0}) ตัวเก็บรังสีอาทิตย์สูงกว่าระบบที่ใช้น้ำ ซึ่งในช่วงเริ่มต้นการทดสอบความแตกต่างของอุณหภูมิของทั้งสองระบบจะแตกต่างกันอย่างมาก เมื่อเวลาผ่านไปผลต่างของอุณหภูมิจะเริ่มชัดเจน และเมื่อเข้าสู่ช่วงเที่ยงวันค่าอุณหภูมิของทั้งสองระบบจะแตกต่างกันอย่างชัดเจน จากผลต่างอุณหภูมิที่สูงกว่าดังกล่าว เมื่อนำข้อมูลมาคำนวณค่าอัตราการถ่ายเทคความที่ตัวเก็บรังสี (Q_{coll}) จึงทำให้ตัวเก็บรังสีอาทิตย์ที่ใช้สารทำงานนาโน มีค่าอัตราการถ่ายเทคความที่สูงกว่าระบบที่ใช้น้ำเป็นสารทำงานในทุกรุ่นทดสอบ ทำให้ตัวเก็บรังสีอาทิตย์ที่ใช้สารทำงานนาโนมีค่าประสิทธิภาพที่สูงกว่าด้วย โดยตัวเก็บรังสีอาทิตย์ในงานวิจัยนี้มีประสิทธิภาพสูงสุดเท่ากับ 55.16 % เมื่อใช้สารทำงานนาโนเข้มข้น 0.100 %wt ที่อัตราการไหลเชิงปริมาตรเท่ากับ 2.0 LPM ซึ่งสูงกว่ากรณีใช้น้ำเท่ากับ 3.36 % โดยมีค่าประสิทธิภาพเฉลี่ยตลอดวันที่ทำการทดสอบเท่ากับ 43.59 % สูงกว่าระบบที่ใช้น้ำเท่ากับ 3.88 % ในทำนองเดียวกันเมื่อพิจารณาเงื่อนไข

การทดสอบอื่นก็พบว่าระบบที่ใช้สารทำงานนานาโน้มีค่าประสิทธิภาพเฉลี่ยตลอดวันสูงกว่าระบบที่ใช้น้ำ เป็นสารทำงานในทุกค่าความเข้มข้นและค่าอัตราการให้เลเชิงปริมาตร ผลการคำนวณค่าประสิทธิภาพของตัวเก็บรังสีอาทิตย์ตันแบบในงานวิจัยนี้แสดงดังตารางที่ 8

ตารางที่ 8 ค่าประสิทธิภาพของตัวเก็บรังสีอาทิตย์ตันแบบ

สารทำงาน	อัตราการ ให้เล	T_s		Q_{coll} (W)		Q_s (J)		η_{coll} (%)		η_{sys} (%)		
		MAX	Avg	MAX	Avg	MAX	Avg	MAX	Avg	MAX	Avg	
0.050 %wt	นาโน	1.0	41.7	35.5	662.89	446.39	418,600	276,741	47.69	37.50	59.83	39.02
		1.5	42.7	36.0	879.21	482.60	502,320	299,997	53.74	37.91	61.60	39.85
		2.0	43.8	36.1	879.21	532.58	502,320	337,206	54.14	39.57	62.41	42.22
0.075 %wt	นาโน	1.0	41.7	35.6	662.92	454.52	418,600	276,741	47.69	37.98	63.42	38.81
		1.5	44.0	36.5	858.34	542.90	502,320	330,229	53.98	40.94	64.24	41.64
		2.0	45.8	36.9	909.05	605.42	586,040	369,763	54.99	42.55	65.12	43.56
0.100 %wt	นาโน	1.0	44.3	36.7	851.42	559.63	502,320	334,880	53.96	42.01	64.94	41.74
		1.5	44.6	36.8	868.85	567.25	502,320	341,857	54.14	42.34	65.85	42.52
		2.0	46.0	37.2	921.21	630.36	502,320	351,159	55.16	43.59	68.14	44.08

จากการทดสอบตัวเก็บรังสีอาทิตย์แบบร่างพาราโบลิกสำหรับระบบผลิตน้ำร้อนตันแบบพบว่า ค่าพารามิเตอร์ที่ส่งผลต่อประสิทธิภาพของตัวเก็บรังสีอาทิตย์คำนวณได้จากสัดส่วนพลังงานที่ระบบได้รับนั่นก็คือความร้อนจากรังสีอาทิตย์ และ ความร้อนที่สารทำงานได้รับ ($Q = \dot{m}c_p\Delta T$) ซึ่งเป็นความสัมพันธ์ระหว่างค่าอัตราการให้เลเชิงมวล (\dot{m}) ความจุความร้อนจำเพาะ (c_p) และค่าผลต่างของอุณหภูมิสารทำงาน ณ ทางเข้า-ออก ของห้องเก็บรังสี โดยผลของการผสมอนุภาคนาโนต่อกับสมบัติด้านกายภาพและสมบัติด้านความร้อนของสารทำงานที่ได้กล่าวข้างต้นพบว่า สารทำงานนาโนกราฟีนในงานวิจัยนี้มีค่าความจุความร้อนจำเพาะ (c_p) ลดลง แต่มีค่าความหนาแน่น (ρ) เพิ่มขึ้น ทำให้ค่าอัตราการให้เลเชิงมวล (\dot{m}) ของระบบที่ใช้สารทำงานนาโนสูงกว่าระบบที่ใช้น้ำเป็นสารทำงาน ทั้งนี้การเพิ่มขึ้นของค่าความหนาแน่น (ρ) จึงทำให้ค่าผลคูณของค่าอัตราการให้เลเชิงมวลของสารทำงานกับค่าความจุความร้อนจำเพาะ ($\dot{m}c_p$) ของระบบที่ใช้สารทำงานนาโนสูงกว่าระบบที่ใช้น้ำเล็กน้อย ดังนั้นพลังงานที่สารทำงานของห้องสองระบบได้รับ ($Q = \dot{m}c_p\Delta T$) จะแตกต่างกันเนื่องมาจากการค่าผลต่างของอุณหภูมิสารทำงาน ณ ทางเข้า-ออกของห้องเก็บรังสีเป็นหลัก และจากผลการทดสอบพบว่าระบบที่ใช้สารทำงานนาโนให้ผลต่างของอุณหภูมิดังกล่าวสูงกว่าระบบที่ใช้น้ำในทุกค่าความเข้มข้น และทุกค่าอัตราการให้เลเชิงมวล ทำให้ระบบที่ใช้สารทำงานนาโนมีประสิทธิภาพสูงกว่าระบบที่ใช้น้ำโดยค่าประสิทธิภาพสูงสุดของตัวเก็บรังสีอาทิตย์ตันแบบในงานวิจัยนี้เกิดขึ้นเมื่อตัวเก็บรังสีอาทิตย์ใช้

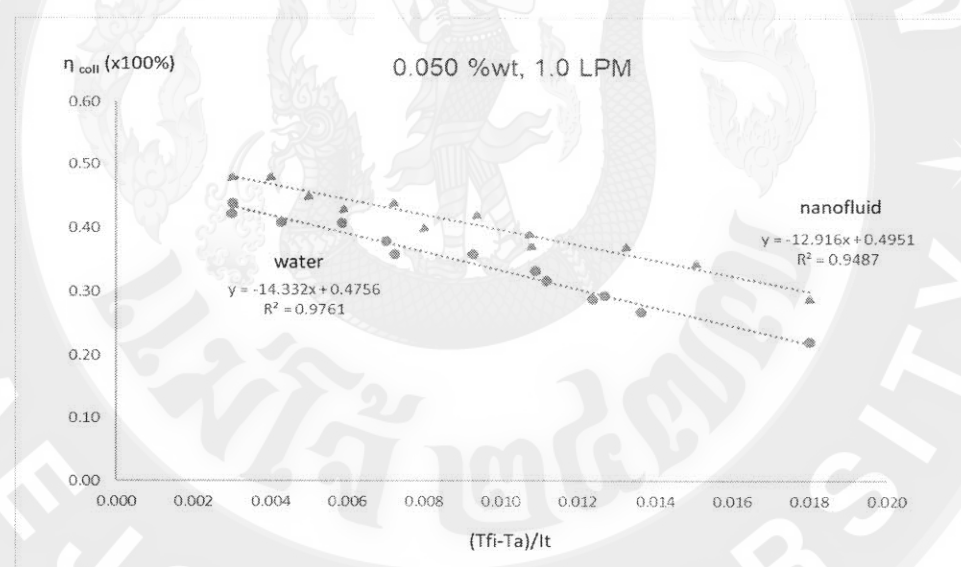
สารทำงานนาโนกราฟีนที่มีค่าความเข้มข้นและอัตราการไหลเชิงปริมาตรเท่ากับ 0.100 %wt และ 2.0 LPM ตามลำดับ

จากการทดสอบระบบผลิตน้ำร้อนตันแบบที่ใช้สารทำงานนาโนและน้ำในสภาวะการทดสอบเดียวกันจะเห็นได้ว่าอุณหภูมิ ณ จุดต่าง ๆ ของระบบทั้งสองจะแปรผันตามค่าความเข้มของรังสีอาทิตย์ (I_T) กล่าวคือ เมื่อรังสีอาทิตย์มีค่าความเข้มรังสีอาทิตย์สูงจะทำให้เกิดความแตกต่างของอุณหภูมิของสารทำงาน ณ ทางเข้าและออกท่อรับรังสีสูงขึ้นตามไปด้วย และเมื่ออุณหภูมิของสารทำงาน ณ ทางออกท่อรับรังสีสูงขึ้นจะทำให้อุณหภูมิของระบบทุกจุดสูงขึ้นตามไปด้วย เมื่อพิจารณาจากสมบัติของสารทำงานพบว่าระบบที่ใช้สารทำงานนาโนให้ค่าของอุณหภูมิ ณ จุดต่าง ๆ ของระบบสูงกว่าระบบที่ใช้น้ำเป็นสารทำงาน โดยความแตกต่างระหว่างอุณหภูมิของสารทำงานนาโนและน้ำใน ณ สภาวะอัตราการไหลเชิงปริมาตร (LPM) ค่าความเข้มรังสีอาทิตย์ (I_T) และอุณหภูมิสิ่งแวดล้อม (T_a) เดียวกันจะแปรผันตามค่าความเข้มข้นของสารทำงาน กล่าวคือ ยิ่งสารทำงานนาโนมีค่าความเข้มข้นสูงขึ้นจะยิ่งทำให้สารทำงานดังกล่าวมีอุณหภูมิสูงกว่าน้ำที่สภาวะการทดสอบเดียวกัน ทั้งนี้เพราะสมบัติด้านค่าสัมประสิทธิ์การนำความร้อน (k) และค่าสัมประสิทธิ์การพาความร้อน (h) ของสารทำงานนาโนที่มีค่าสูงขึ้นเนื่องจากความเข้มข้นของสารละลายและมีค่าสูงกว่าน้ำส่งผลให้การถ่ายเทความร้อนของสารทำงานตั้งกล่าวทำให้สารทำงานสามารถรับพลังงานความร้อนจากรังสีอาทิตย์ได้ดีกว่าน้ำ ดังนั้นการผสมอนุภาคนาโนกับน้ำที่ค่าความเข้มข้นสูงขึ้นจึงส่งผลดีต่อการเพิ่มประสิทธิภาพของระบบผลิตน้ำร้อนตันแบบอย่างมีนัยยะสำคัญ

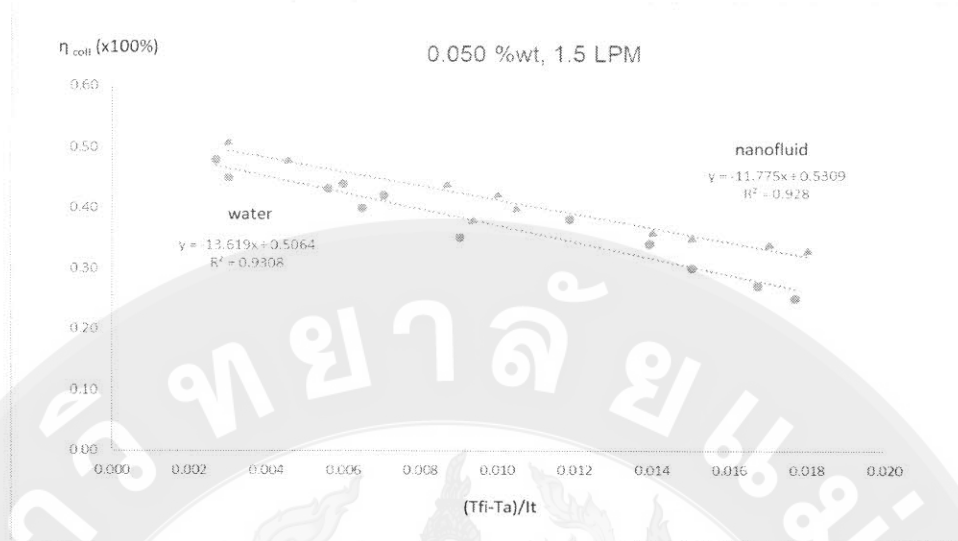
สมรรถนะของตัวเก็บรังสีอาทิตย์

จากการทดสอบตัวเก็บรังสีอาทิตย์แบบร่างพาราโบลิกสำหรับระบบผลิตน้ำร้อนตันแบบเพื่อทราบค่าพารามิเตอร์ต่าง ๆ เมื่อนำความสัมพันธ์ของค่า η_{coll} และ $\frac{(T_k - T_a)}{I_T}$ จะได้สมการเส้นตรงที่มีความชันเท่ากับค่า $F_R U_L$ และค่าบนแกน y (แกน η_{coll}) คือค่า $F_R (\tau\alpha)_e$ ซึ่งกราฟเส้นดังกล่าวคือเส้นแสดงสมรรถนะของตัวเก็บรังสีอาทิตย์ในกรณีทดสอบต่าง ๆ โดยจากการสร้างกราฟเส้นตรงที่เกิดจากความสัมพันธ์ดังกล่าวข้างต้น พบว่าตัวเก็บรังสีอาทิตย์แบบที่ใช้สารทำงานนาโนจะมีสมรรถนะสูงกว่ากรณีใช้น้ำเป็นสารทำงานที่ค่าอัตราการไหลเชิงปริมาตรเท่ากัน ซึ่งกรณีกำหนดค่าอัตราการไหลเชิงปริมาตรของสารทำงานเท่ากับ 1.00 LPM ตัวเก็บรังสีอาทิตย์ตันแบบที่ใช้สารทำงานนาโนความเข้มข้น 0.050 %wt 0.075 %wt และ 0.100 %wt จะมีค่า $F_R (\tau\alpha)_e$ สูงกว่ากรณีใช้น้ำเป็นสารทำงานที่สภาวะทดสอบเดียวกันเท่ากับ 4.10 % 10.37 % และ 11.30 % ตามลำดับ และมีค่า $F_R U_L$ ต่ำกว่ากรณีใช้น้ำเป็นสารทำงานที่สภาวะทดสอบเดียวกันเท่ากับ 9.88 % 18.50 % และ 24.78 % ตามลำดับ และเมื่อ

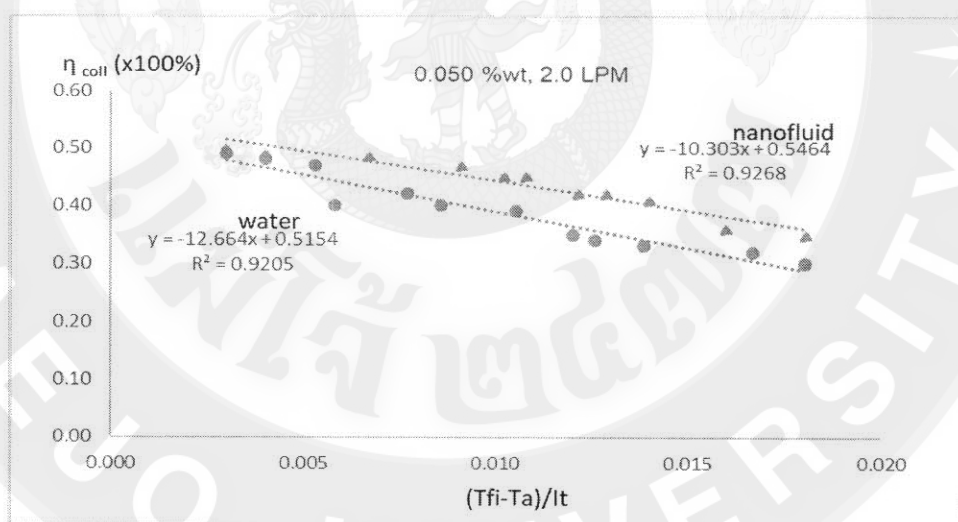
ปรับค่าอัตราการไหลเชิงปริมาตรของสารทำงานเท่ากับ 1.50 LPM ตัวเก็บรังสีอาทิตย์ตันแบบที่ใช้สารทำงานนาโนความเข้มข้น 0.050 %wt 0.075 %wt และ 0.100 %wt จะมีค่า $F_R(\tau\alpha)_e$ สูงกว่ากรณีใช้น้ำเป็นสารทำงานที่สภาวะทดสอบเดียวกันเท่ากับ 4.84 % 10.42 % และ 11.84 % ตามลำดับ และมีค่า $F_R U_L$ ต่ำกว่ากรณีใช้น้ำเป็นสารทำงานที่สภาวะทดสอบเดียวกันเท่ากับ 13.54 % 21.59 % และ 29.99 % ตามลำดับ ในทำนองเดียวกัน เมื่อปรับค่าอัตราการไหลเชิงปริมาตรของสารทำงานเท่ากับ 2.00 LPM ตัวเก็บรังสีอาทิตย์ตันแบบที่ใช้สารทำงานนาโนความเข้มข้น 0.050 %wt 0.075 %wt และ 0.100 %wt จะมีค่า $F_R(\tau\alpha)_e$ สูงกว่ากรณีใช้น้ำเป็นสารทำงานที่สภาวะทดสอบเดียวกันเท่ากับ 6.01 % 11.02 % และ 12.70 % ตามลำดับ และมีค่า $F_R U_L$ ต่ำกว่ากรณีใช้น้ำเป็นสารทำงานที่สภาวะทดสอบเดียวกันเท่ากับ 18.64 % 25.31 % และ 33.01 % ตามลำดับ จะผลการทดสอบดังกล่าวจะเห็นได้ว่าการใช้สารทำงานนาโนกับตัวเก็บรังสีตันแบบทำให้ค่า $F_R(\tau\alpha)_e$ สูงกว่า และค่า $F_R U_L$ ต่ำกว่ากรณีใช้น้ำเป็นสารทำงาน โดยผลของค่าสมรรถนะของตัวเก็บรังสีอาทิตย์แสดงดังภาพที่ 36 ถึง 44 ตามลำดับ



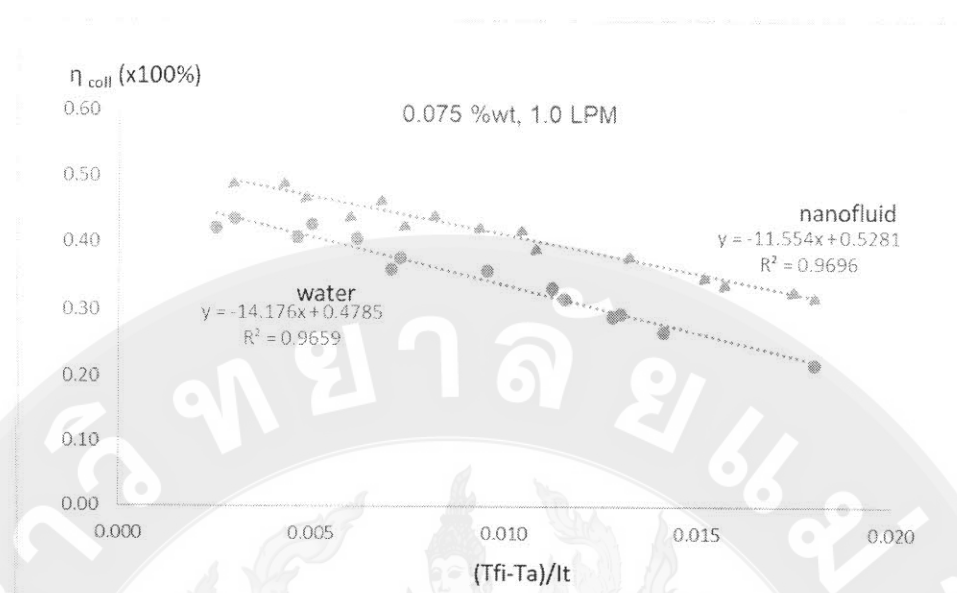
ภาพที่ 36 สมรรถนะของตัวเก็บรังสีอาทิตย์แบบร่างพาราโบลิก กรณีใช้ของไนโตรานาโนกราฟีนที่ความเข้มข้น 0.050 %wt และน้ำเป็นสารทำงาน ที่อัตราการไหล 1.0 LPM



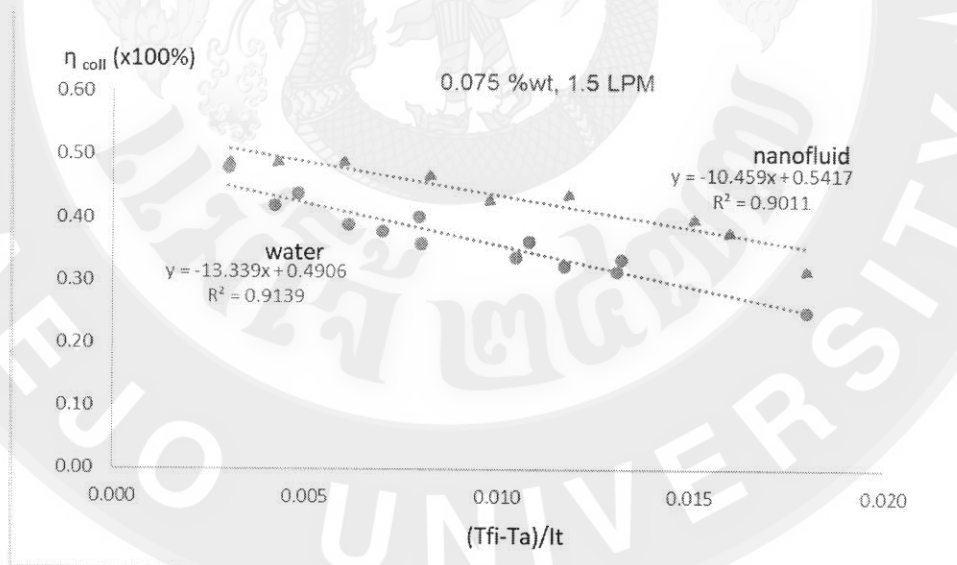
ภาพที่ 37 สมรรถนะของตัวเก็บรังสีอุ่นทิศแบบร่างพาราโบลิก กรณีใช้
ของไอลานาโนกราฟินที่ความเข้มข้น 0.050 %wt และน้ำ
เป็นสารทำงาน ที่อัตราการไหล 1.5 LPM



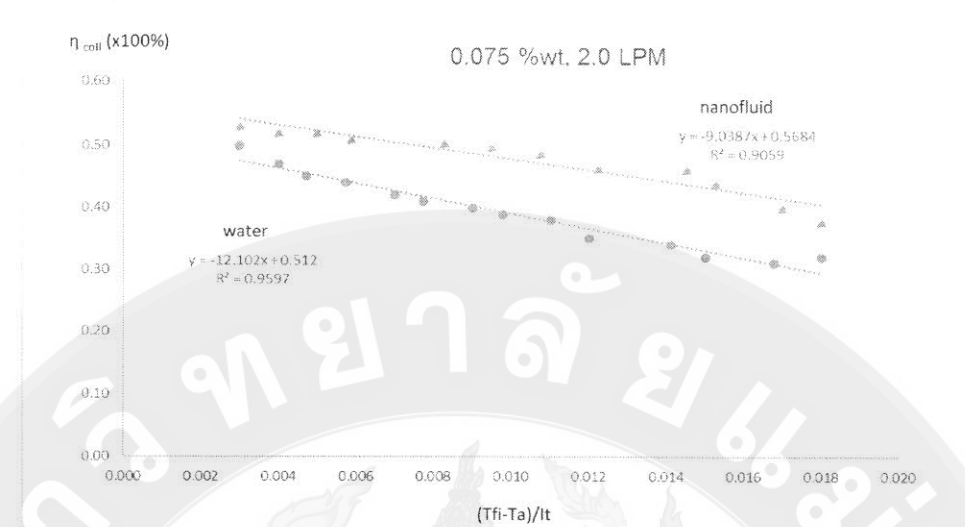
ภาพที่ 38 สมรรถนะของตัวเก็บรังสีอุ่นทิศแบบร่างพาราโบลิก กรณีใช้
ของไอลานาโนกราฟินที่ความเข้มข้น 0.050 %wt และน้ำ
เป็นสารทำงาน ที่อัตราการไหล 2.0 LPM



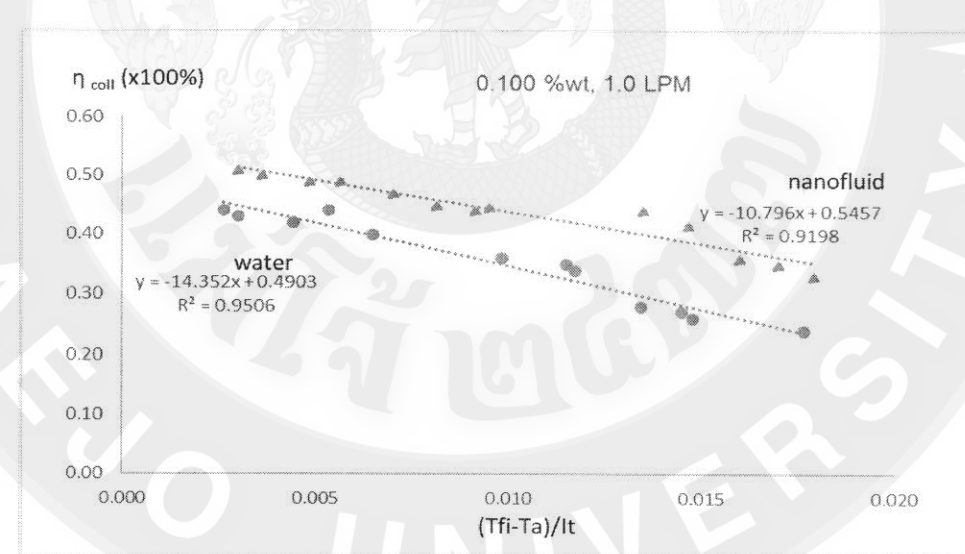
ภาพที่ 39 สมรรถนะของตัวเก็บรังสีอาทิตย์แบบร่างพาราโบลิก กรณีใช้ ของไอลานาโนกราฟินที่ความเข้มข้น 0.075 %wt และน้ำ เป็นสารทำงาน ที่อัตราการไหล 1.0 LPM



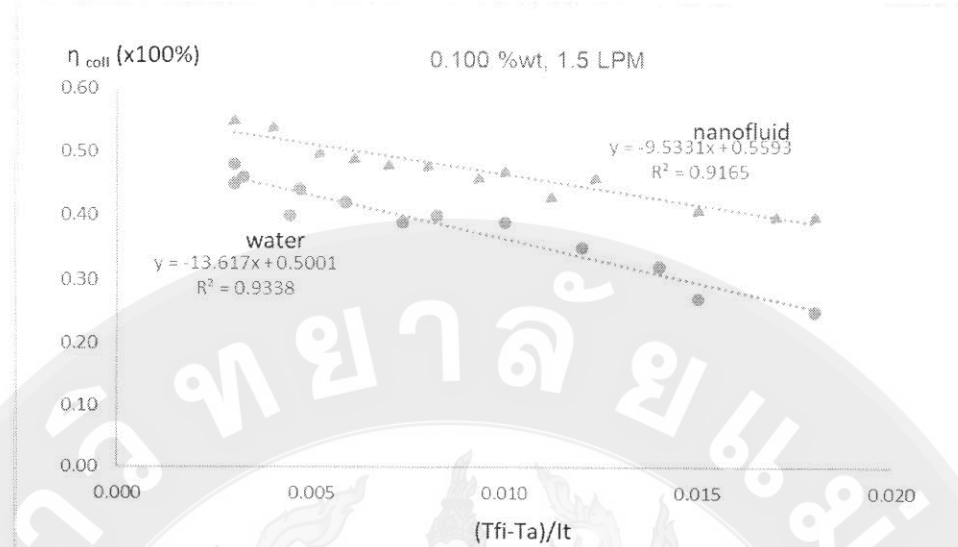
ภาพที่ 40 สมรรถนะของตัวเก็บรังสีอาทิตย์แบบร่างพาราโบลิก กรณีใช้ ของไอลานาโนกราฟินที่ความเข้มข้น 0.075 %wt และน้ำ เป็นสารทำงาน ที่อัตราการไหล 1.5 LPM



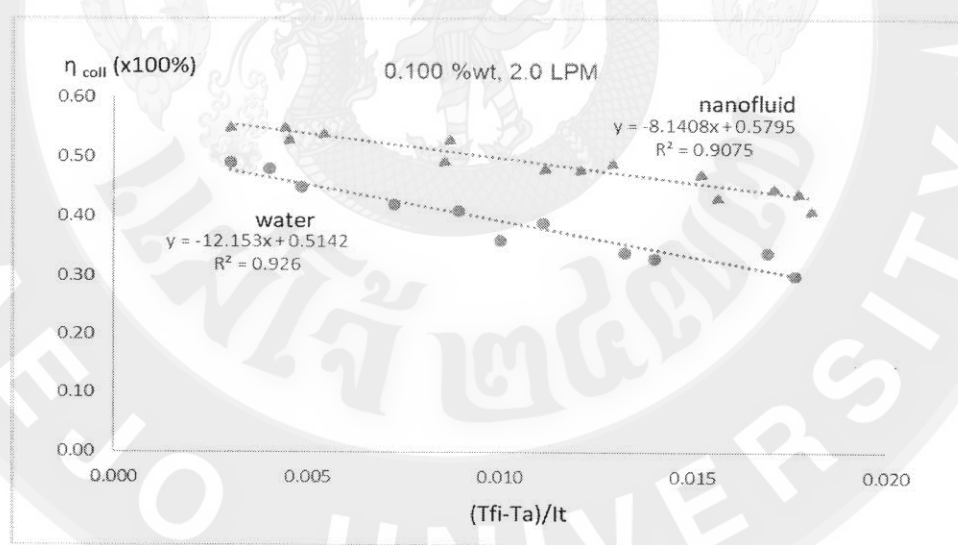
ภาพที่ 41 สมรรถนะของตัวเก็บรังสีอาทิตย์แบบบรรพาราโบลิก กรณีใช้
ของไอลานาโนกราฟินที่ความเข้มข้น 0.075 %wt และน้ำ^๔
เป็นสารทำงาน ที่อัตราการไหล 2.0 LPM



ภาพที่ 42 สมรรถนะของตัวเก็บรังสีอาทิตย์แบบบรรพาราโบลิก กรณีใช้
ของไอลานาโนกราฟินที่ความเข้มข้น 0.100 %wt และน้ำ^๔
เป็นสารทำงาน ที่อัตราการไหล 1.0 LPM



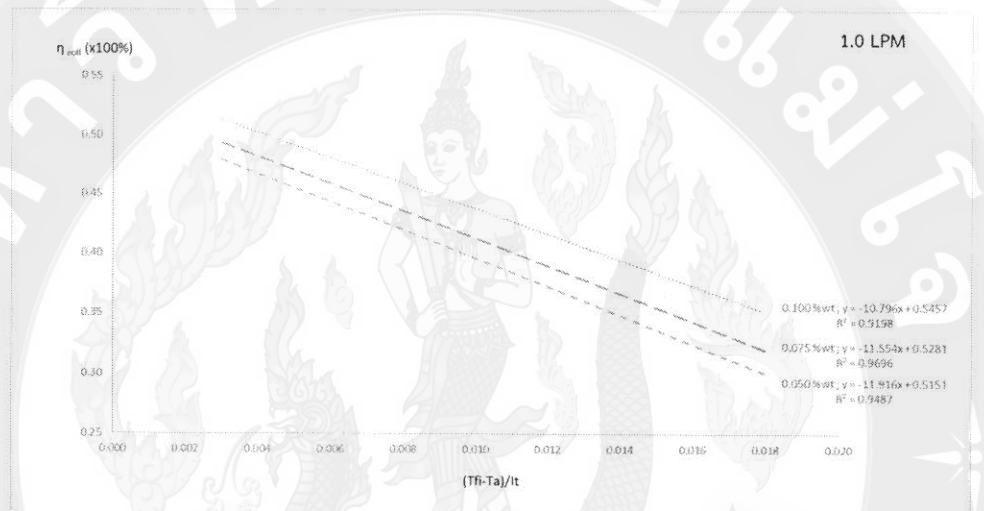
ภาพที่ 43 สมรรถนะของตัวเก็บรังสีอาทิตย์แบบร่างพาราโบลิก กรณีใช้ของไอลานโนกราฟินที่ความเข้มข้น 0.100 %wt และน้ำ เป็นสารทำงาน ที่อัตราการไหล 1.5 LPM



ภาพที่ 44 สมรรถนะของตัวเก็บรังสีอาทิตย์แบบร่างพาราโบลิก กรณีใช้ของไอลานโนกราฟินที่ความเข้มข้น 0.100 %wt และน้ำ เป็นสารทำงาน ที่อัตราการไหล 2.0 LPM

จากผลการทดสอบสมรรถนะของตัวเก็บรังสีอาทิตย์แบบร่างพาราโบลิกตันแบบดังภาพที่ 38 ถึง 46 พบร่วมกันว่าตัวเก็บรังสีอาทิตย์ที่ใช้สารทำงานนานาในมีค่าสมรรถนะที่สูงกว่าการใช้น้ำเป็นสารทำงานในทุกรายการทดสอบ โดยพบว่ากรณีใช้สารทำงานนานาในกราฟินความเข้มข้น 0.100 %wt ที่อัตราการไหล

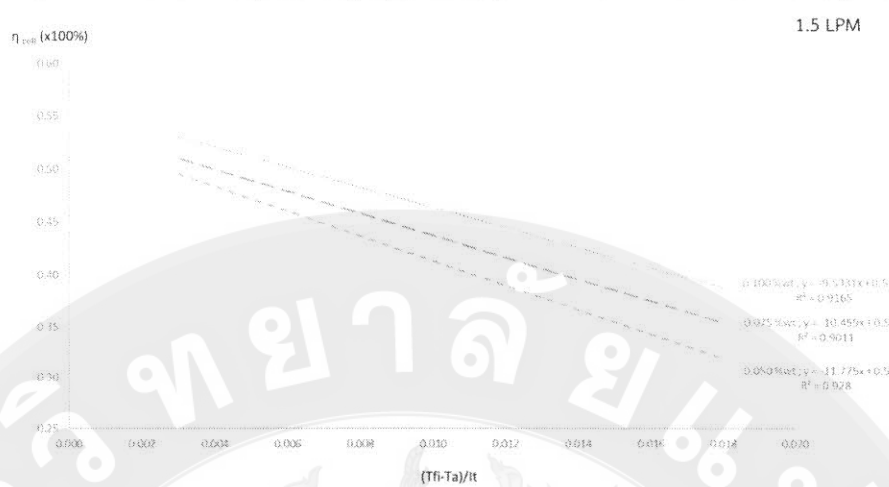
เท่ากับ 2.0 LPM ตัวเก็บรังสีออาทิตย์ตันแบบจะให้ค่าสมรรถนะสูงสุด โดยมีค่า $F_R(\tau\alpha)_e$ เท่ากับ 0.5795 สูงกว่ากรณีใช้น้ำในสภาวะทดสอบเดียวกันเท่ากับ 12.70 % และมีค่า $F_R U_L$ เท่ากับ 8.1408 ต่ำกว่ากรณีใช้น้ำในสภาวะทดสอบเดียวกันเท่ากับ 33.01 % จึงกล่าวได้ว่าการใช้สารทำงานนานาโนสามารถเพิ่มสมรรถนะให้กับตัวเก็บรังสีออาทิตย์ได้ โดยเมื่อพิจารณาการเปลี่ยนแปลงค่าความเข้มข้นของสารทำงานจะพบว่าสารทำงานนานาโนที่มีค่าความเข้มข้นสูงขึ้นสามารถเพิ่มสมรรถนะให้กับตัวเก็บรังสีออาทิตย์ได้มากขึ้นในทุกค่าอัตราการไฟล์ทดสอบดังภาพที่ 45 ถึง 47



ภาพที่ 45 สมรรถนะของตัวเก็บรังสีออาทิตย์แบบร่างพาราโบลิก กรณีใช้ของไนโตรานาโนกราฟีนที่ความเข้มข้น 0.050 %wt

0.075 %wt และ 0.100 %wt

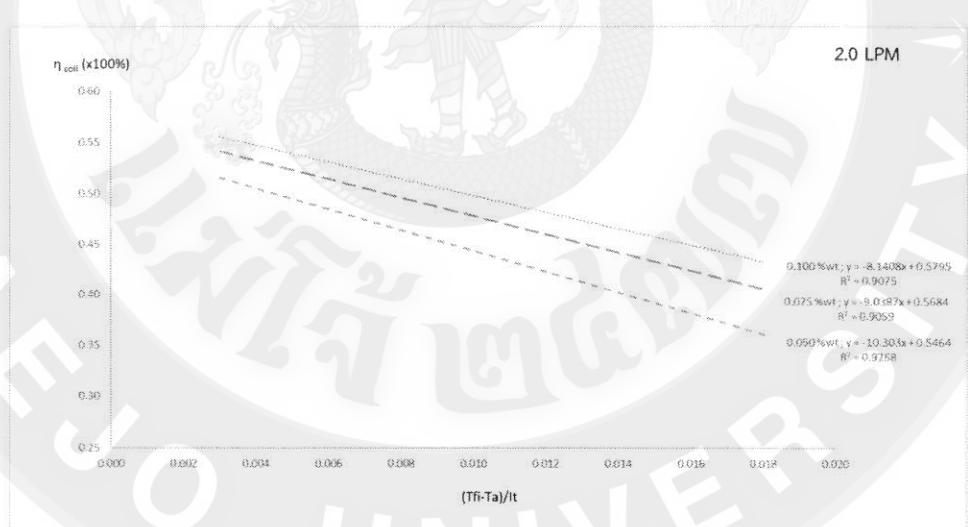
ที่อัตราการไฟล์ 1.0 LPM



ภาพที่ 46 สมรรถนะของตัวเก็บรังสีอาทิตย์แบบร่างพาราโบลิก กรณีใช้ของไนโตรอนกราฟีนที่ความเข้มข้น 0.050 %wt

0.075 %wt และ 0.100 %wt

ที่อัตราการไหล 1.5 LPM



ภาพที่ 47 สมรรถนะของตัวเก็บรังสีอาทิตย์แบบร่างพาราโบลิก กรณีใช้ของไนโตรอนกราฟีนที่ความเข้มข้น 0.050 %wt

0.075 %wt และ 0.100 %wt

ที่อัตราการไหล 2.0 LPM

จากภาพที่ 45 ถึง 47 จะเห็นได้ว่าค่าความเข้มข้นของสารทำงานนาโนส่งผลต่อค่าสมรรถนะของตัวเก็บรังสีอาทิตย์ตันแบบอย่างมีนัยยะสำคัญ ทั้งนี้ เพราะสารทำงานนาโนที่มีความเข้มข้นสูงขึ้นจะ

มีสมบัติด้านค่าสัมประสิทธิ์การนำความร้อน (k) และค่าสัมประสิทธิ์การพาความร้อน (h) ที่สูงขึ้นด้วยทำให้สารทำงานดังกล่าวสามารถถ่ายเทความร้อนที่ได้รับจากรังสีอาทิตย์ได้กว่าสารทำงานโนโน่ที่มีความเข้มข้นต่ำกว่า โดยค่าสมรรถนะของตัวเก็บรังสีอาทิตย์ตันแบบในงานวิจัยนี้ มีค่าดังตารางที่ 9

ตารางที่ 9 ค่าสมรรถนะของตัวเก็บรังสีอาทิตย์ตันแบบ

อัตราการไหล	สารทำงาน	$F_R U_L$	เทียบกันน้ำ (%)	$F_R (\tau\alpha)_e$	เทียบกันน้ำ (%)
1.0 LPM	น้ำ	14.332		0.4756	
	นาโน 0.050 %wt	12.916	-9.88	0.4951	+4.10
	น้ำ	14.176		0.4785	
	นาโน 0.075 %wt	11.554	-18.50	0.5281	+10.37
	น้ำ	14.352		0.4903	
	นาโน 0.100 %wt	10.796	-24.78	0.5457	+11.30
1.5 LPM	น้ำ	13.619		0.5064	
	นาโน 0.050 %wt	11.775	-13.54	0.5309	+4.84
	น้ำ	13.339		0.4906	
	นาโน 0.075 %wt	10.459	-21.59	0.5417	+10.42
	น้ำ	13.617		0.5001	
	นาโน 0.100 %wt	9.5331	-29.99	0.5593	+11.84
2.0 LPM	น้ำ	12.664		0.5154	
	นาโน 0.050 %wt	10.303	-18.64	0.5464	+6.01
	น้ำ	12.102		0.5120	
	นาโน 0.075 %wt	9.0387	-25.31	0.5684	+11.02
	น้ำ	12.153		0.5142	
	นาโน 0.100 %wt	8.1408	-33.01	0.5795	+12.70

จากตารางที่ 9 จะเห็นได้ว่าความแตกต่างของค่า $F_R (\tau\alpha)_e$ ในกรณีใช้ค่าอัตราการไหลทดสอบโดยภายนอกจากชนิดของสารทำงานที่แตกต่างกัน โดยสมบัติด้านค่าสัมประสิทธิ์การนำความร้อน (k) และค่าสัมประสิทธิ์การพาความ (h) ที่สูงกว่าของสารทำงานโนโน่ทำให้สามารถส่งผ่านและดูดกลืนพลังงานความร้อนจากรังสีอาทิตย์ได้กว่าน้ำ และเมื่อพิจารณาค่า $F_R U_L$ ก็จะเห็นถึงความแตกต่างของการใช้สารทำงานทั้งสองชั้นกัน โดยกรณีใช้สารทำงานโนโน่จะมีการสูญเสียความร้อนต่ำกว่าการใช้น้ำเนื่องจากสารทำงานโนโน่มีสมบัติทางความร้อนที่ดีกว่า ทำให้สารดังกล่าวดูดกลืนความร้อนจากผนังท่อรับรังสีได้กว่าน้ำ ส่งผลให้ระบบที่ใช้อยู่ในเครื่องมืออุณหภูมิของสารทำงาน ณ ทางออกของท่อรับรังสีสูงกว่าระบบที่ใช้น้ำ ด้วยสมบัติทางความร้อนดังกล่าวแม้อุณหภูมิของสารทำงานโนโน่ภายในท่อจะสูงกว่าแต่ก็ไม่ทำให้อุณหภูมิที่ผ่านท่อรับรังสีแตกต่างจากระบบที่ใช้น้ำเป็นสารทำงาน เพราะสารทำงานโนโน่ได้ดูดซับและส่งถ่ายพลังงาน

ความร้อนจากผิวท่อเด็กว่าน้ำ ทำให้ค่าผลต่างของอุณหภูมิผิวท่อและอุณหภูมิสิ่งแวดล้อมของระบบที่ใช้สารทำงานทั้งสองชนิดไม่แตกต่างกันอย่างมีนัยยะสำคัญ ส่งผลถึงค่าการสูญเสียความร้อนของระบบที่ใช้สารทำงานนานาในที่มีสมบัติด้านการถ่ายเทความร้อนที่ดีกว่ามีค่าการสูญเสียที่ต่ำกว่าด้วย

ประสิทธิภาพของระบบผลิตน้ำร้อน

ค่าประสิทธิภาพของระบบในงานวิจัยนี้ได้กำหนดเงื่อนไขขอบ (boundary condition) และสมมุติฐานในการคำนวณ ได้แก่ 1) ระบบเป็นระบบปิด มีมวลของสารทำงานและมวลของน้ำร้อนภายในถังกักเก็บคงที่ 2) พลังงานที่จ่ายให้กับระบบ (Input) คือ พลังงานจากแสงอาทิตย์ (Q_{solar}) โดยคำนวณจากค่าความเข้มรังสีอาทิตย์เฉลี่ยในช่วงเวลา 9:00-15:00 น. และ 3) พลังงานที่กักเก็บไว้ภายในระบบ (Output) คือ ความร้อนที่กักเก็บไว้โดยน้ำ (Q_s) จากผลการคำนวณดังตารางที่ 5 พบว่าค่าประสิทธิภาพของระบบผลิตน้ำร้อนในงานวิจัยนี้มีค่าสูงสุดเท่ากับ 68.14 % โดยมีค่าประสิทธิภาพเฉลี่ยตลอดวันเท่ากับ 44.08 % ก็ดั้งนี้กับระบบทดสอบที่ใช้ของเหลว nano ความเข้มข้น 0.100 % ที่อัตราการไหล 2 LPM ซึ่งค่าดังกล่าวสูงกว่าค่าประสิทธิภาพสูงสุดและเฉลี่ยตลอดวันของระบบที่ใช้น้ำ เป็นสารทำงานในสภาวะการทดสอบเดียวกันเท่ากับ 16.29 % และ 7.07 % ตามลำดับ โดยระบบต้นแบบที่ใช้สารทำงานนานาในสามารถผลิตน้ำร้อนที่มีอุณหภูมิสูงสุดเท่ากับ 46 °C สูงกว่าระบบที่ใช้น้ำ เป็นสารทำงาน 7.78 % และเมื่อพิจารณาความสัมพันธ์ของค่าพารามิเตอร์ต่าง ๆ จะพบว่าค่าประสิทธิภาพของระบบผลิตน้ำร้อนในงานวิจัยนี้จะมีค่าสูงขึ้นตามค่าอัตราการไหลและค่าความเข้มข้นของสารทำงานนานาในซึ่งเป็นตัวแปรสำคัญที่ช่วยเพิ่มสมบัติด้านการถ่ายเทความร้อนของสารทำงานที่จะส่งผลต่อการกักเก็บและส่งถ่ายพลังงานความร้อนจากรังสีอาทิตย์ให้กับน้ำร้อนในถังกักเก็บ ทำให้ค่าประสิทธิภาพของระบบผลิตน้ำร้อนต้นแบบที่ใช้สารทำงานนานาในงานวิจัยนี้มีค่าสูงขึ้นตามค่าความเข้มข้นและค่าอัตราการไหลของสารทำงาน เนื่องจากค่าพลังงานที่สารทำงานได้รับ ($Q = \dot{m}c_p \Delta T$) จึงเกิดจากพจน์ของผลคูณของค่าอัตราการไหลเชิงมวลของสารทำงานกับค่าความร้อนจำเพาะ ($\dot{m}c_p$) กล่าวคือถ้าสารทำงานนานาในที่มีค่าความเข้มข้นสูงขึ้นจะทำให้ระบบมีค่าอัตราการไหลเชิงมวลที่สูงขึ้นตามและสูงกว่าน้ำ จึงทำให้พจน์ของผลคูณของค่าอัตราการไหลเชิงมวลของสารทำงานกับค่าความจุความร้อนจำเพาะ ($\dot{m}c_p$) มีค่าสูงขึ้นตามทำให้มีค่าประสิทธิภาพที่สูงกว่าระบบที่ใช้น้ำ ในทำนองเดียวกันเมื่อเปรียบเทียบระหว่างระบบที่ใช้น้ำและสารทำงานนานาใน อีกทั้งระบบที่ใช้สารทำงานนานาในมีค่าผลต่างของอุณหภูมิสารทำงาน ณ ทางเข้า-ออกของท่อเก็บรังสี (ΔT) สูงกว่าระบบที่ใช้น้ำและยังมีค่าอัตราการไหลเชิงมวล (\dot{m}) ที่สูงกว่าจึงมีค่าประสิทธิภาพของระบบสูงกว่าระบบที่ใช้น้ำในทุกรายการทดสอบ

วิจารณ์ผลการทดลอง

ในงานวิจัยนี้ได้ทำการการทดสอบอนุภาคนาโนกราฟีนกับน้ำทำให้ได้สารทำงานนาโนที่มีค่าความหนาแน่น (ρ) ค่าสัมประสิทธิ์การนำความร้อน (k) และค่าสัมประสิทธิ์การพากความร้อน (h) สูงกว่าน้ำซึ่งเป็นของเหลว แต่มีค่าความจุความร้อนจำเพาะ (C_p) ต่ำกว่าน้ำเล็กน้อย ทั้งนี้การเพิ่มขึ้นของสมบัติด้านค่าความหนาแน่นของสารทำงานนาโนส่งผลต่อการเพิ่มขึ้นของค่าอัตราการไหลเชิงมวลของสารทำงานนาโนสามารถลดเชยค่าความจุความร้อนจำเพาะของสารทำงานนาโนที่ลดลงได้ในพจน์ของผลคูณของค่าอัตราการไหลเชิงมวลของสารทำงานกับค่าความจุความร้อนจำเพาะ (ρC_p) โดยระบบที่ใช้สารทำงานนาโนให้ค่าผลคูณของค่าพารามิเตอร์ทั้งสองดังกล่าว (ดังตารางที่ 3) สูงกว่าระบบที่ใช้น้ำเป็นสารทำงานทำให้การลดลงของค่าความจุความร้อนจำเพาะไม่ส่งผลต่อระบบที่ใช้สารทำงานนาโนโดยเมื่อพิจารณาถึงอุณหภูมิของสารทำงานพบว่าระบบที่ใช้สารทำงานนาโนและระบบที่ใช้น้ำเป็นสารทำงานมีค่าของอุณหภูมิ ณ จุดที่ทำการวัดแตกต่างกันทั้งที่ทำการทดสอบในช่วงเวลาเดียวกัน โดยระบบที่ใช้สารทำงานนาโนจะมีอุณหภูมิ ณ ตำแหน่งต่าง ๆ ของระบบสูงกว่าระบบที่ใช้น้ำเนื่องจากระบบที่ใช้สารทำงานนาโนมีค่า $F_R(\tau\alpha)_e$ สูงกว่าและมีค่า $F_R U_L$ ต่ำกว่าระบบที่ใช้น้ำเป็นสารทำงานจะเห็นได้ว่าความแตกต่างของค่า $F_R(\tau\alpha)_e$ ในกรณีใช้ค่าอัตราการไหลทดสอบเดียวกันเกิดจากชนิดของสารทำงานที่แตกต่างกัน โดยสมบัติด้านค่าสัมประสิทธิ์การนำความร้อน (k) และค่าสัมประสิทธิ์การพากความ (h) ที่สูงกว่าของสารทำงานนาโนทำให้สามารถส่งผ่านและดูดกลืนพลังงานความร้อนจากรังสีอาทิตย์ได้ดีกว่าน้ำ และเมื่อพิจารณาค่า $F_R U_L$ ก็จะเห็นถึงความแตกต่างของการใช้สารทำงานทั้งสอง เช่นกัน โดยกรณีใช้สารทำงานนาโนจะมีค่าการสูญเสียความร้อนต่ำกว่าการใช้น้ำเนื่องจากสารทำงานนาโนมีสมบัติทางความร้อนที่ดีกว่า ทำให้สารดังกล่าวดูดกลืนความร้อนจากผนังห้องรับรังสีได้ดีกว่าน้ำ เมื่อพิจารณาถึงค่าผลต่างของอุณหภูมิสารทำงาน ณ ทางเข้าและออกห้องรับรังสีจะพบว่าค่าดังกล่าวมีค่าลดลงเมื่ออัตราการไหลของสารทำงานเพิ่มขึ้น โดยผลต่างของอุณหภูมิสารทำงาน ณ ทางเข้าและออกห้องรับรังสีของระบบที่ใช้สารทำงานนาโนสูงกว่าระบบที่ใช้น้ำแต่มีค่าไม่สูงเท่าที่ควรทั้งนี้เกิดจากระบบท่อรับรังสีในงานวิจัยนี้ไม่ได้ทำการติดตั้งห่อแก้วเพื่อลดการสูญเสียความร้อนสูงสุดล้อม แต่หากพิจารณาการเพิ่มขึ้นของผลต่างอุณหภูมิดังกล่าวซึ่งส่งผลโดยตรงต่อค่าพลังงานความร้อนที่สารทำงานได้รับจะพบว่าระบบที่ใช้สารทำงานนาโนให้ค่าผลต่างของอุณหภูมิสารทำงาน ณ ทางเข้าและออกห้องรับรังสีสูงกว่าระบบที่ใช้น้ำสูงสุดถึง 108.33 % เมื่อเทียบกับน้ำ จากผลการทดสอบดังกล่าวข้างต้นพบว่า การเพิ่มขึ้นของสมรรถนะของตัวเก็บรังสีและประสิทธิภาพของระบบทำน้ำร้อนเกิดจากสมบัติด้านความหนาแน่นและด้านการถ่ายเทความร้อนของสารทำงานนาโนที่ดีกว่าน้ำ ดังนั้นการใช้สารทำงานนาโนจึงส่งผลดีต่อระบบผลิตน้ำร้อนต้นแบบในงานวิจัยนี้อย่างมีนัยยะสำคัญ แต่ทั้งนี้ค่าสมรรถนะและประสิทธิภาพดังกล่าวก็ยังมีค่าไม่สูงนักเนื่องจากข้อจำกัดด้านงบประมาณในการสร้างระบบ ทำให้การ

ออกแบบบยังขาดอุปกรณ์ที่ช่วยลดอัตราการสูญเสียพลังงานสู่ความร้อน เช่น ห่อแก้วครอบท่อรับรังสี UV กันความร้อนบางส่วน เป็นต้น ทำให้ระบบสามารถผลิตน้ำร้อนที่มีอุณหภูมิไม่สูงเท่าที่ควร อีกทั้งระบบต้นแบบยังไม่สามารถสะท้อนรังสีอาทิตย์เข้าสู่ท่อรับรังสีได้ตลอดวันเนื่องจากไม่มีระบบปรับทิศทางและมุมของแผ่นสะท้อนทำให้ประสิทธิภาพโดยรวมของระบบลดลงอีกด้วย



บทที่ 5

สรุปผลการวิจัยและข้อเสนอแนะ

สรุปผลการทดลอง

ในงานวิจัยนี้ได้ทำการทดสอบสมรรถนะของระบบผลิตน้ำร้อนพลังงานแสงอาทิตย์แบบบางพาราโบลิกตันแบบด้วยน้ำและสารทำงานนานาในราฟีนเข้มข้น 0.050 %wt 0.075 %wt และ 0.100 %wt ที่ค่าอัตราการไหลทดสอบเท่ากับ 1.0 LPM 1.5 LPM และ 2.0 LPM ตามลำดับ ในช่วงเวลา 9:00-15:00 น. โดยผลการทดสอบน้ำที่มีค่าความหนาแน่น (ρ) สูงกว่าน้ำซึ่งเป็นของเหลวฐานเท่ากับ 0.031 % 0.046 % และ 0.062 % ตามลำดับ มีค่าสัมประสิทธิ์การนำความร้อน (k) สูงกว่าน้ำซึ่งเป็นของเหลวฐานเท่ากับ 2.34 % 3.50 % และ 4.67 % ตามลำดับ และมีค่าสัมประสิทธิ์การพาความร้อน (h) สูงกว่าน้ำซึ่งเป็นของเหลวฐานเท่ากับ 2.34 % 3.50 % และ 4.67 % ตามลำดับ เช่นกัน แต่ในทางกลับกันค่าความจุความร้อนจำเพาะของสารทำงานนานาในงานวิจัยนี้ มีค่าต่ำกว่าน้ำซึ่งเป็นของเหลวฐานเท่ากับ 0.016 % 0.023 % และ 0.031 % ตามลำดับ แต่เมื่อพิจารณาถึงค่าความร้อนที่สารทำงานได้รับ ($Q = \dot{m}c_p\Delta T$) ซึ่งเป็นความสัมพันธ์ระหว่างค่าอัตราการไหลเชิงมวล (\dot{m}) ความจุความร้อนจำเพาะ (c_p) และค่าผลต่างของอุณหภูมิสารทำงาน ณ ทางเข้า-ออก ของท่อเก็บรังสี (ΔT) พบร่วมกันของการเพิ่มขึ้นของสมบัติด้านค่าความหนาแน่น (ρ) ของสารทำงานนานาส่งผลต่อการเพิ่มขึ้นของค่าอัตราการไหลเชิงมวล (\dot{m}) ของสารทำงานดังกล่าวทำให้สามารถลดเชยิค่าความจุความร้อนจำเพาะ (c_p) ของสารทำงานนานาที่ลดลงได้ในพจน์ของผลคูณของค่าอัตราการไหลเชิงมวลของสารทำงานกับค่าความจุความร้อนจำเพาะ ($\dot{m}c_p$) โดยระบบที่ใช้สารทำงานนานาให้ค่าผลคูณของค่าพารามิเตอร์ทั้งสองดังกล่าวสูงกว่าระบบที่ใช้น้ำเป็นสารทำงานเล็กน้อย

จากการทดสอบสมรรถนะของระบบผลิตน้ำร้อนพลังงานแสงอาทิตย์แบบบางพาราโบลิกตันแบบพบว่าระบบที่ใช้สารทำงานนานาและระบบที่ใช้น้ำเป็นสารทำงานมีค่าของอุณหภูมิ ณ จุดที่ทำการวัดค่าต่างกันทั้งที่ทำการทดสอบในช่วงเวลาเดียวกัน โดยระบบที่ใช้สารทำงานนานาจะอุณหภูมิ ณ ตำแหน่งต่าง ๆ ของระบบสูงกว่าระบบที่ใช้น้ำ ซึ่งในช่วงเริ่มต้นการทดสอบความแตกต่างของอุณหภูมิของทั้งสองระบบจะแตกต่างกันน้อยมาก ทั้งนี้เมื่อเวลาผ่านไปผลต่างของอุณหภูมิจะเริ่มชัดเจน และเมื่อเข้าสู่ช่วงเที่ยงวันค่าอุณหภูมิของทั้งสองระบบจะแตกต่างกันอย่างชัดเจน ตัวเก็บรังสีอาทิตย์ในงานวิจัยนี้มีประสิทธิภาพสูงสุดเท่ากับ 55.16 % เมื่อใช้สารทำงานนานาในเข้มข้น 0.100 %wt ที่อัตราการไหลเชิงปริมาณเท่ากับ 2.0 LPM ซึ่งสูงกว่ากรณีใช้น้ำเท่ากับ 3.36 % โดยมีค่าประสิทธิภาพเฉลี่ยตลอดวันที่

ทำการทดสอบเท่ากับ 43.59 % สูงกว่าระบบที่ใช้น้ำเท่ากับ 3.88 % โดยตัวเก็บรังสีอัทธิicityที่ใช้สารทำงานนานาในมีค่าสมรรถนะสูงสุดในกรณีใช้สารทำงานนานาในการเพิ่นความเข้มข้น 0.100 %wt ที่อัตราการไหลเท่ากับ 2.0 LPM มีค่า $F_R(\tau\alpha)_e$ เท่ากับ 0.5795 สูงกว่ากรณีใช้น้ำในสภาวะทดสอบเดียวกันเท่ากับ 12.70 % และมีค่า $F_R U_L$ เท่ากับ 8.1408 ต่ำกว่ากรณีใช้น้ำในสภาวะทดสอบเดียวกันเท่ากับ 33.01 % และการใช้สารทำงานนานาในที่มีค่าความเข้มข้นและอัตราการไหลดังกล่าวบังทำให้ค่าประสิทธิภาพของระบบผลิตน้ำร้อนมีค่าสูงสุดเท่ากับ 68.14 % โดยมีค่าประสิทธิภาพเฉลี่ยตลอดวันเท่ากับ 44.08 % ซึ่งค่าดังกล่าวสูงกว่าระบบที่ใช้น้ำเป็นสารทำงานในสภาวะการทดสอบเดียวกันเท่ากับ 16.29 % และ 7.07 % ตามลำดับ โดยระบบตันแบบที่ใช้สารทำงานนานาสามารถผลิตน้ำร้อนที่มีอุณหภูมิสูงสุดเท่ากับ 46 °C สูงกว่าระบบที่ใช้น้ำเป็นสารทำงาน 7.78 %

เมื่อพิจารณาถึงผลการทดสอบระบบผลิตน้ำร้อนตันแบบที่ใช้สารทำงานนานาในและน้ำในสภาวะการทดสอบเดียวกันจะเห็นได้ว่าอุณหภูมิ ณ จุดต่าง ๆ ของระบบห้องสองจะแปรผันตามค่าความเข้มของรังสีอัทธิicity (I_t) กล่าวคือ เมื่อรังสีอัทธิicityมีค่าความเข้มสูงจะทำให้เกิดความแตกต่างของอุณหภูมิของสารทำงาน ณ ทางเข้าและออกท่อรับรังสี และเมื่ออุณหภูมิของสารทำงาน ณ ทางออกท่อรับรังสีสูงขึ้นจะทำให้อุณหภูมิของระบบทุกจุดสูงขึ้นตามไปด้วย เมื่อพิจารณาด้านสมบัติของสารทำงานพบว่าระบบที่ใช้สารทำงานนานาในให้ค่าของอุณหภูมิ ณ จุดต่าง ๆ ของระบบสูงกว่าระบบที่ใช้น้ำเป็นสารทำงาน โดยความแตกต่างระหว่างอุณหภูมิของสารทำงานนานาในและน้ำใน สภาวะอัตราการไหลเชิงปริมาตร (LPM) ค่าความเข้มรังสีอัทธิicity (I_t) และอุณหภูมิสิ่งแวดล้อม (T_a) เดียวกันจะแปรผันตามค่าความเข้มข้นของสารทำงาน กล่าวคือ ยิ่งสารทำงานนานามีความเข้มข้นสูงขึ้นจะยิ่งทำให้สารทำงานดังกล่าวมีอุณหภูมิสูงกว่าน้ำที่สภาวะการทดสอบเดียวกัน ทั้งนี้เพราะสมบัติด้านค่าสัมประสิทธิ์การนำความร้อน (k) และค่าสัมประสิทธิ์การพาความร้อน (h) ของสารทำงานนานาในที่มีค่าสูงขึ้นเนื่องจากความเข้มข้นของสารละลายและมีค่าสูงกว่าน้ำส่งผลให้การถ่ายเทความร้อนของสารทำงานดังกล่าว ทำให้สารทำงานนานาสามารถรับพลังงานความร้อนจากรังสีอัทธิicityได้ดีกว่าน้ำ ดังนั้นการผสมอนุภาคนานาในกับน้ำที่ค่าความเข้มข้นสูงขึ้นจึงส่งผลดีต่อการเพิ่มประสิทธิภาพของระบบผลิตน้ำร้อนตันแบบอย่างมีนัยยะสำคัญ

ข้อเสนอแนะ

เนื่องจากงานวิจัยนี้มุ่งเน้นในการทดสอบระบบผลิตน้ำร้อนพลังงานแสงอาทิตย์แบบบางพาราโบลิกตันแบบที่ใช้สารทำงานสองชนิดได้แก่ น้ำสะอาดและสารทำงานนาโน โดยมุ่งเน้นถึงความแตกต่างของอุณหภูมิสารทำงานเมื่อได้รับพลังงานจากแสงอาทิตย์ในสภาพเดียวกันจึงไม่คำนึงถึงค่าความร้อนสูญเสียบริเวณผิวท่อรับรังสี ซึ่งควรติดตั้งท่อแก้วครอบท่อตั้งกล่าวไว้เพื่อลดการสูญเสียเนื่องจากการพากความร้อนจากอากาศโดยรอบท่อรับรังสี ทำให้ค่าประสิทธิภาพของระบบและอุณหภูมน้ำร้อนที่ผลิตได้มีสูงเท่าที่ควร ดังนั้นแนวทางในการเพิ่มประสิทธิภาพของระบบสามารถทำได้โดยการลดความร้อนสูญเสียโดยการติดตั้งอุปกรณ์เสริมดังกล่าวข้างต้น รวมไปถึงการติดตั้งระบบติดตามดวงอาทิตย์เพื่อให้ตัวเก็บรังสีอาทิตย์ได้รับพลังงานความร้อนจากดวงอาทิตย์ตลอดระยะเวลาในการดำเนินงาน



บรรณานุกรม

กรรมพัฒนาพลังงานทดแทนและอนุรักษ์พลังงาน กระทรวงพลังงาน. 2559. สถานการณ์พลังงานของประเทศไทย มกราคม – ธันวาคม 2558. [ระบบออนไลน์]. แหล่งที่มา http://www.dede.go.th/download/state_59/frontpagedec2558.pdf (2 มีนาคม 2559).

การไฟฟ้าฝ่ายผลิตแห่งประเทศไทย. 2542. ศักยภาพพลังงานแสงอาทิตย์ของประเทศไทย (พ.ศ. 2542). [ระบบออนไลน์]. แหล่งที่มา http://www3.egat.co.th/re/egat_pv/sun_thailand.htm (5 มีนาคม 2559).

ไกรพัฒน์ จีนชจร. 2550. พลังงานหมุนเวียน. กรุงเทพฯ: สมาคมส่งเสริมเทคโนโลยี (ไทย-ญี่ปุ่น).
จังจิตร์ หิรัญลักษณ์. 2548. กระบวนการผลิตงานรังสีอาทิตย์ในรูปความร้อน. กรุงเทพฯ : ดาวกมล.
ทนงเกียรติ เกียรติศิริโรจน์. 2537. การออกแบบระบบพลังงานความร้อน. พิมพ์ครั้งที่ 2.
กรุงเทพฯ: คณะพลังงานและวัสดุ สถาบันเทคโนโลยีพระจอมเกล้าธนบุรี.

ธนาวงศักดิ์ วัฒนา. 2554. รู้จักและการเลือกใช้ เทคโนโลยีการผลิตน้ำร้อนจากพลังงานแสงอาทิตย์. [ระบบออนไลน์]. แหล่งที่มา <http://www.thailandindustry.com/guru/view.php?id=19409> (15 มีนาคม 2559).

นัฐพร ไซญาติ. 2556. คู่มือการใช้งานโปรแกรมจำลองการทำงานของระบบทำน้ำร้อนพลังงานแสงอาทิตย์. เชียงใหม่: วิทยาลัยพลังงานทดแทน มหาวิทยาลัยแม่โจ้.

ประกอบ สุรัวฒนาวรรณ และ อริภัทร หลิ่มบุญเรือง. 2554. แบบจำลองทางคณิตศาสตร์และการออกแบบตัวรับรังสีด้วยแบบบางพาราโบลา. การประชุมวิชาการเครือข่าย
วิศวกรรมเครื่องกลแห่งประเทศไทย ครั้งที่ 25 จังหวัด ยะลา.

สมาคมส่งเสริมเทคโนโลยี (ไทย-ญี่ปุ่น). 2558. การส่งถ่ายความร้อน (heat transfer). [ระบบออนไลน์]. แหล่งที่มา http://www.tpa.or.th/writer/read_this_book_topic.php?pageid=6&bookID=1043&read=true&count=true (4 เมษายน 2559).

เสริม จันทร์ฉาย. 2557. รังสีอาทิตย์. นครปฐม: หน่วยวิจัยพลังงานแสงอาทิตย์ ภาควิชาพิสิกส์ คณะวิทยาศาสตร์ มหาวิทยาลัยศิลปากร.

อดิเรก สุริยะวงศ์ และ วีระพันธ์ ตัวงทองสุข. 2559. คุณรู้ไหมว่า Nanofluids คืออะไร?. [ระบบออนไลน์]. แหล่งที่มา <http://www.chumphon.kmitl.ac.th/me/images/stories/km/km001.pdf> (25 มีนาคม 2559).

อัครินทร์ อินทนิลวงศ์. 2555. พง 410 เทคโนโลยีพลังงานแสงอาทิตย์. เชียงใหม่ : วิทยาลัย
พลังงานทดแทน มหาวิทยาลัยแม่โจ้.

- Ahmadi, A., Ganji, D. D. & Jafarkazemi, F. 2016. Analysis of utilizing Graphene nanoplatelets to enhance thermal performance of flat plate solar collectors. *Energy Conversion and Management*, 126, 1–11.
- Bellos, E., Tzivanidis, C., Antonopoulos, K. A. & Gkinis, G. 2016. Thermal enhancement of solar parabolic trough collector by using nanofluids and converging-diverging absorber tube. *Renewable Energy*, 94, 213-222.
- Cengel, Y. A. & Ghajar, A. J. 2011. *Heat and Mass Transfer: Fundamentals and Applications*. 5th ed. New York: McGraw-Hill Education.
- Colangelo, G., Favale, E., Miglietta, P., Risi, A., Milanese, M. & Laforgia, D. 2015. Experimental test of an innovative high concentration nanofluid solar collector. *Applied Energy*, 154, 874-881.
- Conrado, S. L., Rodriguez-Pulido, A. & Calderon, G. 2017. Thermal performance of parabolic trough solar collectors. *Renewable and Sustainable Energy Reviews*, 67, 1,345-1,359.
- Gupta, H. K., Agrawal, G. D. & Mathur, J. 2015. Investigations for effect of $\text{Al}_2\text{O}_3\text{-H}_2\text{O}$ nanofluid flow rate on the efficiency of direct absorption solar collector. *Case Studies in Thermal Engineering*, 5, 70-78.
- Iranmanesh, S., Ong, H. C., Ang, B. C., Sadeghinezhad, E., Esmaeilzadeh, A. & Mehrali, M. 2017. Thermal performance enhancement of an evacuated tube solar collector using graphene nanoplatelets nanofluid. *Journal of Cleaner Production*, 162, 121-129.
- Jebasingh, V. K. & Herbert, G. M. J. 2016. A review of solar parabolic trough collector. *Renewable and Sustainable Energy Reviews*, 54, 1058-1091.
- Karami, M., Akhavan-Bahabadi, M.A., Delfani, S. & Raisee, M. 2015. Experimental investigation of CuO nanofluid-based Direct Absorption Solar Collector for residential applications. *Renewable and Sustainable Energy Reviews*, 52, 793-801.

- Karami, M., Akhavan-Behabadim, M. A., Raisee Dehkordi, M. & Delfani, S. 2016. Thermo-optical properties of copper oxide nanofluids for direct absorption of solar radiation. *Solar Energy Materials & Solar Cells*, 144, 136-142.
- Kasaeian, A., Daviran, S., Azarian, R. D. & Rashidi, A. 2015. Performance evaluation and nanofluid using capability study of a solar parabolic trough collector. *Energy Conversion and Management*, 89, 368-375.
- Kumaresan, G., Sridhar, R. & Velraj, R. 2012. Performance studies of a solar parabolic trough collector with a thermal energy storage system. *Energy*, 47, 395-402.
- Liu, X., Huang, J. & Mao, Q. 2015. Sensitive analysis for the efficiency of a parabolic trough solar collector based on orthogonal experiment. *International Journal of Photoenergy*, 2015 (151874), 1-7.
- Mahian, O., Kianifar, A., Kalogirou, S. A., Pop, I. & Wongwises, S. 2013. A review of the applications of nanofluids in solar energy. *International Journal of Heat and Mass Transfer*, 57, 582-594.
- Mahian, O., Kianifar, A., Sahin, A. Z. & Wongwises, S. 2014. Performance analysis of a minichannel-based solar collector using different nanofluids. *Energy Conversion and Management*, 88, 129-138.
- Moghadam, A. J., Farzane-Gord, M., Sajadi, M. & Zadeh, M. H. 2014. Effect of CuO/water nanofluid on the efficiency of a flat-plate solar collector. *Experimental Thermal and Fluid Science*, 58, 9-14.
- Mohamed, S. M. & Taqiy, E. B. 2013. Parabolic trough solar thermal power plant: Potential, and projects development in Algeria. *Renewable and Sustainable Energy Reviews*, 21, 288-297.
- Rehan, M. A., Ali, M., Sheikh, N. A., Khali, M. S., Chaudhary, G. Q., Rashid, T. & Shehryar, M. 2018. Experimental performance analysis of low concentration ratio solar parabolic trough collectors with nanofluids in winter conditions. *Renewable Energy*, 118, 742-751.
- Sarawut Polvongsri. 2012. Performance enhancement of flat-plate solar collector at low mass flow rate using nano-fluid. Doctor of Engineering. Chiang Mai University.

- Sarawut Polvongsri and Tanongkiat Kiatsirirot. 2011. Enhancement of Flat-Plate Solar Collector Thermal Performance with Silver Nano-fluid. The Second TSME International Conference on Mechanical Engineering.
- Seager, S. 2013. Atmospheric Radiation. [ระบบออนไลน์]. แหล่งที่มา <http://seagerexoplanets.mit.edu/teaching-10.htm> (10 เมษายน 2559).
- Sokhanefat, T., Kasaeian, A. B. & Kowsary, F. 2014. Heat transfer enhancement in parabolic trough collector tube using Al_2O_3 /synthetic oil nanofluid. *Renewable and Sustainable Energy Reviews*, 33, 636-644.
- Tzivanidis, C., Bellos, E., Korres, D., Antonopoulos, K.A. & Mitsopoulos G. 2015. Thermal and optical efficiency investigation of a parabolic trough collector. *Case Studies in Thermal Engineering*, 6, 226-237.
- Vakili, M., Hosseinalipour, S. M., Delfani, S., Khosrojerdi, S. & Karami, M. 2016. Experimental investigation of graphene nanoplatelets nanofluid-based volumetric solar collector for domestic hot water systems. *Solar Energy*, 131, 119–130.
- Yousefi, T., Veysi, F., Shojaeizadeh, E. & Zinadini, S. 2012. An experimental investigation on the effect of $\text{Al}_2\text{O}_3\text{-H}_2\text{O}$ nanofluid on the efficiency of flat-plate solar collector. *Renewable Energy*, 39, 293-298.



มหาวิทยาลัยแม่โจ้
MAEJO UNIVERSITY

ภราดพนวก



1. การคำนวณหาระยะไฟกัสของรางพาราโบลิก

$$f = \frac{a^2}{16h}$$

สมการที่ 2

- เมื่อ f คือ ระยะไฟกัสของรางพาราโบลิก
 a คือ ความกว้างของรางพาราโบลิก เท่ากับ 1.03 m
 h คือ ความสูงจากกึ่งกลางโถดึงขอบรางพาราโบลิก เท่ากับ 0.26 m

ดังนั้น

$$\begin{aligned} f &= \frac{1.03^2}{16(0.26)} \\ f &= \frac{1.06}{4.16} \\ f &= 0.26m \end{aligned}$$

2. การคำนวณหาค่าสมบัติด้านต่างๆ ของสารทำงานนาโนกราฟีน

ตารางผนวกที่ 1 แสดงสมบัติขององค์ประกอบสารทำงานนาโนกราฟีน

Type	Shape	Thermal conductivity (k , W/m·K)	Specific heat (c_p , J/kg·K)	Density (ρ , kg/m ³)
Graphene (GNP)	Platelets	5000	790	2,620
Water (H ₂ O)	-	0.60	4,186	1,000

2.1 ตัวอย่างการคำนวณค่าสัดส่วนโดยปริมาตรของสารทำงานนาโนกราฟีน (α)

$$\alpha = \frac{V_p}{V_f + V_p}$$

สมการที่ 4

- เมื่อ V_f คือ ปริมาตรของเหลว (m³)
 V_p คือ ปริมาตรของอนุภาค (m³)

สารทำงาน nano กราฟีนความเข้มข้น 0.1 %wt

- | | |
|----------------------|---|
| - อนุภาค nano กราฟีน | มีน้ำหนักเท่ากับ 0.005 kg |
| - น้ำ | มีน้ำหนักเท่ากับ 5 kg |
| - อนุภาค nano กราฟีน | มีความหนาแน่นเท่ากับ $2,620 \text{ kg/m}^3$ |
| - น้ำ | มีความหนาแน่นเท่ากับ $1,000 \text{ kg/m}^3$ |

การคำนวณปริมาตรของอนุภาค nano กราฟีน

$$\rho_p = \frac{m_p}{V_p}$$

$$V_p = \frac{m_p}{\rho_p} = \frac{0.005 \text{ kg}}{2,620 \text{ kg/m}^3} = 1.908 \times 10^{-6} \text{ m}^3$$

การคำนวณปริมาตรของน้ำ

$$\rho_f = \frac{m_f}{V_f}$$

$$V_f = \frac{m_f}{\rho_f} = \frac{5 \text{ kg}}{1,000 \text{ kg/m}^3} = 0.005 \text{ m}^3$$

การคำนวณค่าสัดส่วนโดยปริมาตรของสารทำงาน nano กราฟีน (α)

$$\alpha = \frac{V_p}{V_f + V_p} = \frac{1.908 \times 10^{-6} \text{ m}^3}{[0.005 \text{ m}^3 + (1.908 \times 10^{-6} \text{ m}^3)]}$$

$$\alpha = 3.815 \times 10^{-4}$$

2.2 ตัวอย่างการคำนวณค่าความหนาแน่นของสารทำงาน nano กราฟีน

$$\rho_{nf} = \alpha \rho_p + (1 - \alpha) \rho_f$$

สมการที่ 7

สารทำงาน nano กราฟีนความเข้มข้น 0.1 %wt

- | | |
|------------------------|---|
| - อนุภาค nano กราฟีน | มีความหนาแน่น ρ_p เท่ากับ $2,620 \text{ kg/m}^3$ |
| - น้ำ | มีความหนาแน่น ρ_f เท่ากับ $1,000 \text{ kg/m}^3$ |
| - สารทำงาน nano กราฟีน | มีค่าค่าสัดส่วนโดยปริมาตร α เท่ากับ 3.815×10^{-4} |

$$\rho_{nf} = \alpha \rho_p + (1-\alpha) \rho_f$$

$$\rho_{nf} = [(3.815 \times 10^{-4})(2,620 \text{ kg/m}^3)] + \{[1 - (3.815 \times 10^{-4})](1,000 \text{ kg/m}^3)\}$$

$$\rho_{nf} = 1,000.6180 \text{ kg/m}^3$$

หรือ

$$\rho_{nf} = \frac{m_{nf}}{V_{nf}} = \frac{(m_p + m_f)}{(V_p + V_f)} = \frac{(5\text{kg} + 0.005\text{kg})}{[0.005\text{m}^3 + (1.908 \times 10^{-6} \text{ m}^3)]} = 1,000.6180 \text{ kg/m}^3$$

2.3 ตัวอย่างการคำนวณค่าความเป็นทรงกลมของอนุภาคนาโนกราฟีน

$$\varphi = \frac{\text{พื้นที่ผิวของทรงกลม}}{\text{พื้นที่ผิวจริงของอนุภาค}}$$

สมการที่ 6

การคำนวณพื้นที่ผิวของอนุภาคนาโนกราฟีนต้องทำการเทียบมิติของอนุภาคนาโนชนิดแผ่น เพื่อคำนวณหามิติเชิงทรงกลม ทำได้ดังนี้

ข้อมูลเฉพาะของนาโนกราฟีนชนิดแผ่น

- อนุภาคนาโนกราฟีน มีความกว้างเท่ากับ $2 \mu\text{m}$ หรือ $2 \times 10^{-6} \text{ m}$
มีความยาวเท่ากับ $2 \mu\text{m}$ หรือ $2 \times 10^{-6} \text{ m}$
มีความหนาเท่ากับ 2 nm หรือ $2 \times 10^{-9} \text{ m}$
- คำนวณพื้นที่ผิวจริงของอนุภาคนาโนกราฟีนแบบแผ่นได้เท่ากับ

$$A = 2 \times [(2 \times 10^{-6} \text{ m}) \times (2 \times 10^{-6} \text{ m})] + 4 \times [(2 \times 10^{-6} \text{ m}) \times (2 \times 10^{-9} \text{ m})]$$

$$A = 8.016 \times 10^{-12} \text{ m}^2$$

- คำนวณปริมาตรจริงของอนุภาคนาโนกราฟีนแบบแผ่นได้เท่ากับ

$$V = กว้าง \times ยาว \times สูง$$

$$V = (2 \times 10^{-6}) \times (2 \times 10^{-6}) \times (2 \times 10^{-9})$$

$$V = 8.00 \times 10^{-21} \text{ m}^3$$

การคำนวณพื้นที่ทรงกลมที่มีปริมาตรเท่ากับปริมาตรของอนุภาคนาโนกราฟีนชนิดแผ่น

ให้อนุภาคนาโนกราฟีนแบบแผ่นมีปริมาตรเท่ากับอนุภาคนาโนกราฟีนแบบทรงกลม

$$V = กว้าง \times ยาว \times สูง = \frac{4}{3} \pi r^3$$

$$V = 8.000 \times 10^{-21} m^3 = \frac{4}{3} \pi r^3$$

คำนวณรัศมีทรงกลมของอนุภาคนาโนกราฟีนได้เท่ากับ

$$r = \sqrt[3]{\frac{(8.00 \times 10^{-21} m^3) \times \frac{3}{4}}{\pi}}$$

$$r = 1.241 \times 10^{-7} m$$

คำนวณพื้นที่ผิวทรงกลมของอนุภาคนาโนกราฟีนได้เท่ากับ

$$A = 4\pi r^2 = 4\pi (1.241 \times 10^{-7})^2$$

$$A = 1.935 \times 10^{-13} m^2$$

คำนวณค่าความเป็นทรงกลมของอนุภาคนาโนกราฟีนได้เท่ากับ

$$\varphi = \frac{\text{พื้นที่ผิวของทรงกลม}}{\text{พื้นที่ผิวจริงของอนุภาค}} = \frac{1.935 \times 10^{-13} m^2}{8.016 \times 10^{-12} m^2} = 2.413 \times 10^{-2}$$

2.4 ตัวอย่างการคำนวณค่าตัวประกอบปรุปร่อง (n)

$$n = \frac{3}{\varphi}$$

สมการที่ 5

คำนวณค่าตัวประกอบปรุปร่อง (n) ได้เท่ากับ

$$n = \frac{3}{(2.413 \times 10^{-2})}$$

$$n = 124.302$$

2.5 ตัวอย่างการคำนวณค่าค่าความร้อนจุ่มเพาะของสารทำงานนาโนกราฟีน

$$\begin{aligned} c_{p_{nf}} &= (\alpha \cdot c_{p_p}) + [(1-\alpha)c_{p_f}] \\ c_{p_{nf}} &= (3.815 \times 10^{-4} \times 790 \text{ J/kg}\cdot\text{K}) + [(1 - 3.815 \times 10^{-4}) \times 4,186 \text{ J/kg}\cdot\text{K}] \\ c_{p_{nf}} &= 4,184.704 \text{ J/kg}\cdot\text{K} \end{aligned} \quad \text{สมการที่ 8}$$

2.6 ตัวอย่างการคำนวณค่าความหนืดของสารทำงานนาโนกราฟีน

$$\begin{aligned} \mu_{nf} &= (1 + 7.3\alpha + 123\alpha^2)\mu_f \\ \mu_{nf} &= [1 + 7.3(3.815 \times 10^{-4}) + 123(3.815 \times 10^{-4})^2] \times (0.798 \times 10^{-3}) \\ \mu_{nf} &= 0.0008 \text{ kg/m}\cdot\text{s} \end{aligned} \quad \text{สมการที่ 9}$$

2.7 ตัวอย่างการคำนวณค่าสัมประสิทธิ์การนำความร้อนของสารทำงานนาโนกราฟีน

$$\begin{aligned} k_{nf} &= k_f \cdot \left\{ \frac{k_p + [(n-1)k_f] - [(\alpha(n-1))(\alpha(k_f - k_p))]}{k_p + [(n-1)k_f] + [\alpha(k_f - k_p)]} \right\} \\ k_{nf} &= 0.6 \times \left\{ \frac{5,000 + [(124.302-1)0.6] - [(124.302-1)(3.815 \times 10^{-4})(0.6-5,000)]}{5,000 + [(124.302-1)0.6] + [(3.815 \times 10^{-4})(0.6-5,000)]} \right\} \\ k_{nf} &= 0.628 \text{ W/m}\cdot\text{K} \end{aligned} \quad \text{สมการที่ 3}$$

2.8 ตัวอย่างการคำนวณค่าสัมประสิทธิ์การพาความร้อน (h) ของสารทำงานนาโนกราฟีน
กรณีอัตราการไอลเชิงปริมาตร (\dot{V}) เท่ากับ 2 LPM
- คำนวณความเร็วได้การไอลได้ดังต่อไปนี้

$$\dot{V} = VA$$

ที่อัตราการไอลเชิงปริมาตร (\dot{V}) เท่ากับ 2 LPM หรือ $3.333 \times 10^{-5} \text{ m}^3/\text{s}$

เส้นผ่านศูนย์กลางภายในท่อ (D) เท่ากับ 4.5 cm หรือ 0.045 m

$$\text{พื้นที่หน้าตัดท่อ } A = \frac{\pi D^2}{4} = \frac{\pi(0.045^2)}{4} \text{ เท่ากับ } 1.591 \times 10^{-3} \text{ m}^2$$

$$\text{จะได้ความเร็วในการไหล } V = \frac{\dot{V}}{A} = \frac{3.333 \times 10^{-5} \text{ m}^3/\text{s}}{1.591 \times 10^{-3} \text{ m}^2} = 2.095 \times 10^{-2} \text{ m/s}$$

- คำนวณเส้นผ่านศูนย์กลางไฮดรอลิกส์ (Hydraulic Diameter, Dh) ได้ดังต่อไปนี้

$$D_h = \frac{4A_c}{P} = \frac{4\left(\frac{\pi D^2}{4}\right)}{\pi D} = D$$

$$D_h = D = 0.045\text{m}$$
สมการที่ 11

- คำนวณค่าเรย์โนลส์นัมเบอร์ (Re) เมื่อสารทำงานนาโนมีความเข้มข้นเท่ากับ 0.1 %wt อัตราการไหลเชิงปริมาตรเท่ากับ 2 LPM ได้ดังต่อไปนี้

$$Re = \frac{\rho v D_h}{\mu}$$

$$Re_{nf} = \frac{(1,000.618 \text{ kg/m}^3)(0.021 \text{ m/s})(0.045 \text{ m})}{(0.0008 \text{ kg/m} \cdot \text{s})}$$

$$Re_{nf} = 1,181.980 < 2,300 \Rightarrow \text{Laminar flow in tubes}$$
สมการที่ 10

- คำนวณค่าสัมประสิทธิ์การพารามิเตอร์ร้อนของของไหลกรณีการไหลภายในท่อแบบราบเรียบ (Laminar Flow in Tubes) เมื่อสารทำงานนาโนมีความเข้มข้นเท่ากับ 0.1 %wt อัตราการไหลเชิงปริมาตรเท่ากับ 2 L/min สามารถคำนวณได้ดังต่อไปนี้

$$h = 3.66 \left(\frac{k}{D_h} \right)$$

$$h_{nf} = 3.66 \left(\frac{0.628 \text{ W/m} \cdot \text{K}}{0.045 \text{ m}} \right) = 51.077 \text{ W/m}^2 \cdot \text{K}$$
สมการที่ 12

3. การคำนวณค่าสมรรถนะของตัวเก็บรังสีอาทิตย์

ข้อมูลจากการทดสอบกรณีใช้สารทำงานนาโนมีความเข้มข้น 0.100 %wt ที่อัตราการไหล 2.0 LPM ณ เวลา 12:40:00 PM มีดังต่อไปนี้

Time (hr)	T _a (°C)	I _t (W/m ²)	T _f (°C)		T _{fo} (°C)		T _s (°C)		Q _{coll} (W)		Q _f (J)		η _{Coll} (%)		η _{system} (%)	
			water	NF	water	NF	water	NF	water	NF	water	NF	water	NF	water	NF
12:30:00 PM	36.0	807.3	37.9	40.6	43.6	46.7	37.4	38.4	795.33	851.42	502,320	502,320	49.26	52.73	51.85	51.85
12:40:00 PM	37.5	835.0	38.5	41.3	44.7	47.9	37.9	38.9	865.10	921.21	418,600	418,600	51.80	55.16	41.78	41.78
12:50:00 PM	35.3	773.3	39.0	41.9	44.0	47.3	38.4	39.4	697.66	753.71	418,600	418,600	45.11	48.73	45.11	45.11

- ขนาดพื้นที่รับรังสี $A_c = 2.0 \text{ m}^2$
 - ความเข้มรังสีอาทิตย์ $I_t = \text{W/m}^2$
 - ค่ารังสีอาทิตย์ $I_T = 835.0 \text{ W/m}^2$
 - อุณหภูมิสิ่งแวดล้อม $T_a = 37.5 \text{ }^\circ\text{C}$
 - อุณหภูมิของสารทำงาน ณ ทางเข้าตัวเก็บรังสี $T_{fi} = 41.3 \text{ }^\circ\text{C}$
 - อุณหภูมิของสารทำงาน ณ ทางออกตัวเก็บรังสี $T_{fo} = 47.9 \text{ }^\circ\text{C}$
 - ความจุความร้อนจำเพาะของสารทำงานนานาโน้ん $C_p = 4,184.704 \text{ J/kg}\cdot\text{°C}$
 - ความหนาแน่นของสารทำงานนานาโน้ん $\rho_{nf} = 1,000.618 \text{ kg/m}^3$
 - อัตราการไหลเชิงปริมาตรของสารทำงานนานาโน้ん $\dot{V}_{nf} = 2 \text{ LPM}$
 - อุณหภูมิน้ำร้อนภายในถังกักเก็บน้ำร้อน ณ เวลา 12.30 น. $T_s = 38.4 \text{ }^\circ\text{C}$
 - อุณหภูมิน้ำร้อนภายในถังกักเก็บน้ำร้อน ณ เวลา 12.40 น. $T_s^{t+\Delta t} = 38.9 \text{ }^\circ\text{C}$
 - ปริมาณน้ำร้อนภายในถังกักเก็บ $M = 200 \text{ kg}$
 - ความจุความร้อนจำเพาะของน้ำร้อนภายในถังกักเก็บ $C_p = 4,186.000 \text{ J/kg}\cdot\text{°C}$
- อัตราการไหลเชิงมวลของสารทำงาน

$$\dot{m}_{nf} = \rho_{nf} \times \dot{V}_{nf}$$

$$\dot{m}_{ng} = (1,000.618 \text{ kg/m}^3) \times \left(\frac{2L/\text{min}}{60s/\text{min}} \times \frac{1\text{m}^3}{1,000L} \right)$$

$$\dot{m}_{nf} = (1,000.618 \text{ kg/m}^3) \times \left(\frac{2L}{60s} \times \frac{1\text{m}^3}{1,000L} \right)$$

$$\dot{m}_{nf} = 0.033354 \text{ kg/s}$$

อัตราความร้อนจากตัวเก็บรังสีอาทิตย์

$$Q_{coll} = \dot{m}_f C_p f (T_{fo} - T_{fi})$$

สมการที่ 16

$$Q_{\text{coll}} = (0.03335 \text{ kg/s})(4,184.704 \text{ J/kg} \cdot ^\circ \text{C})(47.9^\circ \text{C} - 41.3^\circ \text{C})$$

$$Q_{\text{coll}} = 921.21 \text{ W}$$

อัตราความร้อนจากรังสีอาทิตย์

$$Q_{\text{solar}} = A_c I_T$$

$$Q_{\text{solar}} = (2 \text{ m}^2)(835 \text{ W/m}^2) = 1,670 \text{ W}$$

สมการที่ 18

ประสิทธิภาพของตัวเก็บรังสีอาทิตย์

$$\eta_{\text{coll}} = \frac{Q_{\text{coll}}}{Q_{\text{solar}}} \times 100\%$$

สมการที่ 19

$$\eta_{\text{coll}} = \frac{921.21 \text{ W}}{1,670 \text{ W}} \times 100\% = 55.16\%$$

ความร้อนในถังกักเก็บน้ำร้อน

$$Q_s = M C_p (T_s^{t+\Delta t} - T_s)$$

$$Q_s = (200 \text{ kg})(4,186.000 \text{ J/kg} \cdot ^\circ \text{C})(38.9^\circ \text{C} - 38.4^\circ \text{C})$$

$$Q_s = 418,600 \text{ J}$$

สมการที่ 23

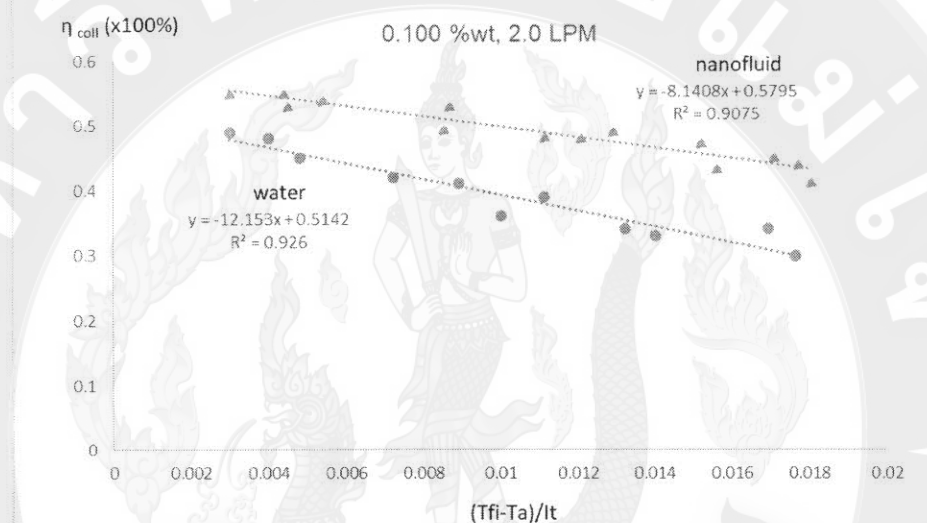
ประสิทธิภาพของระบบทำน้ำร้อนพลังงานแสงอาทิตย์

$$\eta_{\text{system}} = \frac{Q_s}{\sum_{i=1}^n I_T A_C \Delta t} \times 100\%$$

$$\eta_{\text{system}} = \left[\frac{(418,600 \text{ J})}{(835 \text{ W/m}^2)(2 \text{ m}^2)(600 \text{ s})} \right] \times 100\%$$

$$\eta_{\text{system}} = 41.78\%$$

เมื่อนำความสัมพันธ์ของค่า η_{coll} และ $\frac{(T_f - T_a)}{I_T}$ จะได้สมการเส้นตรงที่มีความชันเท่ากับค่า $F_R U_L$ และค่าบันแgn y (แgn η_{coll}) คือค่า $F_R (\tau\alpha)_e$ ซึ่งกราฟเส้นดังกล่าวคือเส้นแสดงสมรรถนะของตัวเก็บรังสีอาทิตย์ จะได้ค่า $F_R U_L = 8.1408 \text{ W/m}^2 \cdot ^\circ\text{C}$ และ $F_R (\tau\alpha)_e = 0.5795$ ดังภาพผนวกที่ 1



ภาพผนวกที่ 1 เส้นแสดงสมรรถนะของตัวเก็บรังสีอาทิตย์
กรณีใช้สารทำงานนานาในความเข้มข้น 0.100 %wt
ที่อัตราการไหล 2.0 LPM



ตารางผนวกที่ 2 ผลการทดสอบเมื่อใช้ค่าความเข้มข้นของสารทำงานนาโน 0.050 %wt อัตราการไหล 1.0 LPM

Time (hr)	T _a (°C)	I _T (W/m ²)	T _f (°C)		T _{fo} (°C)		T _s (°C)		Q _{coll} (W)		Q _s (J)		η _{coll} (%)		η _{system} (%)	
			water	NF	water	NF	water	NF	water	NF	water	NF	water	NF	water	NF
09:00:00	28.4	365.0	29.4	30.1	31.7	32.6	29.5	29.8	160.47	174.45			21.98	23.90		
09:10:00	27.6	394.0	30.3	31.3	32.8	34.1	29.6	29.9	174.42	195.38	83,720	83,720	22.13	24.79	17.71	17.71
09:20:00	29.0	400.0	30.4	31.4	33.1	34.4	29.8	30.1	188.37	209.33	167,440	167,440	23.55	26.17	34.88	34.88
09:30:00	29.7	474.0	30.5	31.6	34.6	35.9	29.9	30.2	286.05	300.05	83,720	83,720	30.17	31.65	14.72	14.72
09:40:00	29.0	463.0	30.6	31.8	34.4	35.8	30.1	30.5	265.12	279.11	167,440	251,160	28.63	30.14	30.14	45.21
09:50:00	30.3	450.0	30.8	32.0	34.5	35.9	30.3	30.7	258.14	272.13	167,440	167,440	28.68	30.24	31.01	31.01
10:00:00	30.4	513.0	31.0	32.2	35.9	37.3	30.4	30.9	341.86	355.87	83,720	167,440	33.32	34.69	13.60	27.20
10:10:00	30.9	549.0	31.2	32.5	36.8	38.4	30.7	31.2	390.70	411.69	251,160	251,160	35.58	37.49	38.12	38.12
10:20:00	30.7	611.0	31.5	32.7	38.4	40.0	30.9	31.5	481.40	509.38	167,440	251,160	39.39	41.68	22.84	34.26
10:30:00	31.4	648.0	31.7	33.1	39.7	41.3	31.3	31.8	558.14	572.18	334,880	251,160	43.07	44.15	43.07	32.30
10:40:00	31.4	583.0	32.1	33.4	38.4	40.1	31.7	32.3	439.54	467.51	334,880	418,600	37.70	40.10	47.87	59.83
10:50:00	31.6	610.0	32.4	33.9	39.4	41.1	31.9	32.6	488.38	502.40	167,440	251,160	40.03	41.18	22.87	34.31
11:00:00	31.4	649.0	32.8	34.2	40.6	42.4	32.3	32.9	544.19	572.18	334,880	251,160	41.93	44.08	43.00	32.25
11:10:00	32.5	621.0	33.1	34.6	40.3	42.1	32.6	33.4	502.33	523.34	251,160	418,600	40.45	42.14	33.70	56.17
11:20:00	32.0	650.0	33.5	35.0	41.3	43.2	33.0	33.7	544.19	572.18	334,880	251,160	41.86	44.01	42.93	32.20
11:30:00	32.7	676.0	33.8	35.4	42.4	44.3	33.4	34.1	600.01	621.03	334,880	334,880	44.38	45.93	41.28	41.28
11:40:00	33.9	695.0	34.2	35.9	43.4	45.4	33.8	34.6	641.87	662.89	334,880	418,600	46.18	47.69	40.15	50.19
11:50:00	33.3	666.0	34.6	36.3	42.9	44.9	34.2	35.1	579.07	600.09	334,880	418,600	43.47	45.05	41.90	52.38
12:00:00	33.4	674.0	35.0	36.8	43.5	45.6	34.6	35.5	593.03	614.05	334,880	334,880	43.99	45.55	41.40	41.40

ตารางผนวกที่ 2 (ต่อ)

Time (hr)	T _a (°C)	I _T (W/m ²)	T _f (°C)		T _{fo} (°C)		T _s (°C)		Q _{coll} (W)		Q _s (J)		η _{coll} (%)		η _{system} (%)	
			water	NF	water	NF	water	NF	water	NF	water	NF	water	NF	water	NF
12:10:00	33.4	655.0	35.4	37.3	43.4	45.5	35.0	35.9	558.14	572.18	334,880	334,880	42.61	43.68	42.61	42.61
12:20:00	33.1	645.0	35.8	37.7	43.4	45.5	35.3	36.3	530.24	544.27	251,160	334,880	41.10	42.19	32.45	43.27
12:30:00	32.3	510.0	36.2	38.2	40.7	42.8	35.7	36.7	313.96	320.98	334,880	334,880	30.78	31.47	54.72	54.72
12:40:00	33.9	696.0	36.6	38.6	45.5	47.7	35.9	37.0	620.94	634.98	167,440	251,160	44.61	45.62	20.05	30.07
12:50:00	33.7	550.0	36.8	38.8	42.1	44.4	36.3	37.4	369.77	390.76	334,880	334,880	33.62	35.52	50.74	50.74
13:00:00	34.2	705.0	37.2	39.3	46.3	48.7	36.6	37.7	634.89	655.91	251,160	251,160	45.03	46.52	29.69	29.69
13:10:00	33.3	589.0	37.5	39.6	43.5	45.9	37.0	38.2	418.61	439.60	334,880	418,600	35.54	37.32	47.38	59.22
13:20:00	33.3	685.0	37.9	40.1	46.3	48.7	37.3	38.5	586.05	600.09	251,160	251,160	42.78	43.80	30.55	30.55
13:30:00	34.4	653.0	38.2	40.5	45.8	48.3	37.7	38.9	530.24	544.27	334,880	334,880	40.60	41.67	42.74	42.74
13:40:00	34.7	675.0	38.6	40.9	46.8	49.3	38.0	39.3	572.10	586.14	251,160	334,880	42.38	43.42	31.01	41.34
13:50:00	34.7	618.0	39.0	41.3	45.7	48.2	38.4	39.8	467.45	481.47	334,880	418,600	37.82	38.95	45.16	56.45
14:00:00	33.8	603.0	39.4	41.8	45.6	48.1	38.7	40.1	432.56	439.60	251,160	251,160	35.87	36.45	34.71	34.71
14:10:00	33.4	575.0	39.7	42.1	45.2	47.8	39.0	40.4	383.72	397.74	251,160	251,160	33.37	34.59	36.40	36.40
14:20:00	33.8	553.0	40.0	42.5	45.0	47.7	39.3	40.7	348.84	362.85	251,160	251,160	31.54	32.81	37.85	37.85
14:30:00	33.6	526.0	40.3	42.8	44.7	47.4	39.5	41.0	306.98	320.98	167,440	251,160	29.18	30.51	26.53	39.79
14:40:00	34.1	517.0	40.5	43.1	44.8	47.5	39.7	41.3	300.00	307.02	167,440	251,160	29.01	29.69	26.99	40.48
14:50:00	34.0	491.0	40.7	43.4	44.5	47.2	40.0	41.5	265.12	265.16	251,160	167,440	27.00	27.00	42.63	28.42
15:00:00	34.0	463.0	41.0	43.6	44.2	47.0	40.1	41.7	223.26	237.25	83,720	167,440	24.11	25.62	15.07	30.14

ตารางผนวกที่ 3 ผลการทดสอบเมื่อใช้ค่าความเข้มข้นของสารทำงาน nano 0.050 %wt อัตราการไหล 1.5 LPM

Time (hr)	T _a (°C)	I _T (W/m ²)	T _f (°C)		T _{fo} (°C)		T _s (°C)		Q _{coll} (W)		Q _s (J)		η _{coll} (%)		η _{system} (%)	
			water	NF	water	NF	water	NF	water	NF	water	NF	water	NF	water	NF
09:00:00	28.4	357.0	29.4	30.1	30.6	31.6	29.5	29.8	125.58	157.00			17.59	21.99		
09:10:00	29.0	396.0	30.3	31.3	31.8	33.2	29.6	29.9	156.98	198.87	83,720	83,720	19.82	25.11	17.62	17.62
09:20:00	28.4	398.0	30.3	31.4	31.8	33.2	29.7	30.1	156.98	188.40	83,720	167,440	19.72	23.67	17.53	35.06
09:30:00	29.5	519.8	30.4	31.6	33.5	35.0	29.8	30.2	324.42	355.87	83,720	83,720	31.21	34.23	13.42	13.42
09:40:00	29.0	532.6	30.6	31.7	33.7	35.3	30.1	30.5	324.42	376.80	251,160	251,160	30.46	35.37	39.30	39.30
09:50:00	28.0	560.3	30.8	32.0	34.3	35.8	30.3	30.8	366.28	397.74	167,440	251,160	32.69	35.49	24.90	37.35
10:00:00	29.7	597.0	31.0	32.3	35.2	36.8	30.5	31.1	439.53	471.00	167,440	251,160	36.81	39.45	23.37	35.06
10:10:00	29.9	539.6	31.3	32.6	34.6	36.2	30.8	31.4	345.35	376.80	251,160	251,160	32.00	34.91	38.79	38.79
10:20:00	30.7	593.0	31.6	33.0	35.7	37.4	31.1	31.7	429.07	460.54	251,160	251,160	36.18	38.83	35.30	35.30
10:30:00	31.0	607.9	31.8	33.3	36.2	38.0	31.3	32.0	460.46	491.94	167,440	251,160	37.87	40.46	22.95	34.43
10:40:00	31.2	653.4	32.1	33.6	37.2	39.1	31.7	32.4	533.72	575.67	334,880	334,880	40.84	44.05	42.71	42.71
10:50:00	31.3	613.8	32.5	34.0	36.9	38.8	32.0	32.8	460.46	502.40	251,160	334,880	37.51	40.93	34.10	45.47
11:00:00	31.7	711.8	32.8	34.4	38.9	40.9	32.3	33.1	638.37	680.34	251,160	251,160	44.84	47.79	29.40	29.40
11:10:00	32.3	566.3	33.1	34.8	36.8	38.8	32.8	33.6	387.21	418.67	418,600	418,600	34.19	36.97	61.60	61.60
11:20:00	32.7	491.0	33.6	35.3	36.2	38.3	33.0	33.9	272.09	314.00	167,440	251,160	27.71	31.98	28.42	42.63
11:30:00	32.2	615.8	33.8	35.6	38.2	40.4	33.2	34.2	460.46	502.40	167,440	251,160	37.39	40.79	22.66	33.99
11:40:00	32.9	674.2	34.0	35.9	39.5	41.6	33.5	34.5	575.58	596.60	251,160	251,160	42.69	44.25	31.04	31.04
11:50:00	33.0	719.7	34.4	36.3	40.6	42.9	33.9	35.0	648.83	690.80	334,880	418,600	45.08	47.99	38.78	48.47
12:00:00	33.3	747.5	34.8	36.7	41.5	43.8	34.3	35.4	701.16	743.14	334,880	334,880	46.90	49.71	37.33	37.33

ตารางผนวกที่ 3 (ต่อ)

Time (hr)	T_a (°C)	I_f (W/m ²)	T_{fi} (°C)		T_{fo} (°C)		T_s (°C)		Q_{coll} (W)		Q_s (J)		η_{coll} (%)		η_{system} (%)	
			water	NF	water	NF	water	NF	water	NF	water	NF	water	NF	water	NF
12:10:00	33.1	782.1	35.2	37.2	42.6	45.0	34.8	36.0	774.41	816.40	418,600	502,320	49.51	52.19	44.60	53.52
12:20:00	32.7	818.0	35.7	37.8	43.7	46.2	35.3	36.5	837.20	879.21	418,600	418,600	51.17	53.74	42.64	42.64
12:30:00	32.3	808.0	36.2	38.4	43.9	46.5	35.9	37.1	805.81	847.80	502,320	502,320	49.86	52.46	51.81	51.81
12:40:00	32.8	714.8	36.8	39.0	42.7	45.2	36.4	37.7	617.44	648.94	418,600	502,320	43.19	45.39	48.80	58.56
12:50:00	33.8	648.5	37.3	39.6	42.1	44.7	36.8	38.2	502.32	533.80	334,880	418,600	38.73	41.16	43.03	53.79
13:00:00	33.3	680.1	37.7	40.1	42.9	45.6	37.1	38.6	544.18	575.67	251,160	334,880	40.01	42.32	30.77	41.03
13:10:00	33.8	640.5	38.1	40.5	42.6	45.4	37.5	39.0	470.93	512.87	334,880	334,880	36.76	40.04	43.57	43.57
13:20:00	33.6	682.1	38.4	41.0	43.7	46.4	37.8	39.3	554.65	565.20	251,160	251,160	40.66	41.43	30.68	30.68
13:30:00	34.4	737.6	38.8	41.3	45.0	47.9	38.2	39.8	648.83	690.80	334,880	418,600	43.98	46.83	37.83	47.29
13:40:00	33.6	777.2	39.2	41.8	46.1	49.0	38.6	40.3	722.09	753.60	334,880	418,600	46.45	48.48	35.91	44.88
13:50:00	33.8	790.0	39.6	42.3	46.7	49.7	39.1	40.8	743.02	774.54	418,600	418,600	47.03	49.02	44.16	44.16
14:00:00	32.8	615.8	40.1	42.9	44.0	47.0	39.6	41.3	408.14	429.14	418,600	418,600	33.14	34.84	56.65	56.65
14:10:00	33.1	539.6	40.6	43.4	43.4	46.5	39.9	41.7	293.02	324.47	251,160	334,880	27.15	30.07	38.79	51.72
14:20:00	33.5	418.8	40.9	43.8	42.3	45.4	40.1	41.9	146.51	167.47	167,440	167,440	17.49	19.99	33.32	33.32
14:30:00	33.2	473.2	41.1	44.0	43.1	46.2	40.2	42.1	209.30	230.27	83,720	167,440	22.12	24.33	14.74	29.49
14:40:00	32.7	490.1	41.2	44.2	43.3	46.5	40.4	42.3	219.76	240.73	167,440	167,440	22.42	24.56	28.47	28.47
14:50:00	33.2	452.4	41.4	44.4	43.1	46.3	40.5	42.5	177.91	198.87	83,720	167,440	19.66	21.98	15.42	30.84
15:00:00	33.3	420.8	41.5	44.6	42.9	46.2	40.7	42.7	146.51	167.47	167,440	167,440	17.41	19.90	33.16	33.16

ตารางผนวกที่ 4 ผลการทดสอบเมื่อใช้ค่าความเข้มข้นของสารทำงานนาโน 0.050 %wt ยัตตราการไหล 2.0 LPM

Time (hr)	T_a (°C)	h_T (W/m ²)	T_f (°C)		T_{fo} (°C)		T_s (°C)		Q_{coll} (W)		Q_s (J)		η_{coll} (%)		η_{system} (%)			
			water	NF	water	NF	water	NF	water	NF	water	NF	water	NF	water	NF	water	NF
09:00:00	28.1	320.0	29.1	29.8	29.5	30.6	29.1	29.3	55.81	111.65			8.72	17.44				
09:10:00	27.5	351.0	30.0	31.0	30.5	31.9	29.2	29.5	69.77	125.60	83,720	167,440	9.94	17.89	19.88	39.75		
09:20:00	27.7	420.0	30.0	31.0	31.0	32.5	29.3	29.7	139.53	209.33	83,720	167,440	16.61	24.92	16.61	33.22		
09:30:00	29.4	474.0	30.1	31.2	31.6	33.2	29.4	29.9	209.30	279.11	83,720	167,440	22.08	29.44	14.72	29.44		
09:40:00	29.8	513.0	30.2	31.4	32.1	33.7	29.6	30.1	265.11	320.98	167,440	167,440	25.84	31.28	27.20	27.20		
09:50:00	29.7	591.0	30.3	31.6	33.1	34.8	29.8	30.3	390.69	446.58	167,440	167,440	33.05	37.78	23.61	23.61		
10:00:00	29.5	671.0	30.5	31.9	34.3	36.1	30.1	30.7	530.22	586.14	251,160	334,880	39.51	43.68	31.19	41.59		
10:10:00	28.9	652.0	30.8	32.2	34.3	36.1	30.4	31.1	488.36	544.27	251,160	334,880	37.45	41.74	32.10	42.80		
10:20:00	29.5	602.0	31.2	32.7	34.0	36.0	30.7	31.5	390.69	460.54	251,160	334,880	32.45	38.25	34.77	46.36		
10:30:00	30.4	590.0	31.5	33.1	34.3	36.3	31.0	31.8	390.69	446.58	251,160	251,160	33.11	37.85	35.47	35.47		
10:40:00	31.2	618.0	31.8	33.4	34.9	37.0	31.3	32.2	432.55	502.40	251,160	334,880	35.00	40.65	33.87	45.16		
10:50:00	31.8	629.0	32.1	33.8	35.3	37.5	31.6	32.5	446.50	516.36	251,160	251,160	35.49	41.05	33.28	33.28		
11:00:00	31.9	703.0	32.4	34.2	36.6	38.8	31.9	32.9	586.03	641.96	251,160	334,880	41.68	45.66	29.77	39.70		
11:10:00	32.5	614.0	32.7	34.6	35.8	38.1	32.3	33.4	432.55	488.45	334,880	418,600	35.22	39.78	45.45	56.81		
11:20:00	33.1	629.0	33.2	35.1	36.5	38.7	32.6	33.7	460.46	502.40	251,160	251,160	36.60	39.94	33.28	33.28		
11:30:00	33.1	698.0	33.4	35.4	37.6	40.0	32.9	34.1	586.03	641.96	251,160	334,880	41.98	45.99	29.99	39.98		
11:40:00	33.3	702.0	33.7	35.8	37.9	40.5	33.3	34.6	586.03	655.91	334,880	418,600	41.74	46.72	39.75	49.69		
11:50:00	34.0	721.0	34.1	36.3	38.6	41.2	33.7	35.0	627.89	683.83	334,880	334,880	43.54	47.42	38.71	38.71		
12:00:00	34.3	728.0	34.5	36.8	39.1	41.8	34.1	35.5	641.85	697.78	334,880	418,600	44.08	47.92	38.33	47.92		

ตารางผนวกที่ 4 (ต่อ)

Time (hr)	T _a (°C)	I _T (W/m ²)	T _{f_i} (°C)		T _{f_o} (°C)		T _s (°C)		Q _{coll} (W)		Q _s (J)		η _{coll} (%)		η _{system} (%)	
			water	NF	water	NF	water	NF	water	NF	water	NF	water	NF	water	NF
12:10:00	34.3	800.0	34.9	37.3	40.6	43.4	34.5	36.0	795.33	851.29	334,880	418,600	49.71	53.21	34.88	43.60
12:20:00	35.2	812.0	35.4	37.8	41.3	44.1	35.0	36.6	823.24	879.21	418,600	502,320	50.69	54.14	42.96	51.55
12:30:00	35.2	807.0	35.9	38.5	41.7	44.6	35.6	37.2	809.29	851.29	502,320	502,320	50.14	52.74	51.87	51.87
12:40:00	35.7	800.0	36.5	39.1	42.1	45.1	36.1	37.8	781.38	837.34	418,600	502,320	48.84	52.33	43.60	52.32
12:50:00	34.6	758.0	37.0	39.7	41.9	45.0	36.6	38.4	683.71	739.65	418,600	502,320	45.10	48.79	46.02	55.22
13:00:00	33.0	683.0	37.5	40.3	41.2	44.4	37.0	38.9	516.27	572.18	334,880	418,600	37.79	41.89	40.86	51.07
13:10:00	33.5	769.0	38.0	40.9	42.8	46.1	37.4	39.3	669.75	725.69	334,880	334,880	43.55	47.18	36.29	36.29
13:20:00	34.2	783.0	38.3	41.3	43.4	46.8	37.8	39.9	711.61	767.56	334,880	502,320	45.44	49.01	35.64	53.46
13:30:00	33.8	790.0	38.8	41.9	43.9	47.4	38.3	40.4	711.61	767.56	418,600	418,600	45.04	48.58	44.16	44.16
13:40:00	33.8	711.0	39.3	42.4	43.2	46.7	38.8	40.9	544.17	600.09	418,600	418,600	38.27	42.20	49.06	49.06
13:50:00	33.3	751.0	39.8	43.0	44.2	47.8	39.2	41.4	613.94	669.87	334,880	418,600	40.87	44.60	37.16	46.45
14:00:00	33.6	620.0	40.1	43.5	42.9	46.5	39.6	41.9	390.69	418.67	334,880	418,600	31.51	33.76	45.01	56.26
14:10:00	33.6	650.0	40.6	44.0	43.6	47.4	39.8	42.2	418.60	474.49	167,440	251,160	32.20	36.50	21.47	32.20
14:20:00	32.8	640.0	40.8	44.3	43.7	47.5	40.1	42.6	404.64	446.58	251,160	334,880	31.61	34.89	32.70	43.60
14:30:00	32.7	611.0	41.1	44.7	43.6	47.5	40.4	42.9	348.83	390.76	251,160	251,160	28.55	31.98	34.26	34.26
14:40:00	31.7	586.0	41.4	45.1	43.6	47.5	40.7	43.2	306.97	334.94	251,160	251,160	26.19	28.58	35.72	35.72
14:50:00	30.9	554.0	41.7	45.4	43.4	47.5	40.9	43.5	237.20	293.07	167,440	251,160	21.41	26.45	25.19	37.78
15:00:00	30.7	511.0	41.9	45.7	43.2	47.3	41.1	43.8	181.39	223.29	167,440	251,160	17.75	21.85	27.31	40.96

ตารางผนวกที่ 5 ผลการทดสอบเมื่อใช้ค่าความเข้มข้นของสารทำงานนานาใน 0.075 %wt อัตราการไหล 1.0 LPM

Time (hr)	T_a (°C)	I_T (W/m ²)	T_{fi} (°C)		T_{fo} (°C)		T_s (°C)		Q_{coll} (W)		Q_s (J)		η_{coll} (%)		η_{system} (%)	
			water	NF	water	NF	water	NF	water	NF	water	NF	water	NF	water	NF
09:00:00	28.4	365.0	29.4	30.1	31.7	32.7	29.5	29.8	160.47	181.43			21.98	24.85		
09:10:00	27.6	394.0	30.3	31.3	32.9	34.1	29.6	29.9	181.40	195.39	83,720	83,720	23.02	24.80	17.71	17.71
09:20:00	29.0	422.0	30.4	31.4	33.5	34.8	29.8	30.1	216.28	237.26	167,440	167,440	25.63	28.11	33.06	33.06
09:30:00	29.7	474.0	30.5	31.6	34.6	35.9	29.9	30.3	286.05	300.06	83,720	167,440	30.17	31.65	14.72	29.44
09:40:00	30.6	533.0	30.7	31.8	36.0	37.4	30.1	30.5	369.77	390.77	167,440	167,440	34.69	36.66	26.18	26.18
09:50:00	30.3	563.0	30.9	32.0	36.8	38.2	30.4	30.8	411.63	432.64	251,160	251,160	36.56	38.42	37.18	37.18
10:00:00	30.1	550.0	31.1	32.3	36.7	38.2	30.6	31.1	390.70	411.71	167,440	251,160	35.52	37.43	25.37	38.05
10:10:00	30.0	499.0	31.4	32.7	35.9	37.4	30.9	31.4	313.96	327.97	251,160	251,160	31.46	32.86	41.94	41.94
10:20:00	30.7	611.0	31.7	33.0	38.7	40.3	31.1	31.6	488.38	509.40	167,440	167,440	39.97	41.69	22.84	22.84
10:30:00	31.4	648.0	31.9	33.2	39.9	41.5	31.5	32.0	558.14	579.18	334,880	334,880	43.07	44.69	43.07	43.07
10:40:00	31.9	583.0	32.2	33.6	38.7	40.3	31.8	32.4	453.49	467.53	251,160	334,880	38.89	40.10	35.90	47.87
10:50:00	31.6	610.0	32.6	34.0	39.6	41.3	32.1	32.7	488.38	509.40	251,160	251,160	40.03	41.75	34.31	34.31
11:00:00	32.6	649.0	32.9	34.4	41.0	42.7	32.5	33.1	565.12	579.18	334,880	334,880	43.54	44.62	43.00	43.00
11:10:00	32.5	621.0	33.3	34.7	40.5	42.3	32.8	33.5	502.33	530.34	251,160	334,880	40.45	42.70	33.70	44.94
11:20:00	32.0	650.0	33.7	35.2	41.5	43.3	33.2	33.9	544.19	565.23	334,880	334,880	41.86	43.48	42.93	42.93
11:30:00	32.7	676.0	34.0	35.6	42.6	44.5	33.5	34.3	600.01	621.05	251,160	334,880	44.38	45.94	30.96	41.28
11:40:00	33.9	695.0	34.4	36.0	43.6	45.5	33.9	34.7	641.87	662.92	334,880	334,880	46.18	47.69	40.15	40.15
11:50:00	33.3	666.0	34.8	36.4	43.1	45.0	34.4	35.2	579.07	600.12	418,600	418,600	43.47	45.05	52.38	52.38
12:00:00	33.4	674.0	35.2	36.9	43.7	45.7	34.8	35.6	593.03	614.07	334,880	334,880	43.99	45.55	41.40	41.40

ตารางผนวกที่ 5 (ต่อ)

Time (hr)	T_a (°C)	I_T (W/m ²)	T_{fi} (°C)		T_{fo} (°C)		T_s (°C)		Q_{coll} (W)		Q_s (J)		η_{coll} (%)		η_{system} (%)	
			water	NF	water	NF	water	NF	water	NF	water	NF	water	NF	water	NF
12:10:00	33.4	655.0	35.6	37.4	43.5	45.6	35.2	36.0	551.17	572.21	334,880	334,880	42.07	43.68	42.61	42.61
12:20:00	33.1	645.0	36.0	37.8	43.6	45.6	35.5	36.4	530.24	544.29	251,160	334,880	41.10	42.19	32.45	43.27
12:30:00	32.8	510.0	36.4	38.2	40.9	42.9	35.9	36.8	313.96	327.97	334,880	334,880	30.78	32.15	54.72	54.72
12:40:00	33.9	696.0	36.8	38.7	45.7	47.8	36.1	37.0	620.94	635.01	167,440	167,440	44.61	45.62	20.05	20.05
12:50:00	33.7	550.0	37.0	38.9	42.3	44.4	36.5	37.5	369.77	383.80	334,880	418,600	33.62	34.89	50.74	63.42
13:00:00	33.3	705.0	37.4	39.4	46.4	48.6	36.8	37.8	627.91	641.99	251,160	251,160	44.53	45.53	29.69	29.69
13:10:00	33.5	589.0	37.7	39.7	43.8	46.0	37.2	38.2	425.59	439.62	334,880	334,880	36.13	37.32	47.38	47.38
13:20:00	33.2	685.0	38.1	40.2	46.4	48.7	37.5	38.5	579.07	593.14	251,160	251,160	42.27	43.29	30.55	30.55
13:30:00	34.4	653.0	38.4	40.5	46.0	48.3	37.9	39.0	530.24	544.29	334,880	418,600	40.60	41.68	42.74	53.42
13:40:00	35.4	675.0	38.8	40.9	47.1	49.4	38.2	39.4	579.07	593.14	251,160	334,880	42.89	43.94	31.01	41.34
13:50:00	34.7	618.0	39.2	41.3	45.9	48.2	38.6	39.8	467.45	481.49	334,880	334,880	37.82	38.96	45.16	45.16
14:00:00	33.8	603.0	39.6	41.8	45.8	48.2	38.9	40.1	432.56	446.60	251,160	251,160	35.87	37.03	34.71	34.71
14:10:00	33.4	575.0	39.9	42.2	45.4	47.8	39.2	40.4	383.72	390.77	251,160	251,160	33.37	33.98	36.40	36.40
14:20:00	33.8	553.0	40.2	42.5	45.2	47.7	39.5	40.7	348.84	362.86	251,160	251,160	31.54	32.81	37.85	37.85
14:30:00	33.6	526.0	40.5	42.8	44.9	47.4	39.7	41.0	306.98	320.99	167,440	251,160	29.18	30.51	26.53	39.79
14:40:00	34.1	517.0	40.7	43.1	45.0	47.5	39.9	41.3	300.00	307.04	167,440	251,160	29.01	29.69	26.99	40.48
14:50:00	34.0	491.0	40.9	43.3	44.7	47.3	40.1	41.5	265.12	279.12	167,440	167,440	27.00	28.42	28.42	28.42
15:00:00	34.0	463.0	41.2	43.6	44.4	47.0	40.3	41.7	223.26	237.26	167,440	167,440	24.11	25.62	30.14	30.14

ตารางผนวกที่ 6 ผลการทดสอบเมื่อใช้ค่าความเข้มข้นของสารทำงานนานาใน 0.075 %wt อัตราการไหล 1.5 LPM

Time (hr)	T _a (°C)	I _T (W/m ²)	T _{f1} (°C)		T _{fo} (°C)		T _s (°C)		Q _{coll} (W)		Q _s (J)		η _{coll} (%)		η _{system} (%)	
			water	NF	water	NF	water	NF	water	NF	water	NF	water	NF	water	NF
09:00:00	28.4	385.0	29.4	30.1	30.9	31.9	29.5	29.8	156.98	188.42			20.39	24.47		
09:10:00	29.0	419.0	30.3	31.3	32.1	33.5	29.6	29.9	188.37	230.29	83,720	83,720	22.48	27.48	16.65	16.65
09:20:00	29.2	422.0	30.3	31.4	32.2	33.6	29.7	30.1	198.84	230.29	83,720	167,440	23.56	27.29	16.53	33.06
09:30:00	30.0	454.0	30.5	31.6	32.7	34.2	29.9	30.3	230.23	272.16	167,440	167,440	25.36	29.97	30.73	30.73
09:40:00	29.6	436.0	30.6	31.8	32.7	34.1	30.1	30.5	219.77	240.75	167,440	167,440	25.20	27.61	32.00	32.00
09:50:00	30.4	510.0	30.8	32.0	33.8	35.3	30.2	30.7	313.95	345.43	83,720	167,440	30.78	33.87	13.68	27.36
10:00:00	30.7	537.0	31.0	32.2	34.3	35.9	30.4	30.9	345.35	387.30	167,440	167,440	32.16	36.06	25.98	25.98
10:10:00	31.0	457.0	31.2	32.5	33.5	35.1	30.7	31.2	240.70	272.16	251,160	251,160	26.33	29.78	45.80	45.80
10:20:00	31.0	542.0	31.4	32.8	34.9	36.6	30.8	31.4	366.28	397.77	83,720	167,440	33.79	36.69	12.87	25.74
10:30:00	31.4	665.0	31.6	33.0	37.0	38.8	31.1	31.7	565.11	607.12	251,160	251,160	42.49	45.65	31.47	31.47
10:40:00	31.5	719.0	31.9	33.3	38.2	40.1	31.5	32.2	659.30	711.80	334,880	418,600	45.85	49.50	38.81	48.52
10:50:00	32.0	635.0	32.3	33.8	37.1	39.0	31.9	32.7	502.32	544.31	334,880	418,600	39.55	42.86	43.95	54.93
11:00:00	32.3	715.0	32.7	34.3	39.0	41.0	32.2	33.1	659.30	701.33	251,160	334,880	46.10	49.04	29.27	39.03
11:10:00	32.8	706.0	33.1	34.7	39.2	41.2	32.7	33.5	638.37	680.39	418,600	334,880	45.21	48.19	49.41	39.53
11:20:00	33.1	769.0	33.5	35.2	40.8	42.9	33.1	34.0	763.95	806.00	334,880	418,600	49.67	52.41	36.29	45.36
11:30:00	33.4	770.0	33.9	35.7	41.3	43.4	33.6	34.6	774.41	806.00	418,600	502,320	50.29	52.34	45.30	54.36
11:40:00	34.0	784.0	34.5	36.3	42.1	44.3	34.1	35.1	795.34	837.41	418,600	418,600	50.72	53.41	44.49	44.49
11:50:00	34.5	790.0	35.0	36.9	42.7	45.0	34.6	35.7	805.81	847.87	418,600	502,320	51.00	53.66	44.16	52.99
12:00:00	35.0	795.0	35.5	37.5	43.4	45.7	35.2	36.3	826.74	858.34	502,320	502,320	52.00	53.98	52.65	52.65

ตารางผนวกที่ 6 (ต่อ)

Time (hr)	T_a (°C)	I_T (W/m ²)	T_{fi} (°C)		T_{fo} (°C)		T_s (°C)		Q_{coll} (W) water	Q_s (J) NF	η_{coll} (%)		η_{system} (%)			
			water	NF	water	NF	water	NF			water	NF	water	NF		
12:10:00	35.6	785.0	36.1	38.1	43.7	46.1	35.7	36.9	795.34	837.41	418,600	502,320	50.66	53.34	44.44	53.32
12:20:00	36.4	789.0	36.6	38.8	44.4	46.9	36.2	37.5	816.27	847.87	418,600	502,320	51.73	53.73	44.21	53.05
12:30:00	36.0	790.0	37.2	39.4	44.8	47.4	36.8	38.1	795.34	837.41	502,320	502,320	50.34	53.00	52.99	52.99
12:40:00	34.9	675.0	37.7	40.0	43.0	45.6	37.3	38.6	554.65	586.19	418,600	418,600	41.08	43.42	51.68	51.68
12:50:00	35.0	685.0	38.2	40.6	43.7	46.3	37.7	39.1	575.58	596.65	334,880	418,600	42.01	43.55	40.74	50.92
13:00:00	34.7	774.0	38.6	41.0	45.6	48.4	38.1	39.5	732.55	774.60	334,880	334,880	47.32	50.04	36.06	36.06
13:10:00	34.9	679.0	39.0	41.5	44.3	47.0	38.5	40.0	554.65	575.72	334,880	418,600	40.84	42.39	41.10	51.37
13:20:00	34.2	664.0	39.5	42.1	44.4	47.2	38.9	40.5	512.79	533.85	334,880	418,600	38.61	40.20	42.03	52.54
13:30:00	35.2	738.0	39.9	42.5	46.1	49.0	39.3	40.8	648.83	680.39	334,880	251,160	43.96	46.10	37.81	28.36
13:40:00	34.8	689.0	40.2	42.9	45.5	48.5	39.7	41.3	554.65	586.19	334,880	418,600	40.25	42.54	40.50	50.63
13:50:00	34.2	543.0	40.7	43.4	43.6	46.6	40.1	41.8	303.49	334.96	334,880	418,600	27.95	30.84	51.39	64.24
14:00:00	33.8	569.0	41.1	43.9	44.3	47.4	40.3	42.0	334.88	366.37	167,440	167,440	29.43	32.19	24.52	24.52
14:10:00	34.9	615.0	41.3	44.1	45.3	48.4	40.5	42.3	418.60	450.11	167,440	251,160	34.03	36.59	22.69	34.03
14:20:00	34.5	602.0	41.5	44.5	45.3	48.4	40.8	42.7	397.67	408.24	251,160	334,880	33.03	33.91	34.77	46.36
14:30:00	34.0	598.0	41.8	44.8	45.4	48.7	41.1	43.0	376.74	408.24	251,160	251,160	31.50	34.13	35.00	35.00
14:40:00	35.1	653.0	42.1	45.1	46.6	49.9	41.3	43.3	470.93	502.44	167,440	251,160	36.06	38.47	21.37	32.05
14:50:00	34.1	627.0	42.4	45.5	46.4	49.7	41.7	43.7	418.60	439.64	334,880	334,880	33.38	35.06	44.51	44.51
15:00:00	35.1	572.0	42.7	45.9	46.0	49.3	42.0	44.0	345.35	355.90	251,160	251,160	30.19	31.11	36.59	36.59

ตารางผนวกที่ 7 ผลการทดสอบเมื่อใช้ค่าความเข้มข้นของสารทำงานนานาใน 0.075 %wt อัตราการไหล 2.0 LPM

Time (hr)	T _a (°C)	I _T (W/m ²)	T _{f1} (°C)		T _{f0} (°C)		T _s (°C)		Q _{coll} (W)		Q _s (J)		η _{coll} (%)		η _{sys} (%)	
			water	NF	water	NF	water	NF	water	NF	water	NF	water	NF	water	NF
09:00:00	28.5	454.0	29.5	30.2	30.9	32.0	29.6	29.9	195.34	251.22			21.51	27.67		
09:10:00	29.9	462.0	30.4	31.4	31.9	33.3	29.7	30.0	209.30	265.18	83,720	83,720	22.65	28.70	15.10	15.10
09:20:00	30.0	460.0	30.5	31.6	31.9	33.4	29.9	30.3	195.34	251.22	167,440	251,160	21.23	27.31	30.33	45.50
09:30:00	29.4	418.0	30.6	31.8	31.7	33.3	30.0	30.5	153.49	209.35	83,720	167,440	18.36	25.04	16.69	33.38
09:40:00	28.2	413.0	30.8	32.0	31.8	33.4	30.1	30.7	139.53	195.39	83,720	167,440	16.89	23.66	16.89	33.79
09:50:00	28.6	549.0	30.9	32.2	33.2	34.9	30.3	30.8	320.92	376.83	167,440	83,720	29.23	34.32	25.42	12.71
10:00:00	28.5	479.0	31.0	32.4	32.6	34.3	30.5	31.1	223.25	265.18	167,440	251,160	23.30	27.68	29.13	43.70
10:10:00	31.0	574.0	31.2	32.7	33.9	35.8	30.6	31.3	376.74	432.66	83,720	167,440	32.82	37.69	12.15	24.31
10:20:00	31.1	741.0	31.4	32.9	36.2	38.2	30.9	31.7	669.75	739.70	251,160	334,880	45.19	49.91	28.25	37.66
10:30:00	31.3	669.0	31.7	33.3	35.5	37.5	31.4	32.2	530.22	586.18	418,600	418,600	39.63	43.81	52.14	52.14
10:40:00	31.0	648.0	32.1	33.8	35.6	37.7	31.7	32.6	488.36	544.31	251,160	334,880	37.68	42.00	32.30	43.07
10:50:00	31.5	690.0	32.5	34.3	36.5	38.7	32.0	33.0	558.13	614.09	251,160	334,880	40.44	44.50	30.33	40.44
11:00:00	32.0	683.0	32.8	34.7	36.8	39.1	32.4	33.5	558.13	614.09	334,880	418,600	40.86	44.96	40.86	51.07
11:10:00	31.0	749.0	33.2	35.1	38.0	40.4	32.8	33.9	669.75	739.70	334,880	334,880	44.71	49.38	37.26	37.26
11:20:00	32.5	651.0	33.6	35.6	37.1	39.5	33.2	34.4	488.36	544.31	334,880	418,600	37.51	41.81	42.87	53.58
11:30:00	31.9	630.0	34.0	36.1	37.2	39.7	33.5	34.8	446.50	502.44	251,160	334,880	35.44	39.88	33.22	44.30
11:40:00	33.6	784.0	34.4	36.6	39.8	42.4	33.8	35.2	753.47	809.49	251,160	334,880	48.05	51.63	26.70	35.60
11:50:00	34.1	777.0	34.7	36.9	40.0	42.7	34.3	35.8	739.52	809.49	418,600	502,320	47.59	52.09	44.89	53.87
12:00:00	32.8	815.0	35.2	37.6	41.0	43.7	34.8	36.3	809.29	851.36	418,600	418,600	49.65	52.23	42.80	42.80

ตารางผนวกที่ 7 (ต่อ)

Time (hr)	T_a (°C)	I_t (W/m ²)	T_{fi} (°C)		T_{fo} (°C)		T_s (°C)		Q_{coll} (W)		Q_s (J)		η_{coll} (%)		η_{system} (%)	
			water	NF	water	NF	water	NF	water	NF	water	NF	water	NF	water	NF
12:10:00	33.7	820.0	35.7	38.1	41.6	44.4	35.4	36.9	823.24	879.27	502,320	502,320	50.20	53.61	51.05	51.05
12:20:00	33.4	766.0	36.2	38.8	41.2	44.1	35.9	37.5	697.66	739.70	418,600	502,320	45.54	48.28	45.54	54.65
12:30:00	33.7	772.0	36.8	39.4	41.8	44.9	36.3	38.0	697.66	767.62	334,880	418,600	45.19	49.72	36.15	45.19
12:40:00	33.6	863.0	37.3	40.0	43.7	46.8	36.8	38.6	893.00	949.05	418,600	502,320	51.74	54.99	40.42	48.51
12:50:00	34.0	790.0	37.7	40.5	43.0	46.2	37.4	39.3	739.52	795.53	502,320	586,040	46.81	50.35	52.99	61.82
13:00:00	33.9	798.0	38.3	41.2	43.7	46.9	37.9	39.8	753.47	795.53	418,600	418,600	47.21	49.85	43.71	43.71
13:10:00	34.3	791.0	38.8	41.8	44.0	47.4	38.4	40.4	725.57	781.57	418,600	502,320	45.86	49.40	44.10	52.92
13:20:00	34.6	752.0	39.3	42.4	43.9	47.4	38.8	40.9	641.85	697.83	334,880	418,600	42.68	46.40	37.11	46.39
13:30:00	35.2	795.0	39.8	43.0	45.1	48.6	39.3	41.4	739.52	781.57	418,600	418,600	46.51	49.16	43.88	43.88
13:40:00	35.1	787.0	40.3	43.5	45.3	48.9	39.8	42.0	697.66	753.66	418,600	502,320	44.32	47.88	44.32	53.19
13:50:00	35.0	700.0	40.8	44.1	44.6	48.2	40.2	42.5	530.22	572.22	334,880	418,600	37.87	40.87	39.87	49.83
14:00:00	35.3	762.0	41.2	44.7	45.9	49.7	40.6	42.9	655.80	697.83	334,880	334,880	43.03	45.79	36.62	36.62
14:10:00	35.2	835.0	41.6	45.1	47.3	51.2	41.0	43.4	795.33	851.36	334,880	418,600	47.62	50.98	33.42	41.78
14:20:00	34.2	750.0	42.0	45.6	46.4	50.3	41.6	44.1	613.94	655.96	502,320	586,040	40.93	43.73	55.81	65.12
14:30:00	35.0	781.0	42.6	46.3	47.4	51.4	41.9	44.5	669.75	711.79	251,160	334,880	42.88	45.57	26.80	35.73
14:40:00	33.3	691.0	43.0	46.8	46.4	50.5	42.4	45.0	474.41	516.40	418,600	418,600	34.33	37.37	50.48	50.48
14:50:00	32.3	665.0	43.5	47.3	46.4	50.6	42.7	45.4	404.64	460.57	251,160	334,880	30.42	34.63	31.47	41.96
15:00:00	32.3	621.0	43.8	47.7	46.2	50.5	43.0	45.8	334.88	390.79	251,160	334,880	26.96	31.46	33.70	44.94

ตารางผนวกที่ 8 ผลการทดสอบเมื่อใช้ค่าความเข้มข้นของสารทำงานนาโน 0.100 %wt อัตราการไหล 1.0 LPM

Time (hr)	T _a (°C)	I _T (W/m ²)	T _{f1} (°C)		T _{f0} (°C)		T _s (°C)		Q _{coll} (W)		Q _s (J)		η _{coll} (%)		η _{system} (%)	
			water	NF	water	NF	water	NF	water	NF	water	NF	water	NF	water	NF
09:00:00	28.5	332.5	29.5	30.2	31.4	32.3	29.6	29.9	132.56	146.56			19.93	22.04		
09:10:00	28.7	352.0	30.4	31.4	32.5	33.7	29.7	30.0	146.51	160.51	83,720	83,720	20.81	22.80	19.82	19.82
09:20:00	29.4	416.5	30.4	31.5	33.5	34.8	29.8	30.1	216.28	230.30	83,720	83,720	25.96	27.65	16.75	16.75
09:30:00	29.0	466.6	30.5	31.6	34.5	35.8	30.0	30.3	279.07	293.11	167,440	167,440	29.90	31.41	29.90	29.90
09:40:00	29.5	464.9	30.7	31.8	34.6	36.0	30.1	30.5	272.10	293.11	83,720	167,440	29.26	31.52	15.01	30.01
09:50:00	30.0	546.0	30.9	32.1	36.5	37.9	30.3	30.7	390.70	404.77	167,440	167,440	35.78	37.07	25.56	25.56
10:00:00	31.0	592.8	31.1	32.3	37.8	39.3	30.6	31.0	467.45	488.52	251,160	251,160	39.43	41.20	35.31	35.31
10:10:00	31.1	517.8	31.4	32.6	36.4	37.9	30.9	31.4	348.84	369.88	251,160	334,880	33.68	35.72	40.42	53.89
10:20:00	31.2	632.5	31.7	33.0	39.3	40.9	31.2	31.6	530.24	551.33	251,160	167,440	41.92	43.58	33.09	22.06
10:30:00	31.9	750.7	31.9	33.2	42.8	44.5	31.5	32.0	760.47	788.61	251,160	334,880	50.65	52.52	27.88	37.17
10:40:00	32.3	739.2	32.3	33.7	42.9	44.6	32.0	32.6	739.54	760.69	418,600	502,320	50.02	51.45	47.19	56.63
10:50:00	32.7	680.1	32.8	34.2	41.7	43.4	32.5	33.1	620.94	642.05	418,600	418,600	45.65	47.20	51.29	51.29
11:00:00	33.2	693.9	33.3	34.8	42.6	44.4	32.9	33.6	648.84	669.97	334,880	418,600	46.75	48.28	40.22	50.27
11:10:00	33.7	733.0	33.7	35.3	44.1	46.0	33.4	34.0	725.59	746.73	418,600	334,880	49.49	50.94	47.59	38.07
11:20:00	34.0	726.0	34.2	35.7	44.3	46.2	33.8	34.5	704.66	732.78	334,880	418,600	48.53	50.47	38.44	48.05
11:30:00	33.5	758.6	34.7	36.3	45.6	47.6	34.3	35.0	760.47	788.61	418,600	418,600	50.12	51.98	45.98	45.98
11:40:00	33.2	735.1	35.2	36.8	45.3	47.3	34.8	35.6	704.66	732.78	418,600	502,320	47.93	49.84	47.45	56.94
11:50:00	35.5	764.5	35.7	37.4	47.0	49.0	35.3	36.1	788.38	809.54	418,600	418,600	51.56	52.95	45.63	45.63
12:00:00	35.7	774.3	36.2	37.9	47.7	49.8	35.8	36.7	802.33	830.48	418,600	502,320	51.81	53.63	45.05	54.06

ตารางผนวกที่ 8 (ต่อ)

Time (hr)	T _a (°C)	I _T (W/m ²)	T _{f1} (°C)		T _{f0} (°C)		T _s (°C)		Q _{coll} (W)		Q _s (J)		η_{coll} (%)		η_{system} (%)	
			water	NF	water	NF	water	NF	water	NF	water	NF	water	NF	water	NF
12:10:00	36.0	752.0	36.7	38.5	47.5	49.7	36.3	37.2	753.50	781.63	418,600	418,600	50.10	51.97	46.39	46.39
12:20:00	35.9	789.0	37.3	39.1	49.1	51.3	36.8	37.8	823.26	851.42	418,600	502,320	52.17	53.96	44.21	53.05
12:30:00	35.4	756.8	37.8	39.7	48.5	50.7	37.4	38.4	746.52	767.67	502,320	502,320	49.32	50.72	55.31	55.31
12:40:00	35.0	754.2	38.3	40.3	48.8	51.1	37.9	38.9	732.56	753.71	418,600	418,600	48.57	49.97	46.25	46.25
12:50:00	35.0	718.9	38.8	40.9	48.2	50.5	38.4	39.4	655.82	669.97	418,600	418,600	45.61	46.60	48.52	48.52
13:00:00	34.9	684.5	39.3	41.4	47.7	50.0	38.8	39.9	586.05	600.18	334,880	418,600	42.81	43.84	40.77	50.96
13:10:00	35.0	756.8	39.8	41.9	50.1	52.5	39.2	40.3	718.61	739.76	334,880	334,880	47.48	48.87	36.87	36.87
13:20:00	34.0	630.7	40.2	42.3	47.0	49.3	39.7	40.8	474.42	488.52	418,600	418,600	37.61	38.73	55.31	55.31
13:30:00	33.3	640.4	40.7	42.9	47.5	50.0	40.0	41.2	474.42	495.50	251,160	334,880	37.04	38.69	32.68	43.58
13:40:00	34.1	680.1	41.0	43.3	48.9	51.4	40.3	41.5	551.17	565.29	251,160	251,160	40.52	41.56	30.77	30.77
13:50:00	33.7	676.6	41.3	43.6	49.0	51.6	40.7	41.9	537.21	558.31	334,880	334,880	39.70	41.26	41.25	41.25
14:00:00	34.7	603.3	41.7	44.1	47.8	50.3	41.1	42.3	425.59	432.69	334,880	334,880	35.27	35.86	46.26	46.26
14:10:00	34.5	652.7	42.1	44.5	49.2	51.8	41.3	42.7	495.35	509.45	167,440	334,880	37.95	39.03	21.38	42.76
14:20:00	33.7	598.8	42.4	44.8	48.1	50.7	41.7	43.0	397.68	411.75	334,880	251,160	33.21	34.38	46.60	34.95
14:30:00	34.5	615.7	42.7	45.2	48.9	51.5	42.0	43.3	432.56	439.67	251,160	251,160	35.13	35.70	33.99	33.99
14:40:00	34.6	571.6	43.0	45.5	48.2	50.9	42.3	43.7	362.79	376.86	251,160	334,880	31.73	32.97	36.62	48.82
14:50:00	34.8	620.1	43.3	45.9	49.5	52.3	42.5	43.9	432.56	446.65	167,440	167,440	34.88	36.01	22.50	22.50
15:00:00	33.2	585.7	43.6	46.2	48.8	51.6	42.8	44.3	362.79	376.86	251,160	334,880	30.97	32.17	35.74	47.65

ตารางผนวกที่ 9 ผลการทดสอบเมื่อใช้ค่าความเข้มข้นของสารทำงานนาโน 0.100 %wt อัตราการไหล 1.5 LPM

Time (hr)	T _a (°C)	I _T (W/m ²)	T _{f1} (°C)		T _{f0} (°C)		T _s (°C)		Q _{coll} (W)		Q _s (J)		η _{coll} (%)		η _{system} (%)	
			water	NF	water	NF	water	NF	water	NF	water	NF	water	NF	water	NF
09:00:00	28.5	385.0	29.5	30.2	31.0	32.0	29.6	29.9	156.98	188.42			20.39	24.47		
09:10:00	29.3	487.1	30.4	31.4	33.0	34.4	29.7	30.0	272.09	314.04	83,720	83,720	27.93	32.24	14.32	14.32
09:20:00	29.5	495.0	30.4	31.5	33.2	34.6	29.9	30.3	293.02	324.51	167,440	251,160	29.60	32.78	28.19	42.28
09:30:00	29.5	485.0	30.7	31.8	33.3	34.7	30.1	30.5	272.09	303.57	167,440	167,440	28.05	31.30	28.77	28.77
09:40:00	30.8	575.2	30.9	32.0	34.8	36.4	30.3	30.7	408.14	460.59	167,440	167,440	35.48	40.04	24.26	24.26
09:50:00	31.0	600.0	31.1	32.3	35.4	37.0	30.6	31.1	450.00	492.00	251,160	334,880	37.50	41.00	34.88	46.51
10:00:00	31.1	605.5	31.4	32.6	35.8	37.4	30.9	31.4	460.46	502.47	251,160	251,160	38.02	41.49	34.57	34.57
10:10:00	31.6	689.9	31.7	33.0	37.5	39.3	31.2	31.8	606.97	659.49	251,160	334,880	43.99	47.80	30.34	40.45
10:20:00	31.9	622.9	32.0	33.4	36.7	38.5	31.6	32.3	491.86	533.87	334,880	418,600	39.48	42.85	44.80	56.00
10:30:00	32.0	617.1	32.4	33.9	37.0	38.8	31.9	32.6	481.39	512.93	251,160	251,160	39.00	41.56	33.92	33.92
10:40:00	32.5	585.1	32.7	34.3	36.8	38.7	32.3	33.0	429.06	460.59	334,880	334,880	36.67	39.36	47.70	47.70
10:50:00	33.0	734.5	33.1	34.7	39.8	41.7	32.6	33.3	701.16	732.76	251,160	251,160	47.73	49.88	28.50	28.50
11:00:00	33.0	708.3	33.4	35.0	39.5	41.6	33.0	33.9	638.37	690.89	334,880	502,320	45.06	48.77	39.40	59.10
11:10:00	32.0	625.8	33.9	35.6	38.5	40.5	33.4	34.3	481.39	512.93	334,880	334,880	38.46	40.98	44.59	44.59
11:20:00	32.4	706.4	34.3	36.1	40.3	42.4	33.8	34.7	627.90	659.49	334,880	334,880	44.44	46.68	39.51	39.51
11:30:00	32.2	588.0	34.6	36.5	38.6	40.7	34.2	35.2	418.60	439.66	334,880	418,600	35.60	37.39	47.46	59.33
11:40:00	32.7	702.5	35.0	37.0	40.9	43.2	34.5	35.5	617.44	649.02	251,160	251,160	43.95	46.19	29.79	29.79
11:50:00	33.7	721.9	35.3	37.3	41.6	43.9	34.9	36.0	659.30	690.89	334,880	418,600	45.66	47.85	38.66	48.32
12:00:00	34.2	710.3	35.8	37.8	41.8	44.2	35.3	36.5	627.90	669.95	334,880	418,600	44.20	47.16	39.29	49.11

ตารางผนวกที่ 9 (ต่อ)

Time (hr)	T_a (°C)	I_T (W/m ²)	T_{fi} (°C)		T_{fo} (°C)		T_s (°C)		Q_{coll} (W)		Q_s (J)		η_{coll} (%)		η_{system} (%)	
			water	NF	water	NF	water	NF	water	NF	water	NF	water	NF	water	NF
12:10:00	33.4	695.7	36.2	38.3	41.9	44.3	35.7	36.9	596.51	628.08	334,880	334,880	42.87	45.14	40.11	40.11
12:20:00	33.3	742.3	36.6	38.8	43.2	45.6	36.1	37.4	690.69	711.83	334,880	418,600	46.52	47.95	37.59	46.99
12:30:00	34.6	760.7	37.0	39.3	44.0	46.6	36.6	37.9	732.55	764.17	418,600	418,600	48.15	50.23	45.86	45.86
12:40:00	36.4	802.4	37.5	39.8	45.5	48.1	37.1	38.4	837.20	868.85	418,600	418,600	52.17	54.14	43.47	43.47
12:50:00	36.1	728.7	38.0	40.4	44.4	47.1	37.6	39.0	669.76	701.36	418,600	502,320	45.96	48.12	47.87	57.44
13:00:00	35.2	730.6	38.6	41.0	44.9	47.6	38.1	39.5	659.30	690.89	418,600	418,600	45.12	47.28	47.75	47.75
13:10:00	34.7	732.6	39.0	41.5	45.2	48.0	38.5	40.0	648.83	680.42	334,880	418,600	44.28	46.44	38.09	47.62
13:20:00	35.2	738.4	39.5	42.0	45.8	48.6	38.9	40.5	659.30	690.89	334,880	418,600	44.64	46.78	37.79	47.24
13:30:00	35.3	770.4	39.9	42.5	46.8	49.8	39.4	41.0	722.09	764.17	418,600	418,600	46.86	49.60	45.28	45.28
13:40:00	35.2	697.6	40.4	43.1	45.9	48.8	39.9	41.5	575.58	596.68	418,600	418,600	41.25	42.77	50.00	50.00
13:50:00	36.1	753.0	40.9	43.6	47.4	50.5	40.2	42.0	680.23	722.29	251,160	418,600	45.17	47.96	27.80	46.33
14:00:00	35.6	685.0	41.3	44.1	46.5	49.6	40.7	42.5	544.18	575.74	418,600	418,600	39.72	42.02	50.92	50.92
14:10:00	35.8	718.0	41.7	44.6	47.5	50.7	41.1	42.9	606.97	638.55	334,880	334,880	42.27	44.47	38.87	38.87
14:20:00	35.5	706.4	42.1	45.1	47.6	50.8	41.5	43.3	575.58	596.68	334,880	334,880	40.74	42.23	39.51	39.51
14:30:00	34.7	555.0	42.5	45.5	45.6	48.8	41.9	43.8	324.42	345.45	334,880	418,600	29.23	31.12	50.28	62.85
14:40:00	34.2	590.9	42.9	46.0	46.4	49.7	42.1	44.0	366.28	387.32	167,440	167,440	30.99	32.77	23.61	23.61
14:50:00	34.5	584.1	43.1	46.3	46.5	49.9	42.3	44.4	355.81	376.85	167,440	334,880	30.46	32.26	23.89	47.78
15:00:00	34.2	633.6	43.4	46.6	47.5	50.9	42.6	44.6	429.07	450.13	251,160	167,440	33.86	35.52	33.03	22.02

ตารางผนวกที่ 10 ผลการทดสอบเมื่อใช้ค่าความเข้มข้นของสารทำงานนาโน 0.100 %wt อัตราการไหล 2.0 LPM

Time (hr)	T _a (°C)	I _T (W/m ²)	T _{fi} (°C)		T _{fo} (°C)		T _s (°C)		Q _{coll} (W)		Q _s (J)		η _{coll} (%)		η _{system} (%)	
			water	NF	water	NF	water	NF	water	NF	water	NF	water	NF	water	NF
09:00:00	28.7	474.7	29.7	30.4	31.3	32.5	29.0	29.2	223.25	293.11			23.51	30.87		
09:10:00	28.4	435.0	30.6	31.7	31.8	33.3	29.1	29.5	167.44	223.32	83,720	251,160	19.25	25.67	16.04	48.11
09:20:00	28.7	480.0	30.7	31.8	32.3	33.8	29.4	29.9	223.25	279.15	251,160	334,880	23.26	29.08	43.60	58.14
09:30:00	28.9	519.0	30.8	32.0	32.8	34.4	29.6	30.3	279.06	334.98	167,440	334,880	26.88	32.27	26.89	53.77
09:40:00	29.4	525.1	31.0	32.3	33.1	34.7	29.8	30.5	293.02	334.98	167,440	167,440	27.90	31.90	26.57	26.57
09:50:00	30.0	545.0	31.2	32.5	33.5	35.2	30.0	30.7	320.92	376.86	167,440	167,440	29.44	34.57	25.60	25.60
10:00:00	30.1	642.5	31.4	32.8	34.8	36.7	30.3	31.0	474.41	544.35	251,160	251,160	36.92	42.36	32.58	32.58
10:10:00	30.6	732.1	31.6	33.1	36.3	38.2	30.8	31.4	655.80	711.84	418,600	334,880	44.79	48.62	47.65	38.12
10:20:00	30.9	661.1	32.0	33.5	35.7	37.6	31.2	31.6	516.27	572.26	334,880	167,440	39.05	43.28	42.21	21.11
10:30:00	31.3	689.0	32.4	34.1	36.5	38.5	31.5	32.0	572.08	614.14	251,160	334,880	41.52	44.57	30.38	40.50
10:40:00	31.7	720.0	32.8	34.5	37.2	39.4	32.0	32.6	613.94	683.93	418,600	502,320	42.63	47.49	48.45	58.14
10:50:00	32.0	779.5	33.2	35.0	38.5	40.8	32.5	33.1	739.52	809.54	418,600	418,600	47.44	51.93	44.75	44.75
11:00:00	32.4	751.7	33.6	35.5	38.5	40.8	32.9	33.6	683.71	739.76	334,880	418,600	45.48	49.21	37.12	46.41
11:10:00	33.0	764.0	34.1	36.1	39.2	41.6	33.4	34.0	711.61	767.67	418,600	334,880	46.57	50.24	45.66	36.53
11:20:00	33.2	777.0	34.5	36.6	39.8	42.3	33.8	34.5	739.52	795.59	334,880	418,600	47.59	51.20	35.92	44.89
11:30:00	33.3	724.0	35.0	37.2	39.5	42.1	34.3	35.0	627.89	683.93	418,600	418,600	43.36	47.23	48.18	48.18
11:40:00	33.7	745.5	35.5	37.8	40.3	43.0	34.8	35.6	669.75	725.80	418,600	502,320	44.92	48.68	46.79	56.15
11:50:00	34.0	766.1	35.9	38.3	41.0	43.8	35.3	36.1	711.61	767.67	418,600	418,600	46.44	50.10	45.53	45.53
12:00:00	34.5	789.0	36.4	38.8	41.8	44.7	35.8	36.7	753.47	823.50	418,600	502,320	47.75	52.19	44.21	53.05

ตารางผนวกที่ 10 (ต่อ)

Time (hr)	T_a (°C)	I_T (W/m ²)	T_{fi} (°C)		T_{fo} (°C)		T_s (°C)		Q_{coll} (W)		Q_s (J)		η_{coll} (%)		η_{system} (%)	
			water	NF	water	NF	water	NF	water	NF	water	NF	water	NF	water	NF
12:10:00	35.0	808.0	36.9	39.4	42.6	45.5	36.3	37.2	795.33	851.42	418,600	418,600	49.22	52.69	43.17	43.17
12:20:00	35.6	818.0	37.4	40.0	43.3	46.3	36.8	37.8	823.24	879.33	418,600	502,320	50.32	53.75	42.64	51.17
12:30:00	36.0	807.3	37.9	40.6	43.6	46.7	37.4	38.4	795.33	851.42	502,320	502,320	49.26	52.73	51.85	51.85
12:40:00	37.5	835.0	38.5	41.3	44.7	47.9	37.9	38.9	865.10	921.21	418,600	418,600	51.80	55.16	41.78	41.78
12:50:00	35.3	773.3	39.0	41.9	44.0	47.3	38.4	39.4	697.66	753.71	418,600	418,600	45.11	48.73	45.11	45.11
13:00:00	35.4	827.0	39.6	42.6	45.4	48.8	38.8	39.9	809.29	865.38	334,880	418,600	48.93	52.32	33.74	42.18
13:10:00	34.5	777.4	40.1	43.1	45.0	48.4	39.2	40.3	683.71	739.76	334,880	334,880	43.97	47.58	35.90	35.90
13:20:00	34.3	783.6	40.6	43.8	45.6	49.1	39.7	40.8	697.66	739.76	418,600	418,600	44.52	47.20	44.52	44.52
13:30:00	33.9	807.0	41.1	44.3	46.3	49.9	40.0	41.2	725.57	781.63	251,160	334,880	44.95	48.43	25.94	34.58
13:40:00	33.3	740.3	41.5	44.9	45.7	49.4	40.3	41.5	586.03	628.09	251,160	251,160	39.58	42.42	28.27	28.27
13:50:00	33.3	799.0	42.0	45.5	47.0	50.8	40.7	41.9	697.66	739.76	334,880	334,880	43.66	46.29	34.93	34.93
14:00:00	32.8	727.0	42.4	46.0	46.3	50.2	41.1	42.3	544.17	586.22	334,880	334,880	37.43	40.32	38.39	38.39
14:10:00	33.5	762.0	42.9	46.5	47.3	51.2	41.3	42.7	613.94	656.01	167,440	334,880	40.28	43.05	18.31	36.62
14:20:00	33.7	749.6	43.3	47.0	47.5	51.5	41.7	43.0	586.03	628.09	334,880	251,160	39.09	41.90	37.23	27.92
14:30:00	33.8	589.0	43.7	47.5	46.0	50.0	42.0	43.3	320.92	348.94	251,160	251,160	27.24	29.62	35.53	35.53
14:40:00	33.5	627.1	44.1	48.0	46.7	50.9	42.3	43.7	362.78	404.77	251,160	334,880	28.93	32.27	33.38	44.50
14:50:00	33.4	619.9	44.3	48.3	46.8	51.1	42.5	43.9	348.83	390.81	167,440	167,440	28.14	31.52	22.51	22.51
15:00:00	33.3	672.4	44.6	48.6	47.7	52.0	42.8	44.3	432.55	474.56	251,160	334,880	32.16	35.29	31.13	41.50

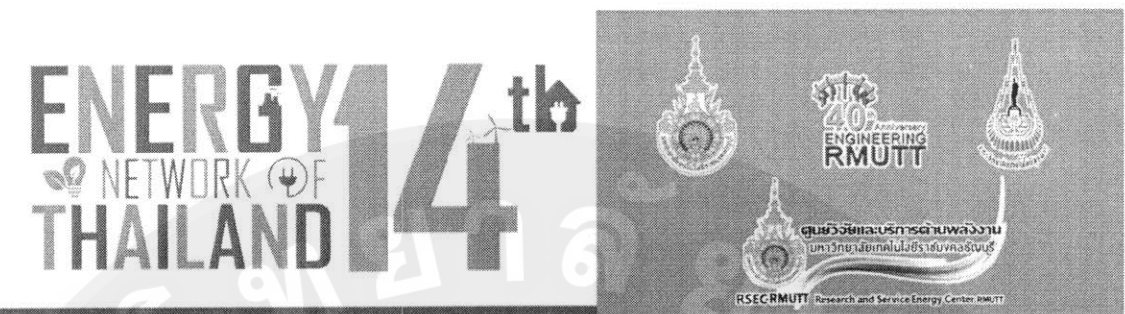


การเผยแพร่ผลงานวิจัยในงานประชุมวิชาการ

การเผยแพร่ผลงานวิจัยในการประชุมวิชาการมีทั้งหมด 2 เรื่อง ดังนี้

1. เผยแพร่ผลงานวิจัยในหัวข้อเรื่อง การออกแบบและสร้างตัวเก็บรังสีอาทิตย์แบบรางพาราโบลิกสำหรับระบบผลิตน้ำร้อน ใน การประชุมวิชาการเครือข่ายพลังงานแห่งประเทศไทย ครั้งที่ 14 ระหว่างวันที่ 13 – 15 มิถุนายน พ.ศ. 2561 ณ โรงแรมโนโวเทล จังหวัด ระยอง

2. เผยแพร่ผลงานวิจัยในหัวข้อเรื่อง การใช้ของเหลว nano กับตัวเก็บรังสีอาทิตย์แบบรางพาราโบลิก ใน การประชุมวิชาการ วิศวกรรมศาสตร์ วิทยาศาสตร์ เทคโนโลยี และสถาปัตยกรรมศาสตร์ ครั้งที่ 9 ในวันที่ 7 กันยายน พ.ศ. 2561 ณ มหาวิทยาลัยเทคโนโลยีราชมงคลอีสาน วิทยาเขตขอนแก่น



14th Conference on Energy Network of Thailand การประชุมวิชาการเครือข่ายพลังงานแห่งประเทศไทย ครั้งที่ 14

13 - 15 มิถุนายน 2561 ณ โนโวเทล ระยอง

Proceeding



การศึกษาการผลิตใบไอล์ฟจากน้ำมันหมูโดยใช้ม้ากานบะหมี่ร้าวรวมกับสารละลายน้ำฟลูโซฟลูโซฟฟิล์มไครอโกราไฟต์เป็นลักษณะปูร์ฟิริกิยา.....	808
การศึกษาเบรรีบีท่อบรบบผลิตไฟฟ้าเซลล์แสงอาทิตย์แบบบิดตั้งบนหลังคาขนาด 3 kWp เพื่อรองรับระบบไฟฟ้าสำหรับเมืองไทย.....	815
การออกแบบและสร้างตัวเก็บรักษาพลังงานแบบบิดตั้งบนหลังคา.....	822
การผลิตใบไอล์ฟจากน้ำมันหมูโดยใช้เด็กน้ำมันกับโพแทสเซียมไครอโกราไฟต์เป็นลักษณะปูร์ฟิริกิยา.....	826
การใช้ประโนญน์เก็บกระแสไฟฟ้าสำหรับปูร์ฟิริกิยาในการผลิตใบไอล์ฟ.....	833
ตู้อบแห้งรักษาอุณหภูมิแบบควบคุมอุณหภูมิอิเล็กทรอนิกส์.....	841
การศึกษาและออกแบบวงจรควบคุมการชาร์จแบตเตอรี่ตัวอย่างเซลล์เชือกเพลิงชนิดโปรดอรอนและเปลี่ยนเมกะเบรน ขนาด 1.2 kW.....	847
การประเมินสมรรถนะเด็กน้ำมันประดิษฐิภัณฑ์เมื่อใช้ปืนฉีดข้าวโพดอัดเม็ดต่อเมื่อง.....	852
การผลิตถ่านแห้งเด็กน้ำมันซึ่งสามารถใช้ได้จากการถ่ายออกสายของอินไฮด์ร็อกในหนอนน้ำ.....	857
ผลกระทบของใบไอล์ฟจากน้ำมันพืชใช้แล้วต่อสมรรถนะและคุณลักษณะการเผาไหม้ ของเครื่องยนต์ดีเซลคุณภาพดีที่มีการปรับปรุงอัตราส่วนกำลังอัด.....	863
การจำลองการให้คลาคาดและการออกแบบเครื่องอบแห้งแสงอาทิตย์แบบบิดตั้งบนหลังคาห้องร้านอาหารสำหรับสิตกันที่ปลา.....	870
การศึกษาสมบัติทางเคมีโครงสร้างและทางแสงของพิล์มน้ำมันสกินโนเรช์ก่อนไอล์ฟที่ได้อดีตัยบิลล์ สำหรับการประยุกต์ในเซลล์แสงอาทิตย์ชนิดเพอร์ฟลิกิต.....	879
ศักยภาพการผลิตไฟฟ้าด้วยเซลล์แสงอาทิตย์แบบบิดตั้งบนหลังคาโรงโรงในประเทศไทย.....	886
การประเมินการปล่อยก๊าซเรือนกระจกในกระบวนการผลิตก๊าซชีวภาพระบบบ่อปั๊บแบบปืนฉีดข้าวโพดและรีไฟฟ้า.....	889
สมบัติทางกายภาพของเชือกเหล็กอัดแต่งเมื่อใช้ตัวประสาณรرمชาติ.....	893
การสังเคราะห์พิล์มน้ำมันเชิงอิเล็กตรอนิกส์ในเมทิริกซ์ของเชิงอุตสาหกรรมเพลสิทอิเล็กตรอน และคุณสมบัติทางออกไซด์อิเล็กโทรนิกส์ สำหรับประยุกต์ในเซลล์แสงอาทิตย์.....	899
เชือกเหล็กอัดเม็ดจากผักตบชวาและกับขี้มูล.....	906
การศึกษาเชือกเหล็กชีวมวลที่เหลือทั้งจากการผลิตมายาวแล้วในจังหวัดเลย.....	910
การสืบสานผลประโยชน์ของการรังน้ำดองส่วนที่มีต่อกำลังไฟฟ้าสูงสุดและประสิทธิภาพของแม่เหล็กแสงอาทิตย์แบบลูกกลิ้ง.....	917
การเพิ่มผลผลิตและความลับสนับทึกรากด้านพลังงานเข้ากับยืดตัวที่เคราะห์คุณค่าต่อ ของโรงเรือนท้าความเย็นแบบหยาดและท่านนกอก.....	923
ผลกระทบเทคโนโลยีการอุ่นชีวมวลที่มีผลต่อคุณสมบัติทางกายภาพเชือกเหล็กอัด.....	931
การพัฒนาแก้ไขข้อเสนอแนะให้พัฒนาเด็กแบบบิดตั้งบนหลังคาห้องร้านอาหาร.....	936
วิเคราะห์ผลกระทบจากความเข้มข้นของรังน้ำดองแสงอาทิตย์ของเครื่องกลั่นน้ำพลังงานแสงอาทิตย์แบบพาลา.....	944
อิทธิพลห้องน้ำให้หม้อน้ำร้อนต้มให้มีภัยภายในที่มีต่อสมรรถนะเครื่องยนต์ปีร์ดิวเซอร์แก๊ส.....	948
การพัฒนาโรงอบแห้งแสงอาทิตย์แบบโรงเรือนกระดาษสำหรับแผ่นปลาстиกและปลาหนอไทย.....	954
ความสัมภันธ์ระหว่างค่าการนำความร้อนและความชื้นอุ่นดิน.....	962
การผลิตเชือกเหล็กอัดแต่งจากต้นปาล์มหมอดา yüksel สมบัติทางกายภาพและภาคตะขอในน้ำมันปาล์ม.....	966
คุณลักษณะน้ำพิษของเครื่องยนต์ดีเซลเชือกเหล็กชีวมวลด้วยการฉีดแก๊สโซเชียลที่พอร์ท.....	974

การออกแบบและสร้างตัวเก็บรังสีอาทิตย์แบบรางพาราโบลิกสำหรับระบบผลิตน้ำร้อน¹
Design and Construction of a Parabolic Trough Solar Collector for Hot Water Production System

ผู้เขียน อิชชาติเมธีกุล และ ปริญ คงจะพันธ์^{2*}

“วิทยาลัยพัฒนาเทคโนโลยีและอาชีวศึกษา มหาวิทยาลัยแม่ฟ้าหลวง”

*อีเมลที่ติดต่อ: porn_khomkrap@ptit.ac.th, เบอร์โทรศัพท์ 053875590, เมลล์พัสดุ 053875599

บทคัดย่อ

งานวิจัยนี้ได้นำเสนอการออกแบบและสร้างตัวเก็บรังสีอาทิตย์แบบรางพาราโบลิกสำหรับระบบผลิตน้ำร้อนพื้นที่อยู่อาศัย รายงานโน้มถี่ที่สร้างขึ้นมาใหม่พัฒนาพื้นที่รับแสงโดยประมาณ 2 m^2 ให้น้ำเป็นสารทำงาน ที่สามารถตอบสนองระบบต้นแบบที่ความเข้มแสงอาทิตย์ในช่วง 441 W/m^2 ถึง 793 W/m^2 จากผลการทดสอบด้วยตัวเก็บรังสีอาทิตย์โดยใช้อุปกรณ์ของสถาบันฯ สามารถบรรลุอุณหภูมิของสารทำงาน ณ ทางออกของตัวรับรังสีได้สูงสุดเท่ากับ 1.0 lpm และ 1.5 lpm พบร่วด้านเก็บรังสีอาทิตย์ตัวนั้นแบบสมการผลิตน้ำร้อนที่มีอุณหภูมิสูงสุดเท่ากับ 55.6°C และ 50.0°C ตามลำดับ และระบบสามารถผลิตน้ำร้อนที่มีอุณหภูมิสูงสุดเท่ากับ 55.4°C และ 49.3°C ตามลำดับ จากรายการทดสอบสามารถอุณหภูมิได้ต่ำกว่าตัวอัตตราการให้แรงงานสัมบูรณ์โดยตรงต่อการเพิ่มน้ำร้อนหรือลดลงของอุณหภูมน้ำร้อนที่ผลิตได้อย่างมีประสิทธิภาพในทุกๆ ความเข้มแสง

คำหลัก: ตัวเก็บรังสีอาทิตย์ รางพาราโบลิก ระบบผลิตน้ำร้อน

Abstract

This research presented a design and construction of a concentrating solar collector with parabolic trough for applying in solar water heater. Parabolic trough with aperture area of 2 m^2 using water as working fluid was produced. The prototype parabolic trough solar collector with solar intensity ranging from $441-793 \text{ W/m}^2$ was tested. The results showed that the prototype solar collector could provide the highest temperature of working fluid at the receiver outlet with 56.6°C and 50.0°C , and the highest temperature of hot water with 55.4°C and 49.3°C when flow rates of working fluid were 1.0 lpm and 1.5 lpm , respectively. Based on the testing results, it could be concluded that the flow rate of working fluid exhibited significantly direct effect on an increase or decrease in the temperature of produced hot water for all cases of solar intensity.

Keywords: Solar Collector, Parabolic Trough, Hot Water Production System

1. บทนำ

พัฒนาแรงงานแสงอาทิตย์เป็นพัฒนาแรงงานหมุนเวียนที่มีศักยภาพสูง เป็นพัฒนาแรงงานสะอาด สามารถนำไปใช้ประโยชน์ได้ทุกพื้นที่ ซึ่งการใช้พลังงานแสงอาทิตย์เพื่อผลิตความร้อนนั้น สามารถทำให้ได้โดยการใช้ตัวเก็บรังสีอาทิตย์ (solar collector) ซึ่งเป็นเทคโนโลยีอิเล็กทรอนิกส์และอิเล็กทรอนิกส์ที่สามารถนำไปประยุกต์ใช้ได้หลากหลาย เช่น การผลิตน้ำร้อน หรือ การอบแห้ง ซึ่งในส่วนของตัวเก็บรังสีอาทิตย์สำหรับผลิตน้ำร้อน ที่มีเชิงรุกอยู่ในปัจจุบันแบ่งเป็นสองรูปแบบ ของตัวเก็บรังสีได้แก่ ตัวเก็บรังสีอาทิตย์แบบแผ่นแบนเรียบ (Flat Plate Solar Collector) ตัวเก็บรังสีอาทิตย์แบบห้องเผา (Evacuated Tube Solar Collector) และตัวเก็บรังสีอาทิตย์ชนิดรวมแสง (Concentration Solar Collector) ซึ่งตัวเก็บรังสีอาทิตย์แต่ละชนิดมีหน้าที่รับรวมพลังงานความร้อนจากแสงอาทิตย์และดึงความร้อนที่ได้รับมาให้กับสารทำงาน (Working Fluid) ที่ถูกเลือกพิเศษ เช่น น้ำ หรือ น้ำมัน เป็นต้น [1-5]

งานวิจัยนี้จึงนำเสนอการออกแบบและสร้างตัวเก็บรังสีอาทิตย์แบบรางพาราโบลิก (Parabolic Trough Solar Collector; PTSC) ซึ่งจัดอยู่ในประเภทของตัวเก็บรังสีอาทิตย์ชนิดรวมแสง ที่สามารถสร้างอุณหภูมิให้กับสารทำงานได้สูงและมีต้นทุนในการสร้างต่ำกว่าที่รับแสงต่ำเพื่อประยุกต์ใช้กับระบบผลิตน้ำร้อน พัฒนาแรงงานแสงอาทิตย์เพื่อเป็นการประหยัดพลังงานในการผลิตน้ำร้อนต่อไป

2. หลักการและถูกต้อง

2.1 ตัวเก็บรังสีอาทิตย์แบบรางพาราโบลิก

ตัวเก็บรังสีอาทิตย์แบบรางพาราโบลิกจัดอยู่ในประเภทของตัวเก็บรังสีแสงอาทิตย์ชนิดรวมแสง มีหลักการพัฒนาคือ เมื่อแสงอาทิตย์ตกกระทบผ่านสะท้อนรังสี รังสีสั่งกล่าวจะเคลื่อนที่ไปทางท่อรับรังสีซึ่งติดตั้ง ณ จุดให้กับเส้นเพื่อแปลงพลังงานแสงอาทิตย์เป็นพลังงานความร้อนและถ่ายให้กับสารทำงานและนำความร้อนดังกล่าวไปใช้ประโยชน์ในด้านต่างๆ ต่อไป ดังแสดงในรูปที่ 4 ดังตัวเก็บรังสีอาทิตย์แบบรางพาราโบลิกดังนี้

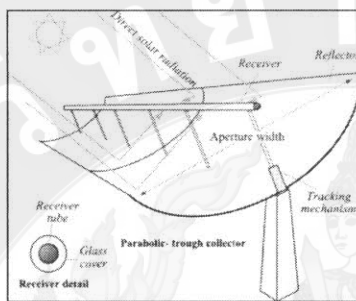
1) แผ่นสะท้อนรังสี มีลักษณะเป็นแผ่นโลหะที่ได้พาราโบลาฟันท์ที่รับรังสีอาทิตย์และสะท้อนรังสีตัวกล่าวสู่ด้านหน้างานให้กับรางพาราโบลิก

2) ห้องเผาที่ติดตั้ง ณ ตำแหน่งไฟก๊าซของรางพาราโบลิก ห้องเผาที่ติดตั้งรังสีอาทิตย์ที่จะหันจากแผ่นสะท้อนรังสีเพื่อแปลงเป็นพลังงานความร้อนและถ่ายให้กับสารทำงานที่บรรจุอยู่ภายใน

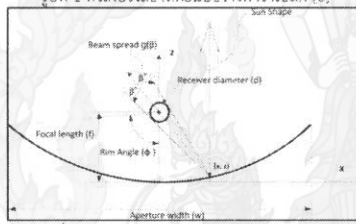
3) ระบบส่งจ่ายสารทำงาน มีหน้าที่ส่งจ่ายสารทำงานให้เครื่องจักรที่ผ่านห้องเผาเพื่อห้องเผาจานความร้อนจากห้องเผาที่ติดตั้งเครื่องจักรที่จะผลิตน้ำร้อน

4) ถังกักเก็บน้ำร้อน ถังน้ำที่ติดตั้งเครื่องจักรที่จะผลิตน้ำร้อนที่ทำหน้าที่ถ่ายเทความร้อนระหว่างสารทำงานและน้ำที่จะผลิต

เป็นน้ำร้อน ความร้อนที่ได้จากการเล็กน้อยความร้อนจะถูกกักเก็บไว้ในรูปของน้ำร้อนที่จะนำไปใช้งานต่อไป



รูปที่ 1 ด้านเก็บรังสีอาทิตย์แบบราบพาราโบลิก [6]



รูปที่ 2 การระบุขนาดจริงๆ ของด้านเก็บรังสีอาทิตย์แบบราบพาราโบลิก [7]

2.2 หลักการออกแบบระบบราชการราบพาราโบลิก

ด้วยเก็บรังสีอาทิตย์แบบราบพาราโบลิกในการวิจัยนี้ ประกอบด้วยราชการราบพาราโบลิกที่ทำการออกแบบโดยใช้สมการพาราโบลา ต่อสมการที่ (1) [8]

$$y = x^2/4f \quad (1)$$

การคำนวณความยาวโฟกัส (f) ของราชการในบิลิก ความกว้าง (a) ของราชการในบิลิก ความสูง (h) ของราชการในบิลิก และความยาวล่วงโค้ง (s) ของราชการในบิลิก สามารถคำนวณได้จากสมการที่ (2) [8]

$$f = w^2/16z \quad (2)$$

เมื่อ f คือ ความยาวโฟกัสของราชการในบิลิก, m
 w คือ ความกว้างของราชการในบิลิก, m
 z คือ ความสูงของราชการในบิลิก, m

3. วิธีการดำเนินงานวิจัย

3.1 การออกแบบและสร้างด้านเก็บรังสีอาทิตย์แบบราบพาราโบลิก

งานวิจัยนี้ได้ทำการออกแบบและสร้างด้านเก็บรังสีอาทิตย์แบบราบพาราโบลิกจำนวนทั้งสิ้น 2 ชุด ดังรูปที่ 3 แต่ละชุดประกอบด้วยอุปกรณ์หลักดังนี้ 1) แผ่นสะท้อนรังสี มีลักษณะเป็นแผ่นโลหะพาราโบลาทำหน้าที่รับรังสีอาทิตย์และสะท้อนรังสี

ต้องกล่าวว่าแผ่นไฟฟ้าของพาราโบลา แผ่นสะท้อนรังสีในงานวิจัยนี้สะท้อนรังสีผ่านแผ่นแสดงผลติดมีความหนา 1 mm ซึ่ดติดกับโครงเหล็กกล้าที่ขึ้นรูปให้มีความโค้งตามส่วนที่รับรังสีอาทิตย์โดยใช้ก้านหันให้ผ่านส่วนที่ติดกับตัวที่ขึ้นรูป 2) ท่อรับรังสีอาทิตย์ ติดตั้ง ณ ตำแหน่งที่ต้องการที่ติดกับตัวที่ขึ้นรูปที่ต้องการที่ติดกับตัวที่ขึ้นรูปในงานวิจัยนี้ร่างจากเหล็กกล้ารีซิโนบีนขนาดเด่นค่าศูนย์กลางประมาณ 0.05 m ยึดติดกับโครงเหล็กกล้าที่ต้องการแนบให้สามารถปรับเปลี่ยนท่าทางหัวท่อรับรังสีและแผ่นสะท้อนรังสีได้

3.2 การออกแบบและสร้างระบบส่งจ่ายสารทำงานและตั้งกล้องเก็บน้ำร้อน

ระบบส่งจ่ายสารทำงานนี้หน้าที่ส่งจ่ายสารการทำงานให้เคลื่อนที่ผ่านท่อรับรังสีเพื่อรับพลังงานความอุ่นจากเสียงอาทิตย์ และเคลื่อนที่สู่อุปกรณ์เก็บความร้อน ระบบดังกล่าวจึงออกแบบให้สามารถปรับเปลี่ยนอัตราการไหลของสารการทำงานได้โดยใช้อุปกรณ์อิเล็กทรอนิกส์เพื่อในการปรับระดับของน้ำร้อน

ถังเก็บน้ำร้อน ถังน้ำจะติดตั้งเครื่องแยกเป็นสองความร้อนที่ก่อนหน้าจะรวมเข้าด้วยกัน ความร้อนที่ได้จากการเล็กน้อยความร้อนที่ต้องนำไปใช้ในงานวิจัยนี้ 200 l ทำการติดตั้งบนก้นความร้อนในงานวิจัยนี้มีความจุ 200 l ทำการติดตั้งบนก้นความร้อนในงานวิจัยนี้



รูปที่ 3 ด้านเก็บรังสีอาทิตย์แบบราบพาราโบลิกสำหรับระบบผลิตน้ำร้อนในงานวิจัยนี้

3.3 วิธีการทดสอบ

การทดสอบด้านเก็บรังสีอาทิตย์แบบราบพาราโบลิกสำหรับน้ำร้อนด้านบนในงานวิจัยนี้ได้ทำการสร้างชุดทดสอบทั้งสิ้น 2 ชุดทดสอบ แต่ละชุดประกอบด้วยอุปกรณ์ที่หลักๆ ได้แก่ 1) แผ่นสะท้อนรังสีแบบพาราโบลา 2) ท่อรับรังสีอาทิตย์ 3) ระบบหัวฉีดเชิงสารทำงาน 4) ถังเก็บน้ำร้อน 5) เครื่องแยกเป็นสองความร้อน และ 6) บีบม้ำ โดยชุดทดสอบแต่ละชุดจะมีหลักการทำงานเหมือนกันคือ สารทำงานจะไม่ถูกระบบหัวฉีดมาถึงหัวฉีดแล้วหัวฉีดจะถูกติดตั้งไว้ ณ จุดที่ต้องการ แผ่นสะท้อนรังสีจะถูกติดตั้งไว้บนหัวฉีด แล้วหัวฉีดจะถูกติดตั้งไว้ในถังเก็บน้ำร้อนสำหรับต่ำเทคนิคความร้อนให้กับน้ำร้อนในถังที่จะใช้ผลิตเป็นน้ำร้อน เมื่อสาร

ท่าງน้ำหล่อออกจากเครื่องแยกปฏิรูปน้ำความร้อนที่จะถูกปั๊มส่งเข้าสู่ห้องรับน้ำร้อนที่ติดต่อไปเป็นวุ้นจักรตัวที่ 4

การดำเนินการทดลองจะหันแผ่นสะท้อนรังสีอาทิตย์ของชุดทดสอบทั้งสองที่ตั้งสองไปทางทิศใต้และเบี่ยงก้าน 20° ให้ประมาณกึบแนวระนาบเพื่อวัดและตรวจวัดอุณหภูมิที่ได้ติดต่อห้องร้อน ทำการสั่งจ่ายสารทำงานภายในห้องร้อนที่อ่อนลื่นโดยปรับค่าตัวการไหลของสารทำงานภายในชุดทดสอบที่ 1 และ 2 ให้เท่ากัน 1.0 l/min และ 1.5 l/min ตามลำดับ ทำการวัดค่าการทำงานไดเตอร์ต่างๆ ดังนี้ 1) อุณหภูมิสารทำงาน ทางเข้าห้องร้อน (T_{in}) 2) อุณหภูมิสารทำงาน ทางออกห้องร้อน (T_{out}) 3) อุณหภูมน้ำร้อนภายในถังเก็บน้ำร้อน (T_{tank})

4) อุณหภูมิแพ็คต้อม (T_s) และ 5) ต่ำความเข้มแสงอาทิตย์

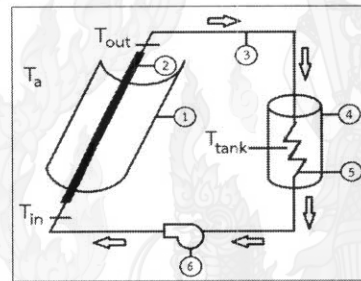
พิจารณาอุณหภูมน้ำร้อนที่มีผลได้จากการทดสอบที่ 1 (1.0 lpm) สามารถผลิตน้ำร้อนที่มีอุณหภูมิสูงสุดเท่ากับ 55.4°C และ ชุดทดสอบที่ 2 (1.5 lpm) สามารถผลิตน้ำร้อนที่มีอุณหภูมิสูงสุดเท่ากับ 49.3 °C ดังแสดงในรูปที่ 7

5. สูญเสียความร้อนที่ผลการวิจัย

จาผลการทดสอบดังเก็บรังสีอาทิตย์แบบบางพาราในลักษณะหัวรับแบบผิดน้ำร้อนในงานวิจัยนี้พบว่าอุณหภูมิของสารทำงานและอุณหภูมน้ำร้อนที่ผลิตได้ตัวเปลี่ยนตามค่าความเข้มแสงอาทิตย์และแก็ปคลัติค่าตัวการไหลของสารทำงานกล่าวคือ เมื่อค่าความเข้มแสงอาทิตย์มีค่าสูงอุณหภูมิที่ส่องจะสูงขึ้น แต่เมื่อตัวการไหลของสารทำงานมีค่าสูงจะทำให้อุณหภูมิตั้งกล่าวลดลง เมื่อพิจารณาอุณหภูมิ ณ จุดต่างๆ พบว่าชุดทดสอบสามารถสร้างอุณหภูมิของสารทำงาน ณ ทางออกของห้องร้อนได้สูงสุดเท่ากับ 56.6 °C ที่อัตราการไหลของสารทำงานเท่ากับ 1.0 lpm ซึ่งสูงกว่าการใช้อัตราการไหลเท่ากับ 1.5 lpm ประมาณ 13 % และในท่านองต้องยกเว้นการใช้อัตราการไหลของสารทำงานเท่ากับ 1.0 lpm ชุดทดสอบสามารถผลิตน้ำร้อนที่มีอุณหภูมิสูงสุดเท่ากับ 55.4% ซึ่งสูงกว่ากรณีใช้อัตราการไหลเท่ากับ 1.5 lpm ประมาณ 15% จึงสามารถสรุปได้ว่าตัวอัตราการไหลของสารทำงานส่งผลโดยตรงต่อการเพิ่มขึ้นหรือลดลงของอุณหภูมน้ำร้อนที่ผลิตได้อย่างมีนัยยะสำคัญในทุกด้านความเข้มแสง

6. กิตติกรรมประกาศ

งานวิจัยนี้ได้รับเงินเดือนที่ได้รับจากการสนับสนุนทุนวิจัย จากวิทยาลัยพัฒนาทดแทน มหาวิทยาลัยแม่โจ้ ผู้วิจัยจึงขอขอบพระคุณอย่างยิ่งมา ณ โอกาสนี้

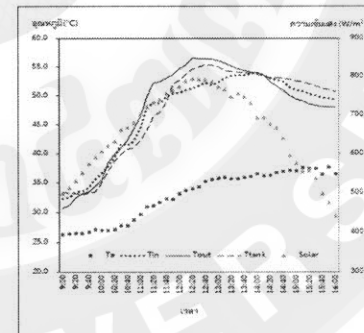


รูปที่ 4 การทดสอบตัวห้องรับรังสีอาทิตย์แบบบางพาราในลักษณะหัวรับรังสีอาทิตย์ 1) แผ่นสะท้อนรังสีแบบพาราในลักษณะหัวรับรังสีอาทิตย์ 3) ระบบห้องรับรังสีอาทิตย์ 4) ถังเก็บน้ำร้อน 5) เครื่องแยกรังสีเพื่อนความร้อน และ 6) ปั๊มน้ำ

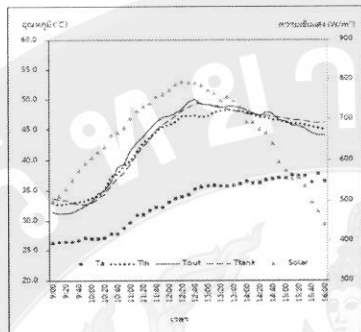
4. ผลการวิจัย

การทดสอบห้องรับรังสีอาทิตย์แบบบางพาราในลักษณะหัวรับรังสีอาทิตย์น้ำร้อนในงานวิจัยนี้ทำการทดสอบน้ำร้อนในเดือน มกราคม ปี พ.ศ. 2561 ในช่วงเวลา 9.00 น. ถึง 16.00 น. จากการดำเนินงานวิจัยพบว่าในช่วงเวลาที่ทำการทดสอบมีค่าความเข้มแสงอาทิตย์สูงและต่ำสุดเท่ากับ 793 W/m^2 และ 441 W/m^2 ความลักษณะคือเป็นค่าความเข้มแสงเฉลี่ยประมาณ 660 W/m^2 และ อุณหภูมิแพ็คต้อมในช่วงเวลาที่ทำการทดสอบมีค่าต่ำสุดและสูงสุดเท่ากับ 26.3°C และ 37.7°C ตามลำดับ คิดเป็นค่าอุณหภูมิแนวต่อเนื่องประมาณ 33°C เมื่อดำเนินกระบวนการพบว่า อุณหภูมิของสารทำงานและอุณหภูมิของน้ำภายในห้องรับรังสีน้ำร้อนจะเพิ่มขึ้นแบบแป้นตามค่าความเข้มแสงอาทิตย์โดย อุณหภูมน้ำร้อนจะมีค่าสูงสุดในช่วงที่รั้งและลดลงตามค่าความเข้มแสงอาทิตย์ในช่วงบ่าย การปรับเปลี่ยนอัตราการไหลของสารทำงานจะส่งผลต่ออุณหภูมิของสารทำงาน ณ ทางออกของห้องรับรังสี กล่าวคือ เมื่อตัวการการไหลของสารทำงานมีค่าสูงจะทำให้อุณหภูมิตั้งกล่าวลดลง

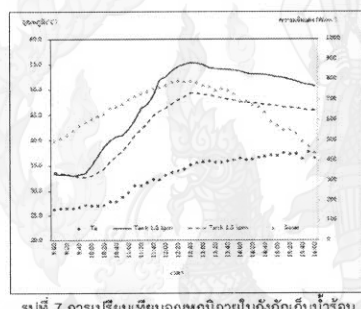
ผลการทดสอบตัวห้องรับรังสีอาทิตย์แบบบางพาราในลักษณะหัวรับรังสีอาทิตย์ต้นแบบสมการสร้างอุณหภูมิของสารทำงาน ณ ทางออกของห้องรับรังสี กล่าวคือ เมื่อตัวการการไหลของสารทำงานมีค่าสูงจะทำให้อุณหภูมิตั้งกล่าวลดลง



รูปที่ 5 อุณหภูมิของสารทำงาน ณ ทางเข้าและทางออกห้องรับรังสี กรณีอัตราการไหลของสารทำงานเท่ากับ 1 lpm



รูปที่ 6 อุณหภูมิของสารทำงาน ณ ทางเข้าและทางออกห้องรับน้ำสี กรณีอัตราการไหลของสารทำงานเท่ากับ 1.5 ลิตร



รูปที่ 7 การเปรียบเทียบอุณหภูมิภายในสังกะกีน้ำร้อน

[6] Cabrera F.J., Garcia A.F., R.M.P. Silva and Garcia M. P. (2013). *Use of parabolic trough solar collectors for solar refrigeration and air-conditioning applications*. Renewable and Sustainable Energy Reviews, vol. 20, pp. 103-118.

[7] Zhu G. and Lewandowski A. (2012). *A New Optical Evaluation Approach for Parabolic Trough Collectors: First-Principle OPTICAL Intercept Calculation*, Journal of Solar Energy Engineering, vol. 134 (4).

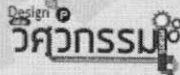
[8] Mohamed S.M. and Taqy E.B. (2013). *Parabolic trough solar thermal power plant: Potential, and projects development in Algeria*. Renewable and Sustainable Energy Reviews, Elsevier, vol. 21, pp. 288-297.

7. เอกสารอ้างอิง

- [1] จังจิตร์ พิรัญลักษณ์ (2520). ด้านเบื้องต้นการพัฒนาเครื่องปรับอากาศแบบบวกความร้อน, กระบวนการพัฒนาเครื่องปรับอากาศในรูปแบบความร้อน, กรุงเทพฯ: สำนักพิมพ์ดุรุณผล, หน้า 171-172.
- [2] กรมพัฒนาพลังงานทดแทนและอุตสาหกรรมพลังงาน (2559). สถานการณ์พลังงานของประเทศไทย มกราคม – ธันวาคม 2558. [ระบบออนไลน์], แหล่งส่องที่มา http://www.dede.go.th/download/state_59/frontpageedec2558.pdf, เข้าดูเมื่อวันที่ 02/03/2559.
- [3] พยานศักดิ์ วัฒนา (2554). รู้ทันและการเลือกใช้เทคโนโลยีการผลิตน้ำร้อนจากพลังงานแสงอาทิตย์, [ระบบออนไลน์], แหล่งที่มา <http://www.thailandindustry.com/> ฐาน view.php?id=19409, เข้าดูเมื่อวันที่ 15/03/2559.
- [4] ประกอบ สุรัตน์วรรธน์ และ รีวัติ หลิมอนุเชิง (2554). แบบจำลองทางคณิตศาสตร์และการออกแบบตัวรับรังสีความร้อนที่ดัดแปลงร่างพาราโบลา, การประชุมวิชาการเครือข่ายวิจกรรมเครื่องกลแห่งประเทศไทย ครั้งที่ 25, 19-21 ตุลาคม, จังหวัดกรุงเทพฯ.
- [5] จากรุณี เจริญจิต และ คอมฤทธิ์ ศรีสุวรรณ (2013). พัฒนาระบบความร้อนรังสี อาทิตย์ในภาคอุตสาหกรรมผลิตภัณฑ์, KKU Research Journal, ฉบับที่ 18, หน้า 83.



บทความฉบับเต็ม
การประชุมวิชาการ
วิศวกรรมศาสตร์ วิทยาศาสตร์ เทคโนโลยี
และสถาปัตยกรรมศาสตร์ ครั้งที่ 9
 The 9th Engineering Science Technology and Architecture Conference 2018
9th ESTA CON 2018
เทคโนโลยีและนวัตกรรม เพื่ออุตสาหกรรมแห่งอนาคต
 Technology and Innovation for Future Industry
7 กันยายน 2561 
 ณ อาคาร 50 ปี เทคบีด ไทย-เยอรมัน ขอนแก่น
 คณะวิศวกรรมศาสตร์ มหาวิทยาลัยเทคโนโลยีราชมงคลล้านนา วิทยาเขตขอนแก่น

Design by 



□ ME206 การใช้ของในบ้านกับตัวเก็บรังสีอาทิตย์แบบพาราโบลิก	783
□ ME218 ผลกระทบของความดันต่อประสิทธิภาพการกำจัดก้าชโดยเรนซ์ไฟฟ์ในก้าชชีวภาพ	787
□ ME227 การศึกษาเบรียบเทียบสมรรถนะกระบวนการร้อนระหัสเครื่องเข็นรูปตัววาย และ เครื่องเข็นทุรุ่งกระบอกในอุปกรณ์ระบบความร้อนแบบครึ่งผสม	794
□ ME229 การศึกษาการสั่นสะเทือนของชุดจำลองในก้าช	801
□ ME237 อิทธิพลของอัตราส่วนเลี้นผ่านคุณภัณฑ์การรีบเนื้อกับความกว้างช่องทางการไหล ต่อการระบายน้ำและความร้อนของอุปกรณ์ระบบความร้อนแบบครึ่งผสม	808
□ ME251 การหากการปลอมปนในผงมันข้นแบบรวดเร็วด้วยเทคนิคเนียร์อินฟราเรด	815
□ ME253 การตรวจสอบการปลอมปนน้ำมันด้วยเครื่องในน้ำมันมะพร้าวแบบรวดเร็ว ด้วยเทคนิค ^{เนียร์อินฟราเรด}	821
□ ME259 การตรวจสอบคุณภาพและการเจือปนในน้ำมันดิบแบบรวดเร็วด้วยเทคนิคเนียร์อินฟราเรด	827
□ ME260 การศึกษาจุดสัตห์ของการอบแห้งสำหรับตัวอย่างในอุโมงค์ลมแบบปิด	833
□ ME261 การพัฒนาอุโมงค์ลมสำหรับตัวอย่างในอุโมงค์ลมแบบปิด	839
□ ME262 การจำลองการถ่ายเทความร้อนและความดันสูญเสียภายในเครื่องแลกเปลี่ยนความร้อน แบบแผ่น	844
□ ME268 ผลของการบ่มน้ำมันพืชเมืองต่อค่าความร้อนสูง(HHV) ในเปลือกเมืองต่อหินพานต์ที่ผ่านกระบวนการกรองริแฟกชัน	851
□ ME274 การพัฒนาระบบทดลองข้าวเปลือกที่มีความชื้นสูงด้วยเทคนิคฟลูอิดไดเซชัน ร่วมกับการ ผึ้งสีอินฟราเรด	857
□ ME275 การศึกษาการให้เหลืองน้ำที่ผ่านถังระบบความร้อนในกระบวนการดึงเข็นรูปลาดแบบแท้ โดยใช้การจำลองทางพลศาสตร์ของไนลอนเชิงคำนวณ	864
□ ME280 การทดสอบพื้นที่ผิวข้าวแบบเม็ดเดียวของรากรวดเร็วด้วยเทคนิคเนียร์อินฟราเรด	872
□ ME286 การออกแบบ และพัฒนาเครื่อง Mini CNC 5 แกน	878
□ ME288 แนวทางการสร้างเกณฑ์การพิจารณาการคุณค่าของอาหารผสมและขอร์โนน์แบบ	884
□ ME289 อิทธิพลจำนวนช่องร่องหนึ่งหนึ่งของตาข่ายสแตนเลส (PPI) ที่มีผลต่อการเผาไหม้เชื้อ ^{เพลิง} ผ่านผิวหนังกับอาการกดก่อนเข้าสู่ห้องเผาไหม้ของหัวพ่นไฟวัสดุพูรุน	890
□ ME295 การคำนวณเชิงตัวเลขของงานกระแทกล้ออัลลอย	895
□ ME298 การศึกษาการลดอุณหภูมิอากาศก่อนเข้าคอมเพรสเซอร์โดยใช้แมงที่ความเย็นในเครื่องปรับอากาศ ขนาดใหญ่	900
□ ME300 การออกแบบและสร้างเครื่องเติมเส้นใยใบสับปะรด	905

การใช้ของไอลน่าโนกับตัวเก็บรังสีอาทิตย์แบบรางพาราโบลิก
Use of Nano-Fluid with Parabolic Trough Solar Collector

ณัฐรา ลือชาติเมธิกุล^{*} และ ปริญ คงกระพันธ์^{**}

¹วิทยาลัยพลังงานทดแทน มหาวิทยาลัยแม่โจ้ 63 หมู่ 4 ตำบลหนองหาร อำเภอสันทราย จังหวัดเชียงใหม่ 50290

*ผู้ติดต่อ: parin.khongkrapan@gmail.com
เบอร์โทรศัพท์ 053875590, เบอร์โทรสาร 053875599

บทคัดย่อ

งานวิจัยนี้ได้นำเสนอการใช้ของไอลน่าโนเป็นสารทำงานให้กับตัวเก็บรังสีอาทิตย์ประเภทรวมแสงแบบรางพาราโบลิกขนาดพื้นที่รับแสงโดยประมาณ 2 m^2 เพื่อประยุกต์ใช้กับระบบผลิตน้ำร้อนพลังงานแสงอาทิตย์โดยทำการทดสอบระบบที่ค่าความเข้มรังสีอาทิตย์เฉลี่ยในช่วง 300 W/m^2 ถึง 900 W/m^2 และค่าความเข้มข้นของสารละลายนานากรายพื้นที่ใช้เป็นสารทำงานเท่ากัน 0.1% w/w จากผลการทดสอบตัวเก็บรังสีอาทิตย์ด้วยสารทำงานดังกล่าวที่อัตราการไหลลงที่เท่ากับ 1 LPM พบว่าอุณหภูมิของสารทำงานนานาใน ณ ทางออกของท่อขับรั้งน้ำมีค่าสูงสุดเท่ากับ 59.3°C ซึ่งสูงกว่าการใช้น้ำสะอาดเป็นสารทำงานเท่ากับ 4.77% ทำให้ระบบสามารถผลิตน้ำร้อนที่มีอุณหภูมิสูงสุดเท่ากับ 58.1°C ซึ่งมีค่าสูงกว่าการใช้น้ำสะอาดเป็นสารทำงานเท่ากับ 6.80% จากผลการทดสอบสามารถสรุปได้ว่าการใช้อุณภูมานานากรายพื้นในสารทำงานช่วยเพิ่มอุณหภูมิของน้ำร้อนที่ผลิตได้จากการทดสอบไอลน่าโนและแสงอาทิตย์แบบรางพาราโบลิกได้อย่างมีนัยสำคัญในทุกด้านความเชี่ยวชาญรังสีอาทิตย์

คำหลัก: ตัวเก็บรังสีอาทิตย์, รางพาราโบลิก, ระบบผลิตน้ำร้อน, อุณภูมานานา, ของไอลน่าโน

Abstract

This research presented using nano-fluid as a working fluid of a parabolic trough solar collector with aperture size of 2 m^2 . The system was performed at average solar intensity of $400\text{--}900 \text{ W/m}^2$ with graphene-water solution concentration of 0.1% w/w. The results showed that the maximum temperature of nano-fluid at the exit of the solar collector with a constant flow rate of 1 LPM was 59.3°C . The produced maximum temperature of using graphene-water solution was higher than using of pure water as the working fluid about 4.77% . The system using nano-fluid produced the highest temperature of hot water of 58.1°C , higher than using the pure water about 6.80% . It was also summarized that using nano-fluid as the working fluid significantly increased water temperature produced from parabolic trough solar collector for all solar intensity levels.

Keywords: Solar collector, Parabolic trough solar collector, Hot water generation system, Nano particle, Nano-fluid

1. บทนำ

ตัวเก็บรังสีอาทิตย์ประเภทรวมแสงแบบรางพาราโบลิก (Parabolic Trough Solar Collector; PTSC) เป็นเทคโนโลยีการแปลงพลังงานแสงอาทิตย์เป็นพลังงานความร้อน โดยเทคโนโลยีนี้สามารถนำไปประยุกต์ใช้ในการผลิตน้ำร้อน โดยตัวเก็บรังสีอาทิตย์มี

หน้าที่รวมพลังงานความร้อนจากแสงอาทิตย์เพื่อถ่ายเทให้กับสารทำงาน (Working Fluid) ที่ลำเลียงผ่านระบบห่อ เช่น น้ำ น้ำมัน เอทิลีนไอกออล (Ethylene glycol) เป็นต้น ซึ่งคุณสมบัติของสารทำงานจะส่งผลต่อประสิทธิภาพของตัวเก็บรังสีอาทิตย์โดยตรง เนื่องจากสารทำงานแต่ละชนิดมีจุดเดือด ความหนืด ค่าความจุ

การประชุมวิชาการวิศวกรรมศาสตร์ วิทยาศาสตร์ เทคโนโลยี และสถาปัตยกรรมศาสตร์ ครั้งที่ 2

วันที่ 7 กันยายน 2561 อาคาร 50 ปี เทคโนไทย-เยอรมัน ขอนแก่น มหาวิทยาลัยเทคโนโลยีราชมงคลวิทยาเขตขอนแก่น

ความร้อนจำเพาะ และค่าสัมประสิทธิ์การนำความร้อน แตกต่างกัน ดังนั้นการเลือกใช้สารทำงานจึงมีความสำคัญ อย่างยิ่งต่อการออกแบบระบบผลิตน้ำร้อนพลังงานแสงอาทิตย์ [1-4]

งานวิจัยนี้จึงนำเสนอการใช้สารละลายโนโนเป็นสารทำงานของตัววิเคราะห์สิอากิตต์ย์ประเภทรวมและแบบบางพาราโบลิก ซึ่งสารดังกล่าวมีคุณสมบัติในการเพิ่มค่าสัมประสิทธิ์การนำความร้อน (Thermal conductivity; k) ให้กับสารทำงานไม่ว่าจะเป็นน้ำหรือน้ำมันอย่างมีนัยสำคัญ จึงทำให้สารละลายที่ได้รับการผสมจากอนุภาคโนโนมีคุณสมบัติในการถ่ายเทความร้อนตื้น สำหรับต่อการเพิ่มประสิทธิภาพของระบบผลิตน้ำร้อนพลังงานแสงอาทิตย์ได้อีกด้วย

2. หลักการและทฤษฎี

2.1 อนุภาคโนโน (Nano particle)

อนุภาคโนโน คือ วัสดุที่มีขนาดเล็กมากในระดับ 1-100 nm วัสดุโนโนสามารถเกิดขึ้นเองตามธรรมชาติ และเกิดจากการกระทำของมนุษย์ วัสดุโนโนที่มีคุณสมบัติเหมาะสมเชิงวิศวกรรม ได้แก่ วัสดุโนโนที่มีธาตุคาร์บอนเป็นหลัก (Carbon based materials) และวัสดุโนโนที่เป็นสารที่เกิดขึ้นเองและโลหะ (Semiconductor and metal nanomaterials) โดยวัสดุโนโนทั้ง 2 ชนิดนี้ จะช่วยเพิ่มคุณสมบัติในการถ่ายเทความร้อนให้กับสารทำงานในระบบความร้อนและความเย็นได้ การวิจัยระหว่างที่อนุภาคโนโนทำได้จากห้องทดลองการทางเคมีและกระบวนการทางความร้อน อนุภาคโนโนที่นิยมใช้ในการสังเคราะห์ของโนโนได้แก่ อนุภาคโลหะ (Metallic particles), อนุภาคออกไซด์ (Oxide particle), ห่อนโนโน (Carbon nanotube) และอนุภาคกราฟีน (Graphene)

กราฟีน (Graphene) เป็นอนุภาคโนโนมีองค์ประกอบหลัก คือ แกรไฟต์ (Graphite) ซึ่งเป็นธาตุคาร์บอนชนิดหนึ่ง -graphite เกิดจากการเรียงตัวของอะตอมแกรไฟต์ที่เป็นขั้น ๆ ซึ่งมีคุณสมบัติด้านความแข็งแรงสูง น้ำหนักเบา เป็นต้นว่าความร้อนและไฟฟ้าที่ได้โดยในทางทฤษฎีนั้น กราฟีนมีพื้นที่ผิวจำเพาะ (Specific Surface Area; SSA) ประมาณ $2,630 \text{ m}^2/\text{g}$ ซึ่งมีค่าสูงกว่าห่อนโนโนcarbonyl ที่มีขนาดพื้นที่ผิวจำเพาะในช่วง 100-

$1,000 \text{ m}^2/\text{g}$ ถึง 2.6 m^2 และยังมีค่าสัมประสิทธิ์การนำความร้อนในช่วง 1,500-2,500 W/m·K ซึ่งมีค่าสูงกว่าห้องแต่งประمام 40 เท่า ทำให้อุปการาพินมีความสามารถในการแลกเปลี่ยนความร้อนสูงและมีคุณสมบัติของการเป็นตัวนำความร้อนที่ดี

2.2 ของเหลวโนโน (Nano fluid)

ของเหลวโนโน คือ สารละลายหรือของเหลวที่เกิดจากการผสมอนุภาคโนโน (Nano particle) ชนิดต่าง ๆ กับของเหลวฐาน (Base fluid) เช่น น้ำ น้ำมัน เอทิลีนไกล์ colloid เป็นต้น ด้วยวัสดุประสงค์เพื่อเพิ่มคุณสมบัติในการถ่ายเทความร้อนให้กับสารทำงาน ของเหลวโนโนสามารถผลิตได้โดยการผสมอนุภาคดังกล่าวกับของเหลวฐานในอัตราส่วนต่าง ๆ ภายในอ่างผสมอัคตราวีโนนิก (Ultrasonic bath) ในระยะเวลาที่กำหนด โดยค่าความหนาแน่น (Density) ค่าความจุความร้อนจำเพาะ (Specific heat capacity) และค่าประสิทธิผลการนำความร้อน (Effective thermal conductivity) ของของเหลวโนโนที่ผลิตขึ้นสามารถคำนวณได้ดังสมการที่ (1) [5] [2] [6] และ (3) [6] ตามลำดับ

$$\rho_{nf} = \rho_{bf} \left\{ 1 + \left[\frac{\theta(\rho_p - \rho_{bf})}{\rho_{bf}} \right] \right\} \quad (1)$$

$$(c_p)_{nf} = \frac{(c_p)_{bf} \left\{ 1 - \left[\frac{\theta((c_p)_{bf} \rho_{bf} - (c_p)_p \rho_p)}{(c_p)_{bf} \rho_{bf}} \right] \right\}}{\left\{ 1 + \left[\frac{\theta(\rho_p - \rho_{bf})}{\rho_p} \right] \right\}} \quad (2)$$

$$(k_{eff})_{nf} = k_{bf} \left\{ \frac{k_p + 2k_{bf} - [2\theta(k_{bf} - k_p)]}{k_p + 2k_{bf} + [\theta(k_{bf} - k_p)]} \right\} \quad (3)$$

เมื่อ

ρ_{nf} คือ ความหนาแน่นของของเหลวโนโน, kg/m^3

ρ_{bf} คือ ความหนาแน่นของของเหลวฐาน, kg/m^3

ρ_p คือ ความหนาแน่นของอนุภาคโนโน, kg/m^3

$(c_p)_{nf}$ คือ ความจุความร้อนจำเพาะของของเหลวโนโน, $\text{J}/\text{kg}\cdot\text{K}$

$(c_p)_{bf}$ คือ ความจุความร้อนจำเพาะของของเหลวฐาน, $\text{J}/\text{kg}\cdot\text{K}$

$(c_p)_p$ คือ ความจุความร้อนจำเพาะของอนุภาคโนโน, $\text{J}/\text{kg}\cdot\text{K}$

$(k_{eff})_{nf}$ คือ ค่าประสิทธิผลการนำความร้อนของ
ของเหลวใน, W/m·k

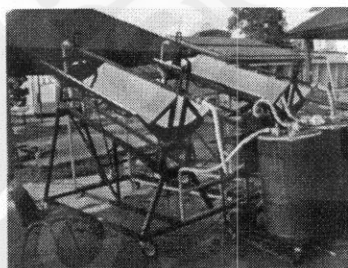
k_{bf} คือ ค่าลับประสิทธิ์การนำความร้อนของ
ของเหลวที่น้ำ, W/m·k

k_p คือ ค่าลับประสิทธิ์การนำความร้อนของ
อนุภาคใน, W/m·k

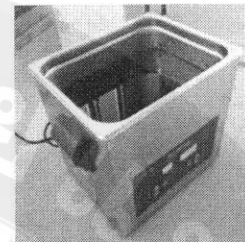
\emptyset คือ อัตราส่วนโดยประมาณของอนุภาคใน
ต่อของเหลว

3. วิธีการดำเนินงานวิจัย

งานวิจัยนี้ได้ทำการทดสอบการใช้ของเหลวใน
เป็นสารทำงานในระบบผลิตน้ำร้อนพลังงานแสงอาทิตย์ที่
ใช้ตัวเก็บรังสีอาทิตย์ประเภทรวมแสงแบบร่างพาราบูลิค
ที่มีขนาดพื้นที่รับแสงโดยประมาณ 2 m² จำนวน 2 ชุด
ตั้งรูปที่ 1 โดยชุดแรกใช้น้ำสีสะอาดเป็นสารทำงานและชุด
ที่สองใช้ของเหลวในเป็นสารทำงาน ทำการส่งจ่ายสาร
ทำงานของระบบทั้งสองด้วยอัตราการไหลคงที่ 1 LPM เท่ากัน
การเติมสารทำงานในทำได้โดยการผสม
อนุภาคในกราฟีนกับน้ำสีสะอาดด้วยอัตราส่วนโดยมวล
เท่ากัน 0.1% w/w ทำการเติมของเหลวในด้วยอ่าง
ผสมอัลตร้าโซนิกดังรูปที่ 2 ที่ความถี่คงที่ 43 kHz เป็น
ระยะเวลา 60 min และทำการบรรจุสารทำงานในใน
ระบบผลิตน้ำร้อนพลังงานแสงอาทิตย์และทำการเก็บข้อมูล
ต่อต่อ ๆ ทำในช่วงเวลา 9.00 น. ถึง 16.00 น.



รูปที่ 1 ระบบผลิตน้ำร้อนพลังงานแสงอาทิตย์ที่ใช้ตัวเก็บ
รังสีอาทิตย์ประเภทรวมแสงแบบร่างพาราบูลิค



รูปที่ 2 การเติมของเหลวในด้วยอ่างผสม
แบบอัลตร้าโซนิก

4. ผลการวิจัย

จากการทดสอบระบบผลิตน้ำร้อนพลังงาน
แสงอาทิตย์ 2 ระบบ ในวัน เวลา สภาพแวดล้อม และค่า
ความเข้มรังสีอาทิตย์เทียบกัน โดยระบบที่ 1 และ 2 ใช้น้ำ
สะอาด และของเหลวใน (กราฟีนผสมน้ำสีสะอาด 0.1%
w/w) เป็นสารทำงานที่อัตราการไหลคงที่ 1 LPM เท่ากัน
ตามลำดับ พบว่าอุณหภูมิของสารทำงาน ณ ทางออกของ
ห้องรับรังสีของระบบที่ 1 และ 2 มีค่าสูงสุดเท่ากับ 56.6
°C และ 59.3 °C ตามลำดับ และจากการทดสอบยังพบว่า
ระบบทั้งสองสามารถผลิตน้ำร้อนที่มีอุณหภูมิสูงสุดเท่ากับ
54.4 °C และ 58.1 °C ตามลำดับ ผลของอุณหภูมิของ
สารทำงานและอุณหภูมิของน้ำร้อนที่ผลิตได้แสดงดังรูปที่
3 และ 4 ตามลำดับ

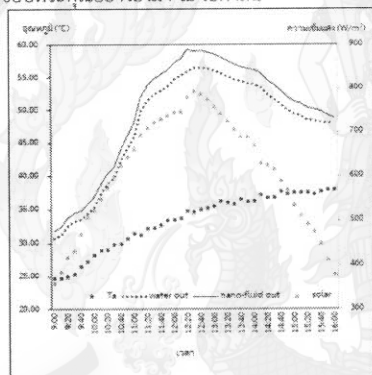
5. สรุปและวิเคราะห์ผลการวิจัย

จากการทดสอบระบบผลิตน้ำร้อนพลังงาน
แสงอาทิตย์ดังแบบที่ใช้ตัวเก็บรังสีอาทิตย์แบบร่างพารา
บูลิคด้วยสารทำงาน 2 ชนิด คือ น้ำสะอาด และของเหลว
ในซึ่งมีตัวกราฟีนผสมน้ำสีสะอาดที่ความเข้มข้นโดยมวล
เท่ากัน 0.1% w/w โดยในช่วงเวลาที่ทำการทดสอบมี
อุณหภูมิแวดล้อมต่ำสุดและสูงสุดเท่ากับ 24.7 °C และ
37.9 °C ตามลำดับ ค่าความเข้มรังสีอาทิตย์ต่ำสุดและ
สูงสุดเท่ากับ 360 W/m² และ 794 W/m² ตามลำดับ
พบว่าระบบที่ใช้ของเหลวในสามารถสร้างอุณหภูมิสาร
ทำงาน ณ ทางออกของห้องรับรังสีได้สูงสุดเท่ากับ
59.3 °C ซึ่งสูงกว่าการใช้น้ำสะอาดเป็นสารทำงานเท่ากับ
4.77% และระบบดังกล่าวสามารถผลิตน้ำร้อนที่มี
อุณหภูมิสูงสุดเท่ากับ 58.1 °C ซึ่งมีค่าสูงกว่าการใช้น้ำ
สะอาดเป็นสารทำงานเท่ากับ 6.80% จากผลการทดสอบ
สามารถสรุปได้ว่าการใช้อุบัติภัยในกราฟีนในสาร

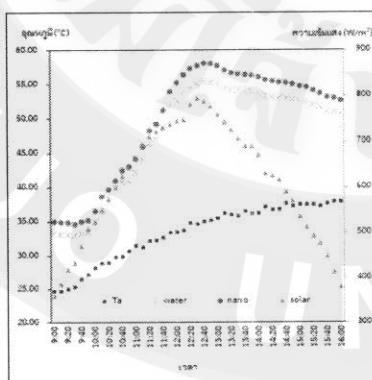
ทำงานข่ายเพิ่มอุณหภูมิของน้ำร้อนที่ผลิตได้จากระบบผลิตน้ำร้อนพลังงานแสงอาทิตย์แบบรางพาราโนลิกได้อย่างมีนัยสำคัญในทุกค่าความเข้มรังสีอาทิตย์

6. กิตติกรรมประกาศ

งานวิจัยนี้สำเร็จได้ด้วยดีเนื่องจากได้รับการสนับสนุนทุนวิจัยจากวิทยาลัยพัฒนาด้านมนุษยศาสตร์และมนุษยศิลป์ และการสนับสนุนเครื่องมือในการทำวิจัยจากสาขาวิชาเคมีประยุกต์ คณะวิทยาศาสตร์มหาวิทยาลัยแม่โจ้ โดย ดร.สุรัตติ์ ฤกษ์มาศ คณบุรุษผู้ชี้แจงขอขอบพระคุณอย่างยิ่งมา ณ โอกาสหนึ่ง



รูปที่ 3 อุณหภูมิของน้ำและของเหลวในทางออกของร้อนรังสี



การประชุมวิชาการวิศวกรรมศาสตร์ วิทยาศาสตร์ เทคโนโลยี และสถาปัตยกรรมศาสตร์ ครั้งที่ 9
วันที่ 7 กันยายน 2561 ณ อาคาร 50 ปี เทคโนโลยีไทย-เยอรมัน ขอนแก่น มหาวิทยาลัยเทคโนโลยีราชมงคลล้านนา วิทยาเขตขอนแก่น



ประวัติผู้วิจัย

ชื่อ-นามสกุล	นางสาวณัฐา ลือชาติเมธิกุล
เกิดเมื่อ	18 กรกฎาคม 2534
ประวัติการศึกษา	พ.ศ. 2557 ปริญญาตรี คณะเกษตร มหาวิทยาลัยเกษตรศาสตร์ กรุงเทพฯ พ.ศ. 2552 มัธยมศึกษาตอนปลาย โรงเรียนพระหฤทัยคอนแวนต์ กรุงเทพฯ
อีเมล	nattha.lue@gmail.com